

ขนาดและรูปร่างของชีนแมนเกิดที่ปัลตุกด้วยการเกิดใหม่ในเซลล์เมืองน้ำเด็ก

Hyriopsis (Hyriopsis) bialatus และ Pseudodon vondembuschianus ellipticus

นายเพ็มศักดิ์ ยิมิน

วิทยานิพนธ์เป็นส่วนหนึ่งของการศึกษาตามหลักสูตรปริญญาวิทยาศาสตร์มหาบัณฑิต
สาขาวิชาสหวิทยา ภาควิชาชีววิทยา

บัณฑิตวิทยาลัย จุฬาลงกรณ์มหาวิทยาลัย

ปีการศึกษา 2540

ISBN 974-637-049-9

ลิขสิทธิ์ของบัณฑิตวิทยาลัย จุฬาลงกรณ์มหาวิทยาลัย

BRT 599006

An 36



โครงการพัฒนาองค์ความรู้และศึกษาดูงานเบื้องต้นการจัดการทรัพยากริชัวภาพในประเทศไทย
c/o ศูนย์พันธุวิศวกรรมและเทคโนโลยีชีวภาพแห่งชาติ
อาคารสำนักงานพัฒนาวิทยาศาสตร์และเทคโนโลยีแห่งชาติ
73/1 ถนนพระรามที่ 6 เมืองราชเทวี
กรุงเทพฯ 10400

ขนาดและรูปร่างของชิ้นแม่นเทลที่ปลูกถ่ายต่อการเกิดไข่บุกในหอยมุกน้ำจืด
Hytiopsis (Hytiopsis) bialatus และ *Pseudodon vondembuschianus ellipticus*

นายเพิ่มศักดิ์ ยีมิน

วิทยานิพนธ์นี้เป็นส่วนหนึ่งของการศึกษาตามหลักสูตรปริญญาวิทยาศาสตรมหาบัณฑิต
สาขาวิชาสัตววิทยา ภาควิชาชีววิทยา
บัณฑิตวิทยาลัย จุฬาลงกรณ์มหาวิทยาลัย
ปีการศึกษา 2540

ISBN 974-637-049-9

ลิขสิทธิ์ของบัณฑิตวิทยาลัย จุฬาลงกรณ์มหาวิทยาลัย

SIZES AND SHAPES OF TRANSPLANTED MANTLE PIECES FOR PEARL
FORMATION IN FRESHWATER PEARL MUSSELS *Hyriopsis*
(Hyriopsis) bialatus AND *Pseudodon vondembuschianus ellipticus*

Mr. Permsak Yeemin

A Thesis Submitted in Partial Fulfillment of the Requirements

for the Degree of Master of Science in Zoology

Department of Biology

Graduate School

Chulalongkorn University

Academic Year 1997

ISBN 974-637-049-9

หัวข้อวิทยานิพนธ์ ขนาดและรูปร่างของชิ้นแม่นเทลที่ปลูกถ่ายต่อการเกิดไข่มุก ในหมู่
มุกนำจีด *Hyriopsis (Hyriopsis) bialatus* และ *Pseudodon vondembuschianus ellipticus*

โดย นายเพ็มศักดิ์ อิมิน

ภาควิชา ชีววิทยา

อาจารย์ที่ปรึกษา รองศาสตราจารย์ ดร.สมศักดิ์ ปัญหา

.....บันทึกวิทยาลัยจุฬาลงกรณ์มหาวิทยาลัย อนุมัติให้นับวิทยานิพนธ์ฉบับนี้เป็น^{น้ำ}
ส่วนหนึ่งของการศึกษาตามหลักสูตรปริญญามหาบัณฑิต

.....คณบดีบันทึกวิทยาลัย
(ศาสตราจารย์ นายแพทย์ ศุภวัฒน์ ชุติวงศ์)

คณะกรรมการสอบวิทยานิพนธ์

..........ประธานกรรมการ
(รองศาสตราจารย์ ดร.วิทยา ยศยิ่งยวด)

..........อาจารย์ที่ปรึกษา
(รองศาสตราจารย์ ดร.สมศักดิ์ ปัญหา)

..........กรรมการ
(รองศาสตราจารย์ ดร.กัมพล อุครังกูร ณ อุธยา)

..........กรรมการ
(ศาสตราจารย์ ไพบูลย์ นัยเนตร)

เพิ่มศักดิ์ ยืนิน: ขนาดและรูปร่างของชิ้นแมงเกลที่ปลูกถ่ายต่อการเกิดไข่มุกในหอยมุกน้ำจืด *Hyriopsis (Hyriopsis) bialatus* และ *Pseudodon vondembuschianus ellipticus* (SIZES AND SHAPES OF TRANSPLANTED MANTLE PIECES FOR PEARL FORMATION IN FRESHWATER PEARL MUSSELS *Hyriopsis (Hyriopsis) bialatus* AND *Pseudodon vondembuschianus ellipticus*) อ.ที่ปรึกษา: รศ.ดร.สมศักดิ์ ปัญหา, 104 หน้า ISBN 974-637-049-9

ศึกษาการสร้างไข่มุกในหอยมุกน้ำจืด *Hyriopsis (Hyriopsis) bialatus* และ *Pseudodon vondembuschianus ellipticus* เมื่อใช้ชิ้นแมงเกลซึ่งมีขนาดและรูปร่างต่าง ๆ กัน พบร่วมกัน พบว่ากระบวนการสร้างถุงไข่มุกในหอยมุกทั้งสองชนิดจะถูกสร้างเสร็จสมบูรณ์ได้เวลาไม่เกินกว่า 15 วัน ในหอย *H. (H) bialatus* พบร่วมกับการปลูกถ่ายชิ้นแมงเกลรูปร่างวงกลมขนาดครึ่งนิ้ว 4 มม. (C4) จะมีเปอร์เซ็นต์การเกิดถุงไข่มุกสูงสุด (81%) และที่ปลูกถ่ายด้วยชิ้นแมงเกลรูปร่างสามเหลี่ยมด้านเท่าขนาด 2 มม. (T1) และรูปร่างวงกลมขนาดครึ่งนิ้ว 2 มม. (C2) จะมีเปอร์เซ็นต์การเกิดถุงไข่มุกต่ำสุด (71%) ในหอย *P. vondembuschianus ellipticus* ที่ปลูกถ่ายด้วยชิ้นแมงเกลรูปร่างวงกลมขนาดครึ่งนิ้ว 4 มม. (C4) และรูปร่างสี่เหลี่ยมจตุรัสขนาด 8 มม. (S4) มีเปอร์เซ็นต์การเกิดถุงไข่มุกสูงสุด (86%) และที่ปลูกถ่ายด้วยชิ้นแมงเกลรูปร่างสามเหลี่ยมด้านเท่าขนาด 2 มม. (T1) มีเปอร์เซ็นต์การเกิดถุงไข่มุกต่ำสุด (74%) ถุงไข่มุกจะมีขนาดใหญ่ขึ้นและมีน้ำหนักมากขึ้น โดยจะขึ้นอยู่กับขนาดของชิ้นแมงเกลที่ปลูกถ่าย สรุปผลจากการศึกษาครั้นี้พบว่าขนาดของชิ้นแมงเกลที่ปลูกถ่ายจะมีผลต่อการเกิดไข่มุกส่วนรูปร่างที่ต่าง ๆ กันของชิ้นแมงเกลที่ปลูกถ่ายนั้นอาจมีผลต่อรูปร่างของไข่มุกเนื่องจากรูปร่างของไข่มุกที่ได้มีความหลากหลายมาก ผิวของถุงไข่มุกและผลึกแคลเซียมคาร์บอนเนตในหอยทั้งสองชนิดมีความแตกต่างกันโดยผิวของถุงไข่มุกในหอยมุก *P. vondembuschianus ellipticus* จะมีลักษณะเป็นเม็ดกลม ๆ จำนวนมากติดอยู่รอบๆ เนื้อเยื่าส่วน *H. (H) bialatus* จะมีลักษณะเป็นร่องแทะและผลึกแคลเซียมคาร์บอนเนตแบบแคลไซด์ในหอยมุก *P. vondembuschianus ellipticus* จะมีแท่งผลึกที่ใหญ่กว่าในหอย *H. (H) bialatus*

C725610 : MAJOR ZOOLOGY

KEY WORD:

TRANSPLANTED MANTLE PIECES/PEARL FORMATION /

FRESHWATER PEARL MUSSEL

PERMSAK YEEMIN: SIZES AND SHAPES OF TRANSPLANTED

MANTLE PIECES FOR PEARL FORMATION IN FRESHWATER

PEARL MUSSELS *Hyriopsis*(*Hyriopsis*)*bialatus* AND *Pseudodon*

vondembuschianus ellipticus, THESIS ADVISOR: ASSOC. PROF.

SOMSAK PANHA , Ph.D. 104 pp. ISBN 974-637-049-9

The formation of pearls by the freshwater mussels, *Hyriopsis* (*Hyriopsis*)

bialatus and *Pseudodon vondembuschianus ellipticus* by transplanting various sizes and shapes of the mantle pieces were studies. The pearl sacs of the two species completely formed within less than 15 days. For the *H.(H.) bialatus*, transplanted circle mantle piece (4mm. radius, C4) yielded the highest percentage of forming a pearl sac (81%) while transplanted triangle mantle piece (2mm. for eachside, T1) and circle transplanted mantle piece yielded the lowest percentage. (71%) For the *P. vondembuschianus ellipticus*, transplanted circle mantle piece (4mm. radius, C4) and transplanted square mantle piece (8mm., S4) yielded the highest percentage of forming a pearl sac (86%) while transplanted triangle mantle piece (2mm. for each side, T1) yielded the lowest percentage. (74%) The pearl sac growth depended on sizes of transplanted mantle piece. In conclusion sizes of transplanted mantle piece effect the pearl formation. Shapes of transplanted mantle piece may influence on the pearl shapes because the pearl shapes have high diversity. Surface of the pearl sac and calcium carbonate crystals of the two species are different. A lot of small balls are seen on the surface of pearl sac of *P. vondembuschianus ellipticus* while the net-like was seen on the surface of pearl sac of *H.(H.) bialatus*. Calcite calcium carbonate crystals at the same stage of *P. vondembuschianus ellipticus* are bigger than one of *H.(H.) bialatus*.

ภาควิชา ชีววิทยา ลายมือชื่อนิสิต นพิชชาติ ชัยวิจิตร

สาขาวิชา สัตววิทยา ลายมือชื่ออาจารย์ที่ปรึกษา

ปีการศึกษา 2540 ลายมือชื่ออาจารย์ที่ปรึกษาร่วม

กิตติกรรมประกาศ

ขอกราบขอบพระคุณ รองศาสตราจารย์ ดร. สมศักดิ์ ปัญหา อ้างอิงที่ปรึกษา
วิทยานิพนธ์ ที่ให้ความกรุณาช่วยเหลือสนับสนุน และให้ข้อคิดต่าง ๆ ของการวิจัยทั้งใน
ภาคสนามและในห้องปฏิบัติการ ตลอดจนช่วยตรวจสอบและแก้ไขวิทยานิพนธ์เล่มนี้จน
สมบูรณ์ ขอกราบขอบพระคุณ รองศาสตราจารย์ ดร. วิทยา ยศยิ่งยาด ประธานกรรม
การสอบวิทยานิพนธ์ รองศาสตราจารย์ ดร. กัมพล อิศรารังษร ณ อยุธยา และ
ศาสตราจารย์ไพบูลย์ นัยเนตร กรรมการสอบวิทยานิพนธ์ ที่ได้กรุณาแก้ไขวิทยานิพนธ์
เล่มนี้ให้สมบูรณ์ยิ่งขึ้น

ขอกราบขอบคุณ คณาจารย์ภาควิชาชีววิทยา ทุก ๆ ท่านที่ได้ถ่ายทอดวิชาความรู้
และข้อคิดต่าง ๆ ตลอดการศึกษา

ขอขอบคุณบัณฑิตวิทยาลัย จุฬาลงกรณ์มหาวิทยาลัย และโครงการพัฒนาองค์
ความรู้และศึกษาอย่างการจัดการทรัพยากรชีวภาพในประเทศไทย ซึ่งร่วมจัดตั้งโดย
สำนักงานกองทุนสนับสนุนการวิจัยและศูนย์พันธุ์วิศวกรรมและเทคโนโลยีชีวภาพแห่ง
ชาติ/สำนักงานพัฒนาวิทยาศาสตร์และเทคโนโลยีแห่งชาติ(รหัสโครงการ BRT539006)
ที่ได้ร่วมให้ทุนสนับสนุนการวิจัยครั้งนี้

ขอขอบคุณ ผู้ใหญ่ กมล คุณแม่สมหมาย เลิศพาณิช และครอบครัวที่ให้ความ
สำคัญด้วยดีในด้านสถานที่พักและช่วยดูแลสถานที่เลี้ยงหอยของงานวิจัยตลอดการวิจัย

ขอขอบคุณ คุณสัมพันธ์ สุวรรณรัตน์ และเจ้าหน้าที่ของภาควิชาชีววิทยาทุกท่าน
ที่ให้ความช่วยเหลือและความสะดวกระหว่างการวิจัยในห้องปฏิบัติการ

ขอขอบคุณ คุณวรุณี วงศ์นุช คุณสุทธิว่า วงศ์นุช คุณสุมพันยา ยิมิน คุณสุภารดี
ยิมิน คุณนฤคล มัชัยสัตสุ คุณรังสิมันต์ บัวทอง คุณพวงพuga แก้วกรรมคุณณัฏฐา สดังดี
คุณประชา สดังดี คุณฤดาцев ศิริสมานจิตติกุล คุณชรศักดิ์ วงศ์ชีวรัตน์ คุณวารี ชาญ
คุณวัชรินทร์ ทันวงศ์ ที่ให้ความช่วยเหลือในทุก ๆ ด้าน

สุดท้ายนี้ข้าพเจ้าขอขอบคุณ คุณพ่อและคุณแม่ตลอดจนพี่ ๆ ทุกท่านของข้าพเจ้า
ที่ช่วยเป็นกำลังใจและสนับสนุนทางด้านการศึกษาด้วยดีเสมอมา

สารบัญ

หน้า

บทคัดย่อภาษาไทย.....	๑
บทคัดย่อภาษาอังกฤษ.....	๑
กิตติกรรมประกาศ.....	๙
สารบัญ.....	๙
สารบัญตาราง.....	๙
สารบัญแผนภูมิ.....	๙
สารบัญรูปภาพ.....	๙

บทที่

1. บทนำ.....	1
2. บทสอนสวนเอกสาร.....	4
3. อุปกรณ์และวิธีการทดลอง.....	12
4. ผลการทดลอง.....	19
5. อภิปรายผลการทดลอง.....	81
6. สรุปผลการทดลองและข้อเสนอแนะ.....	87
รายการอ้างอิง.....	89
ภาคผนวก.....	97
ประวัติผู้เขียน.....	104

สารบัญตาราง

ตารางที่	หน้า
1. มูลค่าการนำเข้าและอัตราการขยายตัวการนำเข้าไนโตริกของประเทศไทย จากต่างประเทศ.....	2
2. แสดงจำนวนหอยในแต่ละวิธีการทดลอง.....	12
3. แสดงเปอร์เซนต์การเกิดถุงไนโตริกและเปอร์เซนต์การตายในหอยมุก <i>H.(H.) bialatus</i>	20
4. แสดงเปอร์เซนต์การเกิดถุงไนโตริกและเปอร์เซนต์การตายในหอยมุก <i>P. vondembuschianus ellipticus</i>	21
1-ก แสดงขนาดเฉลี่ยของถุงไนโตริกในหอยมุก <i>H.(H.) bialatus</i> เมื่อปลูกถ่าย [*] ด้วยชิ้นแม่นเทิลรูปร่างสามเหลี่ยมค้านเท่าขนาดต่าง ๆ	98
2-ก แสดงขนาดเฉลี่ยของถุงไนโตริกในหอยมุก <i>H.(H.) bialatus</i> เมื่อปลูกถ่าย [*] ด้วยชิ้นแม่นเทิลรูปร่างวงกลมขนาดต่าง ๆ	99
3-ก แสดงขนาดเฉลี่ยของถุงไนโตริกในหอยมุก <i>H.(H.) bialatus</i> เมื่อปลูกถ่าย [*] ด้วยชิ้นแม่นเทิลรูปร่างสี่เหลี่ยมจตุรัสขนาดต่าง ๆ	100
4-ก แสดงขนาดเฉลี่ยของถุงไนโตริกในหอยมุก <i>P. vondembuschianus ellipticus</i> เมื่อปลูกถ่ายด้วยชิ้นแม่นเทิลรูปร่างสามเหลี่ยมค้านเท่าขนาดต่าง ๆ	101
5-ก แสดงขนาดเฉลี่ยของถุงไนโตริกในหอยมุก <i>P. vondembuschianus ellipticus</i> เมื่อปลูกถ่ายด้วยชิ้นแม่นเทิลรูปร่างวงกลมขนาดต่าง ๆ	102
6-ก แสดงขนาดเฉลี่ยของถุงไนโตริกในหอยมุก <i>P. vondembuschianus ellipticus</i> เมื่อปลูกถ่ายด้วยชิ้นแม่นเทิลรูปร่างสี่เหลี่ยมจตุรัสขนาดต่าง ๆ	103

สารบัญแผนภูมิ

แผนภูมิที่	หน้า
1. เปรียบเทียบเปอร์เซนต์การเกิดถุงไข่มูกในหอยมูก <i>H.(H.) bialatus</i> และ <i>P. vondembuschianus ellipticus</i> เมื่อปลูกถ่ายด้วยชิ้นแม่นเทิลรูปร่างและขนาดต่าง ๆ	22
2. เปรียบเทียบเปอร์เซนต์การตายในหอยมูก <i>H.(H.) bialatus</i> และ <i>P. vondembuschianus ellipticus</i> เมื่อปลูกถ่ายด้วยชิ้นแม่นเทิลรูปร่างและขนาดต่าง ๆ	22
3. แสดงขนาดเฉลี่ยของถุงไข่มูกในหอยมูก <i>H.(H.) bialatus</i> เมื่อปลูกถ่ายด้วยชิ้นแม่นเทิลรูปร่างสามเหลี่ยมด้านเท่าขนาดต่าง ๆ	23
4. แสดงขนาดเฉลี่ยของถุงไข่มูกในหอยมูก <i>H.(H.) bialatus</i> เมื่อปลูกถ่ายด้วยชิ้นแม่นเทิลรูปร่างวงกลมขนาดต่าง ๆ	24
5. แสดงขนาดเฉลี่ยของถุงไข่มูกในหอยมูก <i>H.(H.) bialatus</i> เมื่อปลูกถ่ายด้วยชิ้นแม่นเทิลรูปร่างสี่เหลี่ยมจตุรัสขนาดต่าง ๆ	25
6. แสดงขนาดเฉลี่ยของถุงไข่มูกในหอยมูก <i>P. vondembuschianus ellipticus</i> เมื่อปลูกถ่ายด้วยชิ้นแม่นเทิลรูปร่างสามเหลี่ยมด้านเท่าขนาดต่าง ๆ	26
7. แสดงขนาดเฉลี่ยของถุงไข่มูกในหอยมูก <i>P. vondembuschianus ellipticus</i> เมื่อปลูกถ่ายด้วยชิ้นแม่นเทิลรูปร่างวงกลมขนาดต่าง ๆ	27
8. แสดงขนาดเฉลี่ยของถุงไข่มูกในหอยมูก <i>P. vondembuschianus ellipticus</i> เมื่อปลูกถ่ายด้วยชิ้นแม่นเทิลรูปร่างสี่เหลี่ยมจตุรัสขนาดต่าง ๆ	28
9. เปรียบเทียบขนาดเฉลี่ยของไข่มูก <i>H.(H.) bialatus</i> กับ <i>P. vondembuschianus ellipticus</i> เมื่อปลูกถ่ายด้วยชิ้นแม่นเทิลรูปร่างสามเหลี่ยมด้านเท่าขนาดต่าง ๆ	29
10. เปรียบเทียบขนาดเฉลี่ยของไข่มูก <i>H.(H.) bialatus</i> กับ <i>P. vondembuschianus ellipticus</i> เมื่อปลูกถ่ายด้วยชิ้นแม่นเทิลรูปร่างวงกลมขนาดต่าง ๆ	30

แผนภูมิที่	หน้า
11. เปรียบเทียบขนาดเฉลี่ยของไข่มนูก <i>H.(H.) bialatus</i> กับ <i>P. vondembuschianus ellipticus</i> เมื่อปีกถ่ายด้วยชิ้นแม่นเทิรูปร่างสีเหลี่ยมจตุรัสขนาดต่าง ๆ	31
12. แสดงน้ำหนักเฉลี่ยของไข่มนูกและถุงไข่มนูกในหอยมนูก <i>H.(H.) bialatus</i> เมื่อปีกถ่ายด้วยชิ้นแม่นเทิรูปร่างสามเหลี่ยมค้านเท่าขนาดต่าง ๆ	39
13. แสดงน้ำหนักเฉลี่ยของไข่มนูกและถุงไข่มนูกในหอยมนูก <i>H.(H.) bialatus</i> เมื่อปีกถ่ายด้วยชิ้นแม่นเทิรูปร่างวงกลมขนาดต่าง ๆ	40
14. แสดงน้ำหนักเฉลี่ยของไข่มนูกและถุงไข่มนูกในหอยมนูก <i>H.(H.) bialatus</i> เมื่อปีกถ่ายด้วยชิ้นแม่นเทิรูปร่างสีเหลี่ยมจตุรัสขนาดต่าง ๆ	41
15. แสดงน้ำหนักเฉลี่ยของไข่มนูกและถุงไข่มนูกในหอยมนูก <i>P. vondembuschianus ellipticus</i> เมื่อปีกถ่ายด้วยชิ้นแม่นเทิรูปร่างสามเหลี่ยมค้านเท่าขนาดต่าง ๆ	42
16. แสดงน้ำหนักเฉลี่ยของไข่มนูกและถุงไข่มนูกในหอยมนูก <i>P. vondembuschianus ellipticus</i> เมื่อปีกถ่ายด้วยชิ้นแม่นเทิรูปร่างวงกลมขนาดต่าง ๆ	43
17. แสดงน้ำหนักเฉลี่ยของไข่มนูกและถุงไข่มนูกในหอยมนูก <i>P. vondembuschianus ellipticus</i> เมื่อปีกถ่ายด้วยชิ้นแม่นเทิรูปร่างสีเหลี่ยมจตุรัสขนาดต่าง ๆ	44

สารบัญรูปภาพ

รูปที่	หน้า
1. แสดงเครื่องมือที่ใช้ในการตัดชิ้นแม่นเทิลเป็นรูปต่าง ๆ	13
2. แสดงชิ้นแม่นเทิลที่ใช้ในการปลูกถ่ายขนาดและรูปร่างต่าง ๆ	13
3. แสดงชนิดหอยที่ใช้ในการทดลอง.....	17
4. แสดงกระซังที่ใช้ในการเลี้ยงหอยของทดลอง.....	18
5. แสดงบริเวณสถานที่เลี้ยงหอยของงานวิจัยการเลี้ยงไข่มนุกสำเร็จ.....	18
6. แสดงลักษณะภายนอกของถุงไข่มนุกในหอยมนุก <i>H.(H.) bialatus</i> เมื่อปลูกถ่ายด้วยชิ้นแม่นเทิลรูปร่างสามเหลี่ยมด้านเท่าขนาดต่าง ๆ	33
7. แสดงลักษณะภายนอกของถุงไข่มนุกในหอยมนุก <i>H.(H.) bialatus</i> เมื่อปลูกถ่ายด้วยชิ้นแม่นเทิลรูปร่างวงกลมขนาดต่าง ๆ	34
8. แสดงลักษณะภายนอกของถุงไข่มนุกในหอยมนุก <i>H.(H.) bialatus</i> เมื่อปลูกถ่ายด้วยชิ้นแม่นเทิลรูปร่างสี่เหลี่ยมจตุรัสขนาดต่าง ๆ	35
9. แสดงลักษณะภายนอกของถุงไข่มนุกในหอยมนุก <i>P. vondembuschianus ellipticus</i> เมื่อปลูกถ่ายด้วยชิ้นแม่นเทิลรูปร่างสามเหลี่ยมด้านเท่าขนาดต่าง ๆ	36
10. แสดงลักษณะภายนอกของถุงไข่มนุกในหอยมนุก <i>P. vondembuschianus ellipticus</i> เมื่อปลูกถ่ายด้วยชิ้นแม่นเทิลรูปร่างวงกลมขนาดต่าง ๆ	37
11. แสดงลักษณะภายนอกของถุงไข่มนุกในหอยมนุก <i>P. vondembuschianus ellipticus</i> เมื่อปลูกถ่ายด้วยชิ้นแม่นเทิลรูปร่างสี่เหลี่ยมจตุรัสขนาดต่าง ๆ	38
12. ลักษณะทั่วไปของถุงไข่มนุกเมื่อย้อมด้วยสี Haematoxylin-Eosin	46
13. แสดงลักษณะถุงไข่มนุกในหอยมนุก <i>H.(H.) bialatus</i> เมื่อปลูกถ่ายด้วยชิ้นแม่นเทิลรูปร่างสามเหลี่ยมด้านเท่า T1 ย้อมด้วยสี Haematoxylin-Eosin (HE) และ Alizarin Red S (A) อายุ 15,45,75 และ 105 วัน.....	47
14. แสดงลักษณะถุงไข่มนุกในหอยมนุก <i>H.(H.) bialatus</i> เมื่อปลูกถ่ายด้วยชิ้นแม่นเทิลรูปร่างสามเหลี่ยมด้านเท่า T4 ย้อมด้วยสี Haematoxylin-Eosin (HE) และ Alizarin Red S (A) อายุ 15,45,75 และ 105 วัน.....	48

รูปที่	หน้า
15. แสดงลักษณะถุงไข่มุกในหอยมุก <i>H.(H.) bialatus</i> เมื่อปัจจุบันถ่ายด้วยชีนแมนเทิล รูปร่างวงกลม C1 ข้อมูลด้วยสี Haematoxylin-Eosin (HE) และ Alizarin Red S (A) อายุ 15,45,75 และ 105 วัน.....	49
16. แสดงลักษณะถุงไข่มุกในหอยมุก <i>H.(H.) bialatus</i> เมื่อปัจจุบันถ่ายด้วยชีนแมนเทิล รูปร่างวงกลม C4 ข้อมูลด้วยสี Haematoxylin-Eosin (HE) และ Alizarin Red S (A) อายุ 15,45,75 และ 105 วัน.....	50
17. แสดงลักษณะถุงไข่มุกในหอยมุก <i>H.(H.) bialatus</i> เมื่อปัจจุบันถ่ายด้วยชีนแมนเทิล รูปร่างสีเหลืองจครัส S1 ข้อมูลด้วยสี Haematoxylin-Eosin (HE) และ Alizarin Red S (A) อายุ 15,45,75 และ 105 วัน.....	51
18. แสดงลักษณะถุงไข่มุกในหอยมุก <i>H.(H.) bialatus</i> เมื่อปัจจุบันถ่ายด้วยชีนแมนเทิล รูปร่างสีเหลืองจครัส S4 ข้อมูลด้วยสี Haematoxylin-Eosin (HE) และ Alizarin Red S (A) อายุ 15,45,75 และ 105 วัน.....	52
19. แสดงลักษณะถุงไข่มุกในหอยมุก <i>P. vondembuschianus ellipticus</i> เมื่อปัจจุบัน ถ่ายด้วยชีนแมนเทิล รูปร่างสามเหลี่ยมด้านเท่า T1 ข้อมูลด้วยสี Haematoxylin- Eosin (HE) และ Alizarin Red S (A) อายุ 15,45,75 และ 105 วัน.....	53
20. แสดงลักษณะถุงไข่มุกในหอยมุก <i>P. vondembuschianus ellipticus</i> เมื่อปัจจุบัน ถ่ายด้วยชีนแมนเทิล รูปร่างสามเหลี่ยมด้านเท่า T4 ข้อมูลด้วยสี Haematoxylin- Eosin (HE) และ Alizarin Red S (A) 15,45,75 และ 105 วัน.....	54
21. แสดงลักษณะถุงไข่มุกในหอยมุก <i>P. vondembuschianus ellipticus</i> เมื่อปัจจุบัน ถ่ายด้วยชีนแมนเทิล รูปร่างวงกลม C1 ข้อมูลด้วยสี Haematoxylin-Eosin (HE) และ Alizarin Red S (A) อายุ 15,45,75 และ 105 วัน.....	55
22. แสดงลักษณะถุงไข่มุกในหอยมุก <i>P. vondembuschianus ellipticus</i> เมื่อปัจจุบัน ถ่ายด้วยชีนแมนเทิล รูปร่างวงกลม C4 ข้อมูลด้วยสี Haematoxylin-Eosin (HE) และ Alizarin Red S (A) อายุ 15,45,75 และ 105 วัน.....	56

รูปที่

หน้า

23. แสดงลักษณะถุงไนรุกในหอยมุก <i>P. vondembuschianus ellipticus</i> เมื่อปลูกถ่ายด้วยชิ้นแม่นเทลิ รูปร่างสีเหลืองจตุรัส S1 ข้อมด้วยสี Haematoxylin-Eosin (HE) และ Alizarin Red S (A) อายุ 15,45,75 และ 105 วัน.....	57
24. แสดงลักษณะถุงไนรุกในหอยมุก <i>P. vondembuschianus ellipticus</i> เมื่อปลูกถ่ายด้วยชิ้นแม่นเทลิ รูปร่างสีเหลืองจตุรัส S4 ข้อมด้วยสี Haematoxylin-Eosin (HE) และ Alizarin Red S (A) อายุ 15,45,75 และ 105 วัน.....	58
25. แสดงลักษณะไนรุกในหอยมุก <i>H.(H.) bialatus</i> เมื่อปลูกถ่ายด้วยชิ้นแม่นเทลิ รูปร่างสามเหลี่ยมด้านเท่า T1,T2 อายุ 6,8,10 และ 12 เดือน.....	60
26. แสดงลักษณะไนรุกในหอยมุก <i>H.(H.) bialatus</i> เมื่อปลูกถ่ายด้วยชิ้นแม่นเทลิ รูปร่างสามเหลี่ยมด้านเท่า T3,T4 อายุ 6,8,10 และ 12 เดือน.....	61
27. แสดงลักษณะไนรุกในหอยมุก <i>H.(H.) bialatus</i> เมื่อปลูกถ่ายด้วยชิ้นแม่นเทลิ รูปร่างวงกลม C1,C2 อายุ 6,8,10 และ 12 เดือน.....	62
28. แสดงลักษณะไนรุกในหอยมุก <i>H.(H.) bialatus</i> เมื่อปลูกถ่ายด้วยชิ้นแม่นเทลิ รูปร่างวงกลม C3,C4 อายุ 6,8,10 และ 12 เดือน.....	63
29. แสดงลักษณะไนรุกในหอยมุก <i>H.(H.) bialatus</i> เมื่อปลูกถ่ายด้วยชิ้นแม่นเทลิ รูปร่างสีเหลืองจตุรัส S1,S2 อายุ 6,8,10 และ 12 เดือน.....	64
30. แสดงลักษณะไนรุกในหอยมุก <i>H.(H.) bialatus</i> เมื่อปลูกถ่ายด้วยชิ้นแม่นเทลิ รูปร่างสีเหลืองจตุรัส S3,S4 อายุ 6,8,10 และ 12 เดือน.....	65
31. แสดงลักษณะไนรุกในหอยมุก <i>P. vondembuschianus ellipticus</i> เมื่อปลูกถ่ายด้วยชิ้นแม่นเทลิรูปร่างสามเหลี่ยมด้านเท่า T1,T2 อายุ 6,8,10 และ 12 เดือน.....	66
32. แสดงลักษณะไนรุกในหอยมุก <i>P. vondembuschianus ellipticus</i> เมื่อปลูกถ่ายด้วยชิ้นแม่นเทลิรูปร่างสามเหลี่ยมด้านเท่า T3,T4 อายุ 6,8,10 และ 12 เดือน.....	67
33. แสดงลักษณะไนรุกในหอยมุก <i>P. vondembuschianus ellipticus</i> เมื่อปลูกถ่ายด้วยชิ้นแม่นเทลิรูปร่างวงกลม C1,C2 อายุ 6,8,10 และ 12 เดือน.....	68

รูปที่

หน้า

34. แสดงลักษณะไข่มุกในหอยมุก <i>P. vondembuschianus ellipticus</i> เมื่อปลูกถ่าย ด้วยชิ้นแม่นเทิลรูปร่างวงกลม C3,C4 อายุ 6,8,10 และ 12 เดือน.....	69
35. แสดงลักษณะไข่มุกในหอยมุก <i>P. vondembuschianus ellipticus</i> เมื่อปลูกถ่าย ด้วยชิ้นแม่นเทิลรูปร่างสี่เหลี่ยมจตุรัส S1,S2 อายุ 6,8,10 และ 12 เดือน.....	70
36. แสดงลักษณะไข่มุกในหอยมุก <i>P. vondembuschianus ellipticus</i> เมื่อปลูกถ่าย ด้วยชิ้นแม่นเทิลรูปร่างสี่เหลี่ยมจตุรัส S3,S4 อายุ 6,8,10 และ 12 เดือน.....	71
37. แสดงลักษณะของผิวถุงไข่มุกและผิวไข่มุกในหอยมุก <i>H.(H.) bialatus</i> เมื่อปลูก ถ่ายด้วยชิ้นแม่นเทิลรูปร่างสามเหลี่ยมด้านเท่า อายุ 6 และ 8 เดือน.....	75
38. แสดงลักษณะผิวไข่มุกในหอยมุก <i>H.(H.) bialatus</i> เมื่อปลูกถ่ายด้วยชิ้น แม่นเทิลรูปร่างสามเหลี่ยมด้านเท่า อายุ 10 และ 12 เดือน.....	75
39. แสดงลักษณะของผิวถุงไข่มุกและผิวไข่มุกในหอยมุก <i>H.(H.) bialatus</i> เมื่อปลูก ถ่ายด้วยชิ้นแม่นเทิลรูปร่างวงกลม อายุ 6 และ 8 เดือน.....	76
40. แสดงลักษณะผิวไข่มุกในหอยมุก <i>H.(H.) bialatus</i> เมื่อปลูกถ่ายด้วยชิ้น แม่นเทิลรูปร่างวงกลม อายุ 10 และ 12 เดือน.....	76
41. แสดงลักษณะของผิวถุงไข่มุกและผิวไข่มุกในหอยมุก <i>H.(H.) bialatus</i> เมื่อปลูก ถ่ายด้วยชิ้นแม่นเทิลรูปร่างสี่เหลี่ยมจตุรัส อายุ 6 และ 8 เดือน.....	77
42. แสดงลักษณะผิวไข่มุกในหอยมุก <i>H.(H.) bialatus</i> เมื่อปลูกถ่ายด้วยชิ้น แม่นเทิลรูปร่างสี่เหลี่ยมจตุรัส อายุ 10 และ 12 เดือน.....	77
43. แสดงลักษณะของผิวถุงไข่มุกและผิวไข่มุกในหอยมุก <i>P. vondembuschianus ellipticus</i> เมื่อปลูกถ่ายด้วยชิ้นแม่นเทิลรูปร่างสามเหลี่ยมด้านเท่า อายุ 6 และ 8 เดือน.....	78
44. แสดงลักษณะผิวไข่มุกในหอยมุก <i>P. vondembuschianus ellipticus</i> เมื่อปลูกถ่าย ด้วย ชิ้นแม่นเทิลรูป ร่างสามเหลี่ยมด้านเท่า อายุ 10 และ 12 เดือน.....	78

รูปที่	หน้า
45. แสดงลักษณะของผิวถุงไข่มุกและผิวไข่มุกในหอยมุก <i>P. vondembuschianus ellipticus</i> เมื่อปัจจุบันถ่ายด้วยชิ้นแม่นเทิลรูปร่างวงกลม อายุ 6 และ 8 เดือน	79
46. แสดงลักษณะผิวไข่�ุกในหอยมุก <i>P. vondembuschianus ellipticus</i> เมื่อปัจจุบันถ่ายด้วยชิ้นแม่นเทิลรูปร่างวงกลม อายุ 10 และ 12 เดือน.....	79
47. แสดงลักษณะของผิวถุงไข่มุกและผิวไข่มุกในหอยมุก <i>P. vondembuschianus ellipticus</i> เมื่อปัจจุบันถ่ายด้วยชิ้นแม่นเทิลรูปร่างสีเหลี่ยมจตุรัส อายุ 6 และ 8 เดือน	80
48. แสดงลักษณะผิวไข่ມุกในหอยมุก <i>P. vondembuschianus ellipticus</i> เมื่อปัจจุบันถ่ายด้วยชิ้นแม่นเทิลรูปร่างสีเหลี่ยมจตุรัส อายุ 10 และ 12 เดือน.....	80

บทที่ 1

บทนำ

ไข่มุกเป็นอัญมณีชนิดเดียวที่ถือกำเนิดมาจากการสั่งมีชีวิต ไข่มุกมีความผูกพันกับคนเรามานานแสนนานและได้รับความนิยมเป็นอย่างมาก มาจนถึงปัจจุบัน การเกิดไข่มุกในหอยมุกนั้นเกิดจากเนื้อเยื่อส่วนที่เรียกว่า แมนเทล (mantle) ซึ่งแมนเทลของหอยจะห่อหุ้มส่วนของร่างกายทั้งหมดทำหน้าที่สำคัญคือการสร้างเปลือก ในธรรมชาตินั้นการเกิดไข่มุกจะเกิดจากการที่มีสิ่งแผลกลบломเข่นทรรศ หิน พยาธิ เป็นต้น เข้าไปอยู่ระหว่างชั้นแมนเทลกับชั้นนาครียส (nacreous layer) หรืออาจจะเกิดอยู่ระหว่างชั้นแมนเทล ทำให้หอยสร้างสารมุกขึ้นมาห่อหุ้มสิ่งแผลกลบลอมนั้น ในอดีตประเทคโนโลยีเป็นประเทคโนโลยีที่รู้จักการผลิตไข่มุก โดยใช้งาช้าง ไม้ หิน หรือโลหะรูปต่าง ๆ ใส่เข้าไปในตัวหอยกับน้ำจืด เพื่อให้หอยสร้างสารมุกมาเคลือบ แต่การศึกษาวิจัยการเพาะเลี้ยงและการผลิตไข่มุกน้ำจืดอย่างจริงจังเริ่มในปีค.ศ.1970 และสามารถให้ผลผลิตได้ในปี 1980 เป็นต้นมา (Gervis and Sims, 1972 ; Neff, 1992; Petit et al., 1979; Sin, 1993) ปัจจุบันมีการเลี้ยงไข่มุกน้ำจืดกันอย่างกว้างขวางในประเทศไทย สาธารณรัฐประชาชนจีน สหรัฐอเมริกา รัสเซีย และ ไทย สำหรับประเทศไทยพบว่า มีหอยกับน้ำจืดอยู่ถึง 46 ชนิด และอย่างน้อย 4 ชนิด ที่มีขนาดใหญ่ใช้ในการผลิตไข่มุกน้ำจืดได้คือ *Chamberlainia hainesiana*, *Hyriopsis (Limnoscapha) myersiana*, *Hyriopsis (Limnoscapha) desorwitzi* และ *Hyriopsis (Hyriopsis) bialatus* (สมศักดิ์ ปัญหา, 2534) หอยกับน้ำจืดทั้ง 4 ชนิด มีการกระจายอยู่ทั่วในภาคเหนือ ภาคตะวันออกเฉียงเหนือ ภาคกลางและภาคตะวันตกของประเทศไทย (Brandt, 1974) ปัจจุบันมีหน่วยงานที่ศึกษาวิจัยในเรื่องของการผลิตหอยมุกและไข่มุกน้ำจืดอยู่ 2 หน่วยงานคือสถาบันประมงน้ำจืด จังหวัดกาญจนบุรี และ ภาควิชาชีววิทยา คณะวิทยาศาสตร์ จุฬาลงกรณ์มหาวิทยาลัย (สมศักดิ์ ปัญหา, 2536)

ในการศึกษาครั้งนี้พบว่าหอยกาน้ำจืด 2 ชนิดคือ *Hyriopsis (Hyriopsis) bialatus* และ *Pseudodon vondembuschianus ellipticus* ซึ่งมีการกระจายอยู่อย่างกว้างขวางในแม่น้ำมูล แม่น้ำชี (Brandt, 1974) และพบว่าหอยทั้งสองชนิดมีคุณสมบัติที่น่าจะนำมาใช้ในการผลิตไข่มุกได้ เป็นตนว่าสีสันของชั้นนาเครียลที่สวยงาม ความหนาของเปลือก และปริมาณที่มีอยู่อย่างมหาศาล ดังนั้นจึงเกิดความคิดว่าจะนำหอยดังกล่าวมาใช้ให้เหมาะสมและให้เกิดประโยชน์สูงสุด

ประเทศไทยมีการนำเข้าไข่มุกจากต่างประเทศในปีหนึ่ง ๆ มีมูลค่าค่อนข้างสูง และพบว่ามีอัตราการขยายตัวการนำเข้าที่สูง เช่นเดียวกับดังตาราง

การนำเข้าไข่มุกประจำปี	มูลค่า : ล้านบาท	อัตราการขยายตัว : ร้อยละ
2537	56.3	-
2538	279.4	396.3
2539	640.1	129.1

ตารางที่ 1 มูลค่าการนำเข้าและอัตราการขยายตัวการนำเข้าไข่มุกของประเทศไทยจากต่างประเทศ

ที่มา กรมเศรษฐกิจการพาณิชย์ (2539)

การผลิตไข่มุกน้ำจืดที่ผ่านมาจะใช้วิธีการที่เรียกว่า การปลูกถ่ายชิ้นแม่นเทล (mantle transplantation) โดยการนำชิ้นแม่นเทลของหอยตัวหนึ่งซึ่งเป็นตัวให้ (donor) มาปลูกถ่ายไว้ในชิ้นแม่นเทลของหอยอีกตัวหนึ่งคือตัวรับ (recipient) เพื่อทำให้ชิ้นแม่นเทลที่ปลูกถ่ายนั้นสร้างไข่มุกขึ้นมา ซึ่งพบว่ามุกที่เกิดขึ้นมีรูปแบบและขนาดที่มีความหลากหลาย จึงเกิดแนวความคิดว่า ความแตกต่างดังกล่าวของไข่มุกน่าจะเกิดจากขนาดและรูปร่างที่แตกต่างกันของชิ้นแม่นเทลที่ปลูกถ่าย การศึกษาครั้งนี้จึงได้ใช้หอยมุกน้ำจืดทั้ง 2 ชนิดคือ *H.(H.) bialatus* และ *P. vondembuschianus ellipticus* มาทำการศึกษา

วัตถุประสงค์

เพื่อศึกษาเปรียบเทียบการเกิดไข่มูกในหอยมุกน้ำจืด *Hyriopsis (Hyriopsis bialatus)* และ *Pseudodon vondembuschianus ellipticus* เมื่อใช้ชิ้นแมงแทล ซึ่งมีขนาดและรูปร่างต่าง ๆ กัน โดยเทคนิคการปลูกถ่ายเนื้อเยื่อ

ประโยชน์ที่คาดว่าจะได้รับ

เพื่อพัฒนาเทคนิคการเลี้ยงไข่มูกน้ำจืดให้ดีขึ้น และเป็นการวางแผนการใช้ทรัพยากรธรรมชาติที่มีอยู่ให้เหมาะสมและเกิดประโยชน์สูงสุด

บทที่ 2

บทสอนสวนเอกสาร

แผนเทิลของหอยมุกเป็นอวัยวะที่ห่อหุ้มตัวหอยไว้ทำหน้าที่หลักในการสร้างเปลือก ประกอบด้วยเนื้อยื่อบุผิว 2 ชั้นคือ เนื้อยื่อบุผิวชั้นอก (outer mantle epithelium) และเนื้อยื่อบุผิวชั้นใน (inner mantle epithelium) ระหว่างเนื้อยื่อบุผิวทั้งสองเป็นส่วนของเนื้อยื่อกีบพัน เส้นเลือด กล้ามเนื้อเรียบและเส้นประสาท รวมเรียกส่วนนี้ว่า mesodermal tissue (Neff,1972; Petit et al.,1978; Shi et al.,1985;Panha and Phansuwan,1996) เนื้อยื่อบุผิวชั้นในของแผนเทิลประกอบด้วยเซลล์เยื่อบุผิว (epithelium cells) ชั้นเดียว เซลล์สร้างน้ำเมือก (mucous cells) และเซลล์ต่อม (gland cells) ที่ประกอบเซลล์เพียงเซลล์เดียว (unicellular) เซลล์เยื่อบุผิวจะมีขนาดความยาวประมาณ $10 \mu\text{m}$ กว้างประมาณ $3 \mu\text{m}$ มีนิวเคลียสขนาดใหญ่ ไม่มีนิวเคลียส มีไมโครวิลไล (microvilli) และซีลิค (cilia) กระจายเป็นหย่อง ๆ แทรกอยู่กับไมโครวิลไล เซลล์สร้างน้ำเมือกมีหลายรูปร่างทำหน้าที่ผลิตน้ำเมือกที่มีความเข้มข้นสูงเพื่อคุ้มครองหน้าของเซลล์เยื่อบุผิวและพบว่า mucous substance ที่อยู่ในเซลล์สร้างน้ำเมือกประกอบด้วย mucopolysaccharide ซึ่งมีฤทธิ์เป็นกรดมีบทบาทช่วยควบคุมกลไกในการสร้างสารมุก นอกจากนี้ยังทำหน้าที่ในการดูดซับแคลเซียมจากแหล่งน้ำเข้าสู่ตัวหอย โดยสารเมือกจะรวมตัวกับแคลเซียมและกลายเป็นส่วนหนึ่งของชั้nmukที่มีแคลเซียมเป็นองค์ประกอบ เซลล์ต่อมที่ประกอบด้วยเซลล์เพียงเซลล์เดียวจะกระจายอยู่ด้านล่างของเซลล์เยื่อบุผิวมีรูปร่างไม่แน่นอน ภายในบรรจุกรานูล (granules) จำนวนมาก (Nakahara,1961; Wada,1966; Tsujii,1968; Wilbur and Saleuddin,1983; Shi et al.,1985) เนื้อยื่อบุผิวชั้นนอกของแผนเทิลประกอบด้วยเซลล์บาง ๆ ชั้นเดียว รูปสามมิติโดยเซลล์จะเป็นรูปทรงกรวยออก หลายเหลี่ยม (polygonal columnar) มีความสูงประมาณ $30 \mu\text{m}$ ผิวค้านอิสระจะมีไมโครวิลไลขนาดเล็กจำนวนมากปกคลุมอยู่ แต่ละเส้นมีเส้นผ่านศูนย์กลางประมาณ $0.1 \mu\text{m}$ ยาวประมาณ $2-3 \mu\text{m}$ ภายในเซลล์จะพบไมโทคอนเดรีย เอนโด

พลาสมิกเรติคูลั่ม และโพลีโซน จำนวนมากจะกระจายอยู่ด้านบนและด้านล่างของเซลล์ (Neff,1972; Li et al.,1988; Si et al.,1990) กระบวนการสร้างเปลือกเกิดจากการที่เซลล์สร้างน้ำเมื่อกับน้ำเมื่อรวมกับ extrapallial fluid ซึ่งประกอบด้วยโปรตีนและ mucopolysaccharide acid โดยอยู่ในช่องว่างที่เรียกว่า extrapallial space ซึ่งอยู่ระหว่างแม่นเทิดชั้นนอกกับชั้นนาเครียส (Bevelander and Nakahara,1966; Wilbur and Saleuddin,1983)

กระบวนการเกิดไนรูกในธรรมชาติเป็นกระบวนการทำความสะอาดส่วนของเปลือกชั้นนาเครียสกับแม่นเทิด หรือส่วนของ extrapallial space เพื่อลดความระคายเคืองและป้องกันอันตรายต่าง ๆ ให้กับตัวหอย (Mclean,1980) จากสมบัติของแม่นเทิดในการสะสานและเป็นบริเวณที่เกิดปฏิกริยาเคมีจนได้สารประกอบแคลเซียมคาร์บอนเนต ซึ่งเป็นองค์ประกอบสำคัญของเปลือกหอย ในกระบวนการสร้างเปลือกหอยพบว่า แคลเซียมคาร์บอนเนตของเปลือกหอยนี้มาจาก haemolymph และ extrapallial fluid โดยที่แคลเซียมที่ได้จะมาจากน้ำ โดยจะถูกนำมาสะสมอยู่ร่อง ๆ ของของแม่นเทิด จากนั้นจะเกิดกระบวนการทางฟิสิกส์-เคมี (physico-chemical processes) ทำให้เกิดเป็นแคลเซียมคาร์บอนเนต และเกิดการรวมตัวกับโปรตีนตกลหลีกเป็นเปลือกหอยในที่สุด (Bevelander,1952) Coimbra และคณะ(1993) พบว่าค่า electrical potential ของ ionic calcium ใน extrapallial fluid และ haemolymph มีค่าใกล้เคียงกัน แต่จะมีค่าสูงกว่าใน mantle cavity และสภาพแวดล้อม นอกจากนี้ pH และการบ่อนไดออกไซด์ จะเป็นตัวควบคุมการสะสานของแคลเซียมใน extrapallial fluid โดยค่า pH ที่สูงและปริมาณ CO₂ ที่ต่ำของสภาพแวดล้อมจะทำให้การสะสานแคลเซียมคาร์บอนเนตนี้ดีกว่าปกติ Hatano และคณะ (1955) พบว่าแคลเซียมจะถูกดึงจากน้ำเข้าสู่เหงือก ได้อย่างรวดเร็วและสะสานในเปลือกและไนรูกเป็น calcium-protein complex นอกจากนี้ Wada (1968) พบว่า แคลเซียมที่ใช้สำหรับกระบวนการสร้างเปลือกจะถูกขับออกจากแม่นเทิดในรูป inorganic ion ปนอยกมากับสารประกอบ acid mucoprotein โปรตีนจะทำหน้าที่คล้ายกับซีเมนต์ ที่จะเชื่อมผลึกแคลเซียมคาร์บอนเนตเข้าด้วยกัน จากการศึกษาของ Yano และ

Machii ในปี 1975 พบว่ากรดอะมิโนที่ได้จากการสกัดชิ้นแม่นเทลที่เลี้ยงไว้ใน culture medium ส่วนใหญ่เป็น valine, glutamic acid, aspartic acid, histidine, leucine และ glycine ซึ่งเหมือนกับส่วนประกอบของโปรตีน conchiolin ของเปลือก Wada (1976) พบว่ากรดอะมิโนที่ใช้ในการสร้างเปลือกในชั้นนาครียสและชั้นพริสมາติกในหอยมุก กัลปังหา *Pinctada fucata* มีองค์ประกอบของกรดอะมิโนที่คล้ายคลึงกัน และ Yano (1978) พบว่ากรดอะมิโนที่พบในของเหลวในร่างกายของหอยมุก 2 ชนิดคือ หอยมุก กัลปังหา *P. fucata* และหอยนางรม *Crassostrea gigas* มีอัตรา 16-17 ชนิด โดยของเหลวที่มาจากหัวใจและเห้าในหอยมุก 2 ชนิดนี้จะมีปริมาณของ aspartic acid และ glutamic acid อยู่สูง

จากข้อมูลดังกล่าวจึงได้มีการนำชิ้นแม่นเทลปลูกถ่ายเข้าไปในบริเวณ mesodermal tissue ของแม่นเทลและ gonad ของหอยมุก เพื่อให้เกิดการสร้างไข่มุกขึ้นมา รวมทั้งพบว่าเนื้อยื่อชั้นในของแม่นเทลจะถลายไปก่อนถุงไข่มุกจะถูกสร้างเสร็จ สมบูรณ์และเป็นการสนับสนุนให้ใช้เนื้อยื่อบุพิวชั้นนอกของแม่นเทล สำหรับการปลูกถ่ายเพื่อสร้างถุงไข่มุกและไข่มุก (Aoki, 1959; Tsujii, 1968; Wada, 1968; Zahab et al., 1992)

การศึกษาผลของการปลูกถ่ายชิ้นเนื้อยื่อแม่นเทลเข้าไปจะมีกระบวนการเปลี่ยนแปลงเกิดเป็นถุงไข่มุกและหลังจากที่สร้างถุงไข่มุกเสร็จสมบูรณ์แล้วเซลล์เยื่อบุพิวของถุงไข่มุกจะเริ่มมีการสะสมของสารมุก (pearl substance) และผลของสภาพแวดล้อม อุณหภูมิ ที่มีผลต่อกระบวนการสร้างถุงไข่มุก ไข่มุก และคุณภาพของไข่มุกตามที่นักวิจัยกลุ่มต่าง ๆ ได้รายงานไว้ดังนี้

Kawakami (1952) ได้ปลูกถ่ายชิ้นแม่นเทลเข้าไปใน gonad ของหอยมุกพนว่าชิ้นเนื้อยื่อบุพิวชั้นนอกจะเจริญเป็นถุงไข่มุก โดยจะกระจายไปบนผิวด้านในของน้ำด้วย และเจริญเป็นแผ่นบาง ๆ คลุมนิวเคลียต หลังจากปลูกถ่ายเข้าไป 7 วัน โดยถุงไข่มุกจะประกอบด้วยเนื้อยื่อ 1 ชั้น ซึ่งมีความหนากว่าเยื่อบุพิวชั้นนอกของแม่นเทลของหอยปกติเล็กน้อย และหลังจากปลูกถ่ายชิ้นแม่นเทล 15 วัน ถุงไข่มุกจะหลังสารประกอบ

โปรดีนเป็นชั้นเพอริօอสตราคัม จากนั้นจะมีการสร้างเป็นชั้นพริสมาดิค และชั้นนาเครียส ตามลำดับ และ Kawakami (1953) ศึกษาการสร้างถุงไข่ mügk และไข่ mügk ในหอย mügk กัลปังหา *Pinctada martensii* พบร่วมกันเมื่ออุณหภูมิต่างกันโดยที่ อุณหภูมิสูง (26°C) จะมีการเจริญเป็นถุงไข่ mügk ได้เร็วกว่าที่อุณหภูมิต่ำ (15°C)

Ojima และ Watanabe (1953) ศึกษาเกี่ยวกับกระบวนการสร้างถุงไข่ mügk ในหอย mügk น้ำจืด *H. schlegelii* โดยใช้เนื้อเยื่อบุผิวชั้นนอก ปลูกถ่ายเข้าไปในเนื้อเยื่อเกี่ยวพัน ของแม่นเทลของหอยตัวรับ พบร่วมกันเมื่ออุณหภูมิสูง (26°C) ได้ในเวลา 14 วัน หลังจากปลูกถ่าย และพบว่าถ้ามีการติดเชื้อเกิดขึ้น จากการปลูกถ่ายจะไม่มีการสร้างเป็นถุงไข่ mügk

Kawakami (1954) ได้ศึกษาการเกิดถุงไข่ mügk ในหอย mügk น้ำจืด *Hyriopsis schlegelii* และ *Anodonta woodiana lauta* พบร่วมกันเมื่อบุผิวชั้นนอกของหอยทั้งสองชนิด สามารถสร้างถุงไข่ mügk ล้อมรอบนิวเคลียสได้ภายใน 14 วัน หลังจากปลูกถ่าย เนื้อเยื่อแม่นเทลลงใน gonad ของหอยแต่ละชนิด

Kawakami (1957) ศึกษาผลของอุณหภูมิที่ต่อต้านการสร้างถุงไข่ mügk และคุณภาพของไข่ mügk ที่ได้ โดยใช้วิธี cold-shocked โดยการปลูกถ่ายชิ้นเนื้อเยื่อแม่นเทลที่อยู่ในสภาพอุณหภูมิต่ำ (5°C) เป็นเวลา 5-40 ชั่วโมง พบร่วมกันเมื่อหอยถูกชักนำเทลที่อุณหภูมิ ปกติแต่การเสื่อมสภาพของ mesodermal tissue จะช้ากว่าปกติและชิ้นแม่นเทลที่เก็บรักษาไว้ ภายในหอยได้อุณหภูมิต่ำเป็นเวลา 5-40 ชั่วโมง สามารถนำไปใช้ในการปลูกถ่ายเพื่อผลิตไข่ mügk ได้

Machii และ Nakahara (1957) พบร่วมกันเมื่อหอยถูกชักนำเทลที่ใช้ในการสร้างถุงไข่ mügk และไข่ mügk โดยในช่วงฤดูร้อนหอยจะมีอัตราการเจริญเติบโตสูงกว่าในช่วงฤดูหนาว

Nakahara และ Machii (1957) ได้ศึกษาการเกิดถุงไน์มุก พบร่วมกับหลังจากปูลูกถ่ายเนื้อเยื่อแม่นเทิลชั้นนอกเข้าไป 1-6 วัน ชั้นแม่นเทิลที่ปูลูกถ่ายจะเปลี่ยนแปลงรูปร่างไป มีลักษณะคล้ายกับเท้าเทียม (pseudopodia) จะเคลื่อนที่และแผ่ไปตามผิวของนิวเคลียส จากนั้นจะยึดเกาะกับเซลล์รับบาดแผลของหอยตัวรับและห่อหุ้มนิวเคลียส เกิดเป็นถุงไน์มุกขึ้นมา

Machii (1958) ศึกษาผลของขนาดของชั้นแม่นเทิลและนิวเคลียสที่ปูลูกถ่ายในการสร้างถุงไน์มุก พบร่วมถ้าไส้นิวเคลียสที่มีขนาดใหญ่จะทำให้ได้ถุงไน์มุกที่ใหญ่กว่าไส้นิวเคลียสขนาดเด็ก เมื่อชั้นแม่นเทิลที่ปูลูกถ่ายมีขนาดเท่ากัน และถ้านิวเคลียสขนาดเท่ากันการปูลูกถ่ายด้วยชั้นแม่นเทิลขนาดใหญ่จะได้ถุงไน์มุกที่ใหญ่กว่าปูลูกถ่ายด้วยชั้นแม่นเทิลขนาดเด็ก

Ota (1958) ศึกษาความสัมพันธ์ระหว่างอุณหภูมิกับลักษณะของผลึกของแคลเซียมคาร์บอเนตในหอยมุกกลับปังหา *Pinctada martensii* พบร่วมหาดอุณหภูมิของน้ำมีความสัมพันธ์กับลักษณะของผลึกของไน์มุกที่เกิดขึ้นในช่วงฤดูร้อน ผลึกที่เกิดขึ้นจะมีความยาวมากกว่าฤดูหนาวและจะไม่มีการสร้างผลึกของไน์มุกเกิดขึ้นที่อุณหภูมิที่ต่ำกว่า 13°C

Wada(1958 a,b) การสะสมสารมุกบนผิวของนิวเคลียสในระยะแรกของการบวนการสร้างไน์มุกจะพบชั้นหนาของโปรตีน conchiolin ต่อมาก็จะพบชั้นพริสมานิติกสะสมกระจัดกระจายบนผิวของ conchiolin และพบว่าที่ชั้นพริสมานิติกจะมีผลึกแคลเซียมเป็นแบบแคลไซด์(calcite)หลังจากนั้นชั้นนาเครียสซึ่งมีผลึกเป็นแบบอาโรโนนต์(aragonite) ก็จะมาคลุมชั้นพริสมานิติกอีกทีหนึ่ง

Machii (1959) ทำการศึกษาโดยการใช้ชิ้นถุงไน์มุก (pearl sac) ปูลูกถ่ายแทนการใช้ชั้นแม่นเทิล พบร่วมกับการสร้างถุงไน์มุกคล้ายกับการปูลูกถ่ายโดยใช้ชั้นแม่นเทิลปกติ

Wada (1959a,b) รายงานว่าการเจริญของผลึกอาโรโนนต์ในชั้นนาเครียสจะเจริญเป็นชั้น ๆ ซึ่งเป็นผลมาจากการท่องทางภายในตัวและทางเคมีของถุงไน์มุกและการ

สะสมของผลึกแคลเซียมบนผิวของไข่มุกจะหยุดชะงักลงเมื่อมีความผิดปกติของตัวหอย อันเนื่องมาจากการแผลลื้อมที่เปลี่ยนแปลง

Uyeno และ Inouye (1961) พบว่าวิธีการควบคุมคุณภาพของไข่มุกทำได้โดยการ เคลื่อนย้ายสถานที่เลี้ยงหอย โดยครั้งแรกจะเลี้ยงหอยมุกในที่ที่เหมาะสมต่อการเจริญเติบโตของหอยก่อน แล้วจึงย้ายไปยังที่ที่ทำให้มีการเจริญอย่างช้าๆ เพื่อให้ได้ไข่มุกที่สวยงามภายหลังเนื่องจากการเจริญอย่างช้าๆ ของหอยจะทำให้การตกผลึกของสารมุกมี การตกผลึกอย่างเป็นระเบียบและมีส่วนประกอบของโปรตีนอยู่ด้วย

Aoki (1961) ศึกษาการเกิดถุงไข่มุก พบร้าหลังจากปลูกถ่ายชิ้นเนื้อเยื่อแม่นเทล เข้าไปในช่องว่างระหว่างนิวเคลียสและเนื้อเยื่อแม่นเทลของหอยตัวรับในระยะเวลา 2-3 วัน จะพบว่ามี wandering cells จำนวนมากมีการเปลี่ยนรูปร่างเป็นเท้าเทียนของ wandering cells ขึ้นเป็นตาข่ายกลุ่มผิวในของบาดแผลเกิดเป็นเซลล์ไกล์เคียงขึ้นมา

Machii (1962) ศึกษาการเกิดถุงไข่มุก เมื่อปลูกถ่ายโดยเยื่อบุผิวชั้นนอก และเยื่อบุผิวชั้นในของชิ้นแม่นเทล พบร้าถุงไข่มุกที่เกิดจากการปลูกถ่าย โดยเนื้อเยื่อบุผิวชั้นนอกของชิ้นแม่นเทลจะเจริญและสร้างเป็นถุงไข่มุกได้เสร็จสมบูรณ์ภายในเวลา 7-10 วัน ส่วนเยื่อบุผิวชั้นในของชิ้นแม่นเทลที่ปลูกถ่ายพบว่ามีการม้วนตัวและสร้างเป็นถุงไข่มุก แต่ไม่มีการสร้างสารมุกและจะถ่ายตัวหมดไปภายในเวลา 1 เดือนหลังจากปลูกถ่าย

Machii (1968) ศึกษาการจัดเรียงตัวของเนื้อเยื่อแม่นเทลในการเกิดถุงไข่มุกของหอยมุกน้ำจืด *Hyriopsis schlegelii* พบว่า wandering cells มีจุดกำนิดจากการรวมตัวกันของเนื้อเยื่อแม่นเทลที่ปลูกถ่ายเข้าไปและเนื้อเยื่อจากบาดแผลของหอยเอง จากนั้น wandering cells จะเจริญกลุ่มผิวด้านในบาดแผลและสร้างเป็นถุงไข่มุก

Uemoto (1968) ศึกษาความสัมพันธ์ระหว่างอุณหภูมิของน้ำกับออกซิเจนในกระบวนการเมtabolism ของหอยมุกกลับปังหา *Pinctada fucata* พบว่าอุณหภูมิของน้ำกับออกซิเจนจะแปรผันตามช่วงของอุณหภูมิ และถ้าอุณหภูมิของน้ำบริเวณน้ำสูงเกิน

27 °C จะมีผลทำให้กระบวนการ oxidation-reduction ภายในร่างกายของหอยทำงานผิดปกติ

Wada (1972) พบว่าปริมาณ Ca metabolism จะมีค่าสูงสุดในช่วงต้นหลังจากที่มีการปูกถ่ายชิ้นแม่นเทลเข้าไปและอัตราการเจริญของไข่มุกหรือมุกบนนิวเคลียสขึ้นอยู่กับอัตราการเจริญของหอยโดยหอยที่มีอัตราการเจริญเตบโตสูงจะทำให้ได้ไข่มุกที่มีความมันและความหวานน้อยกว่าหอยที่เจริญอย่างช้าๆ และพบว่าจะมีช่วงที่หอยมีการพักตัวหรือมีกิจกรรมน้อยในช่วงฤดูหนาว

Machii (1974) ทำการศึกษาโดยการนำเอาชิ้นเนื้อเยื่อแม่นเทลของหอยมุกกลับปีงหา *Pinctada fucata* มาเลี้ยงใน culture medium ที่อุณหภูมิ 23 °C ซึ่งมีคาร์บอนไดออกไซด์ 10% พนว่าประมาณ 4-7 วัน จะมีลักษณะเป็นตุ่มเกิดขึ้นที่ชิ้นเนื้อเยื่อแม่นเทลนั้น และตั้งแต่ 12 วันขึ้นไป พนว่ามีการสร้างสารอินทรีย์เกิดขึ้นมาจากการที่ชั้น epithelium ได้อ่าย่างชัดเจน

Shi และคณะ (1985) ศึกษาการเกิดถุงไข่มุกในหอยมุกน้ำจืด *Hyriopsis cumingii* โดยใช้ชิ้นของแม่นเทลและนิวเคลียสใส่เข้าไประหว่างชั้นของแม่นเทลของหอยตัวรับ พนว่าจะสามารถสร้างถุงไข่มุกได้เสร็จสมบูรณ์ในเวลา 30 วัน ที่อุณหภูมิ 20 °C และการเกิดถุงไข่มุกจะเกิดได้ดีเมื่อปูกถ่ายเข้าไปในบริเวณแม่นเทลด้านท้าย (posterior)

Li และคณะ (1988) พนว่าถุงไข่มุกจะประกอบด้วยเซลล์ที่มีลักษณะเป็นทรงสูงรูปหลายเหลี่ยม (polygonal columnar) มีในโครงวิลไอลอยู่บนผิวสัมผัสนิวเคลียสในโครงวิลไอล จะมีขนาดเส้นผ่านศูนย์กลางประมาณ 100 μm ภายในเซลล์ประกอบด้วยไมโทคอนเดรีย เอนโดพลาسمิกเรติคูลั่มจำนวนมาก มีลักษณะคล้ายถุง เยื่อบุผิวของถุงไข่มุก จะทำหน้าที่ขับสารและสังเคราะห์สารต่างๆ ที่สำคัญในการสร้างถุงไข่มุก

ประสุข (2538) พนว่าการเกิดถุงไข่มุกเมื่อปูกถ่ายโดยชิ้นแม่นเทลทั้งชิ้นและเนื้อเยื่อบุผิวแม่นเทลชิ้นนอกจะสามารถสร้างไข่มุกได้เช่นเดียวกันแต่เปอร์เซนต์การเกิดถุงไข่มุกจะแตกต่างกันประมาณ 10 เปอร์เซนต์

Wada (1995) พบว่าชิ้นแม่นเทิลชั้นนอกที่ปลูกถ่ายแบบอัลโลกราฟ (allograft) เข้าไปในเนื้อเยื่อเกี่ยวพันของแม่นเทิลของหอยมุกน้ำจืด *Hyriopsis schlegelii* จะยึดติด plasma membrane ใน hemocyte capsule รอบ ๆ เนื้อเยื่อของหอยตัวรับและมีการแผ่ตัว ออกเป็นเนื้อเยื่อชั้นเดียวเป็นแผ่นต่อเนื่องกันและจะยึนส่วนที่มีลักษณะคล้ายขา เทียม (filopodia) ทำให้กลายเป็นถุงไน์มุกขึ้นมา

Panha และ Phansuwan (1996) พบว่า neurosecretory cells ที่อยู่บริเวณ anterior adductor muscle มีบทบาทสำคัญต่อการสร้างไน์มุก หลังจากมีการใส่ไข่เคลือบและปลูกถ่ายชิ้นแม่นเทิลเข้าไป

Panha และ Kosavittkul (1997) ศึกษาการปลูกถ่ายชิ้นแม่นเทิลโดยวิธีอัลโลกราฟ(allograft) และซีโนกราฟ (xenograft) ในหอยมุกน้ำจืด 3 ชนิดคือ *Hyriopsis (Limnoscapha) myersiana*, *Hyriopsis (Limnoscapha) desowitzi* และ *Chamberlainia hainesiana* พบว่าการปลูกถ่ายชิ้นแม่นเทิลโดยวิธีอัลโลกราฟถุงไน์มุก จะถูกสร้างเสร็จสมบูรณ์ภายใน 15 วัน ส่วนการปลูกถ่ายชิ้นแม่นเทิลโดยวิธีซีโนกราฟ โดยนำชิ้นแม่นเทิลของหอย *C. hainesiana* ไปปลูกถ่ายให้กับหอย *H. (L.) myersiana* พบว่าการสร้างถุงไน์มุกจะใช้เวลา 13 วัน และในทางกลับกันจะใช้เวลา 15 วัน ส่วน การปลูกถ่ายชิ้นแม่นเทิลของหอย *H. (L.) desowitzi* ไปสู่หอย *C. hainesiana* และ *H. (L.) myersiana* จะใช้เวลาในการสร้างถุงไน์มุก 21 วันและ 27 วันตามลำดับ และถ้าให้ *H. (L.) desowitzi* เป็นหอยตัวรับ พบว่าจะไม่มีการสร้างถุงไน์มุกเกิดขึ้น

บทที่ 3

อุปกรณ์และวิธีการทดลอง

การดำเนินการวิจัยแบ่งออกเป็น 3 ส่วนคือ

1. การทดลอง

1.1 เก็บตัวอย่างหอยมุกน้ำจืด *Hyriopsis (Hyriopsis) bialatus* และ *Pseudodon vondembuschianus ellipticus* จากคลองลำตะคอง ตำบลตลาดบัวขาว อำเภอสีคิว จังหวัดนราธิวาส โดยใช้ขนาดความยาวเปลี่ยนจากด้านหน้า (anterior) ถึงด้านท้าย (posterior) ตั้งแต่ 10 เซนติเมตร ใน *H. (H.) bialatus* และตั้งแต่ 8 เซนติเมตร ใน *P. vondembuschianus ellipticus*

1.2 นำหอยมุกที่ได้มาปลูกถ่ายเนื้อเยื่อ โดยใช้เนื้อเยื่อชิ้นแม่นเทิล ซึ่งมีขนาดและรูปร่างต่าง ๆ กัน โดยใช้จำนวนหอยในการทดลองคั่งรายละอีกดตามตารางที่ 2

ชนิด	รูปร่างและขนาด	สามเหลี่ยมน้ำหนา				วงกลม (รัศมี)				สี่เหลี่ยมจตุรัส				กลุ่ม	รวม
		2 มม.	4 มม.	6 มม.	8 มม.	1 มม.	2 มม.	3 มม.	4 มม.	2 มม.	4 มม.	6 มม.	8 มม.		
<i>H. (L.) bialatus</i>	100	100	100	100	100	100	100	100	100	100	100	100	100	100	1300
<i>P.vondembuschianus ellipticus</i>	100	100	100	100	100	100	100	100	100	100	100	100	100	100	1300

ตารางที่ 2 แสดงจำนวนหอยในแต่ละวิธีการทดลอง

โดยอุปกรณ์ที่ใช้ในการตัดแม่นเทิลให้เป็นชิ้นที่มีรูปร่างและขนาดต่าง ๆ กันจะทำด้วยโลหะ ซึ่งมีลักษณะแสดงดังรูปที่ 1 และชิ้นแม่นเทิลที่ตัดได้จะมีลักษณะดังแสดงในรูปที่ 2 โดยชิ้นแม่นเทิลที่ตัดแล้วจะแข็งอยู่ใน normal saline การปลูกถ่ายชิ้นแม่นเทิลจะปลูกถ่ายไว้ในชั้นแม่นเทิลของหอยตัวรับและบริเวณที่ปลูกถ่ายจะอยู่บนบริเวณด้านท้ายของหอยตัวรับ

บทที่ 3

อุปกรณ์และวิธีการทดลอง

การดำเนินการวิจัยแบ่งออกเป็น 3 ส่วนคือ

1. การทดลอง

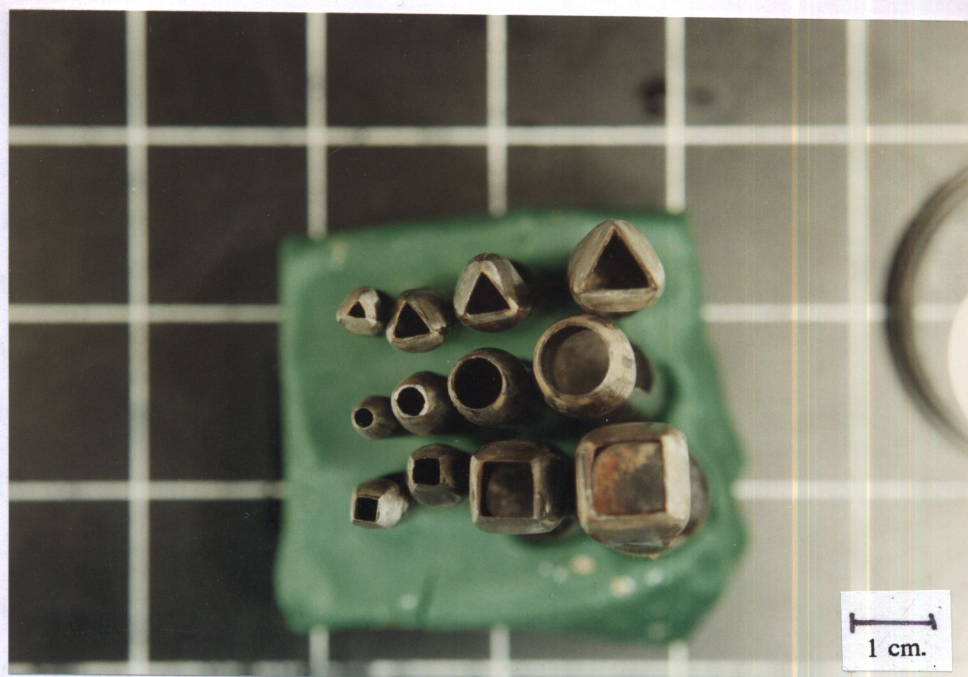
1.1 เก็บตัวอย่างหอยมุกน้ำจืด *Hyriopsis (Hyriopsis) bialatus* และ *Pseudodon vondembuschianus ellipticus* จากคลองลำตะคลอง ตำบลลาดบัวขาว อำเภอสีคิ้ว จังหวัดนครราชสีมา โดยใช้ขนาดความยาวเปลือกจากด้านหน้า (anterior) ถึงด้านท้าย (posterior) ตั้งแต่ 10 เซนติเมตร ใน *H. (H.) bialatus* และตั้งแต่ 8 เซนติเมตร ใน *P. vondembuschianus ellipticus*

1.2 นำหอยมุกที่ได้มามปูกถ่ายเนื้อเยื่อ โดยใช้เนื้อเยื่อชิ้นแม่นเทิล ซึ่งมีขนาดและรูปร่างต่าง ๆ กัน โดยใช้จำนวนหอยในการทดลองดังรายละเอียดตามตารางที่ 2

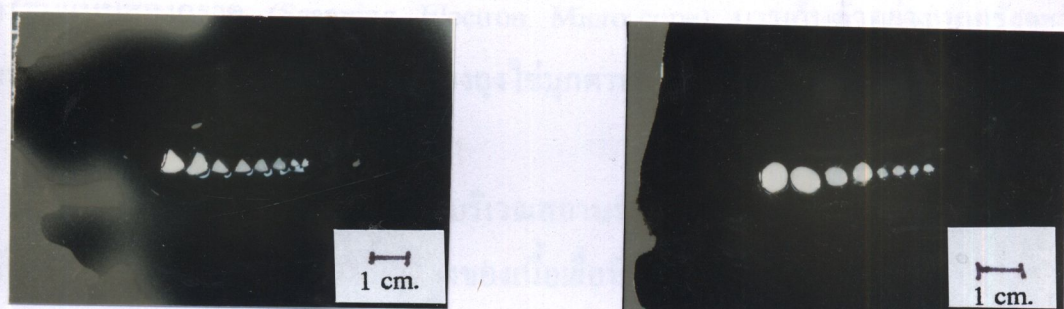
ชนิด ขนาด	สามเหลี่ยมด้านเท่า				วงกลม (รัศมี)				สี่เหลี่ยมจตุรัส				กลุ่ม ควบคุม	รวม
	2 มม.	4 มม.	6 มม.	8 มม.	1 มม.	2 มม.	3 มม.	4 มม.	2 มม.	4 มม.	6 มม.	8 มม.		
<i>H. (L.) bialatus</i>	100	100	100	100	100	100	100	100	100	100	100	100	100	1300
<i>P.vondembuschianus ellipticus</i>	100	100	100	100	100	100	100	100	100	100	100	100	100	1300

ตารางที่ 2 แสดงจำนวนหอยในแต่ละวิธีการทดลอง

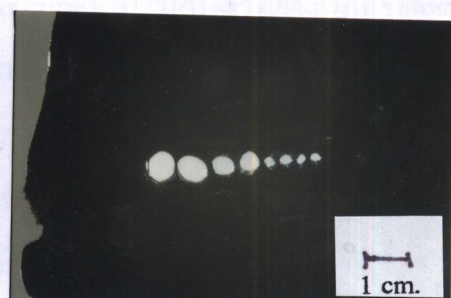
โดยอุปกรณ์ที่ใช้ในการตัดแม่นเทิลให้เป็นชิ้นที่มีรูปร่างและขนาดต่าง ๆ กันจะทำด้วยโลหะ ซึ่งมีลักษณะแสดงดังรูปที่ 1 และชิ้นแม่นเทิลที่ตัดได้จะมีลักษณะดังแสดงในรูปที่ 2 โดยชิ้นแม่นเทิลที่ตัดแล้วจะแข็งยื่นใน normal saline การปักถ่ายชิ้นแม่นเทิลจะปักถ่ายไว้ในชิ้นแม่นเทิลของหอยตัวรับและบริเวณที่ปักถ่ายจะอยู่บนบริเวณด้านท้ายของหอยตัวรับ



รูปที่ 1 เครื่องมือที่ใช้ในการตัดชิ้นแม่นเทลเป็นรูปต่างๆ



A



B



C

รูปที่ 2 ชิ้นแม่นเทลที่ใช้ในการปลูกถ่ายรูปร่างต่างๆ

A สามเหลี่ยมค้านเร้า

B วงกลม

C สี่เหลี่ยมจัตุรัส

1.3 นำหอยที่ผ่านขั้นตอนการปักกถ่ายเนื้อเยื่อมาใส่กระชังซึ่งมีขนาด 90ซม.X 120ซม. กระชังละ 300 ตัวแล้วนำไปเลี้ยงในบริเวณสถานที่เลี้ยงหอยของงานวิจัยการเลี้ยงไข่นมกน้ำจืด ภาควิชาชีววิทยา คณะวิทยาศาสตร์ จุฬาลงกรณ์มหาวิทยาลัย ที่คลองลำตะคงอําเภอสีคิว จังหวัดนราธิวาส คลองนี้มีความกว้างประมาณ 6 เมตร โดยกระชังจะวางอยู่บนพื้นคลองที่มีความลึกประมาณ 2.5 เมตร ในช่วงเดือนพฤษภาคมถึงเดือนตุลาคมและลึกประมาณ 1 เมตร ในช่วงเดือนพฤษภาคมถึงเดือนเมษายน

1.4 สุ่มตัวอย่างหอยมาตรวจสอบการเกิดถุงไข่นมก (pearl sac) และไข่นมกในระยะเวลา 4 เดือนแรกจะเก็บตัวอย่างเดือนละ 2 ครั้งทุก 2 สัปดาห์ เพื่อศึกษาการเปลี่ยนแปลงของเนื้อเยื่อ โดยวิธี parafin section และวัดขนาดของถุงไข่นมก การสุ่มตัวอย่างหอยจะสุ่มครั้งละ 10 ตัว ต่อ 1 การทดลองและคัดเลือกหอย 2 ตัวต่อ 1 การทดลองมาทำการศึกษาการเปลี่ยนแปลงของเนื้อเยื่อชั้นแม่นเทิลที่ปักกถ่ายหลังจากนั้นเก็บตัวอย่างเดือนละ 1 ครั้งเพื่อนำไปศึกษาการเปลี่ยนแปลงของไข่นมก ตัวยกถ้องจุลทรรศน์อิเล็กตรอนแบบส่องกราด (Scanning Electron Microscope) การเก็บตัวอย่างทุกครั้งจะวัดขนาดของถุงไข่นมก จะทำวัดขนาดของถุงไข่นมกตามความยาวของเปลือกหอย

2. การตรวจสอบในห้องปฏิบัติการ

หลังจากที่สุ่มตัวอย่างหอยจากบริเวณสถานที่เลี้ยงหอย โดยทำการตรวจสอบในห้องปฏิบัติการ เพื่อดูการเปลี่ยนแปลงของเนื้อเยื่อที่ปักกถ่ายเข้าไปดังนี้

2.1 การตรวจสอบด้วยตาเปล่า โดยดูการเปลี่ยนแปลงของเนื้อเยื่อที่ปักกถ่ายเข้าไปดังนี้ ที่มีการสร้างเป็นถุงไข่นมกและไข่นมก ตั้งเกตลักษณะและบันทึกภาพ

2.2 การตรวจสอบด้วยวิธี parafin section โดยการย้อมด้วยสี Haematoxylin-Eosin และ Alizarin Red S เพื่อดูการเปลี่ยนแปลงทางเนื้อเยื่อของถุงไข่นมก โดยมีขั้นตอนดังนี้

2.2.1 Fixation

ตัดเนื้อเยื่อบริเวณที่เป็นถุงไข่นมกแข็งใน Bouin's fluid 18-24 ชั่วโมง ถ่ายเนื้อเยื่อจาก Bouin's fluid ลงใน 70% ethyl alcohol

2.2.2 Dehydration

ถ่ายเนื้อเยื่อจาก 70% ethyl alcohol ลงใน 90% ethyl alcohol 6 ชั่วโมง 95% ethyl alcohol 3 ชั่วโมง และ n-butyl alcohol 1 ชั่วโมง

2.2.3 Clearing

ถ่างเนื้อเยื่อใน xylene 1 ชั่วโมง

2.2.4 Impregnation

ถ่ายเนื้อเยื่อที่ถ่างด้วย xylene แล้วลงใน xylene+molten wax อัตราส่วน 1:1 เป็นเวลา 30 นาที ถ่ายลง wax₁ ที่อุณหภูมิ 58 องศาเซลเซียส 30 นาที จากนั้นถ่ายลง wax₂ ที่อุณหภูมิ 58 องศาเซลเซียส 1 ชั่วโมง

2.2.5 Embedding

embed เนื้อเยื่อลงใน parafin ทึบไว้ให้เข็น

2.2.6 Section

นำเนื้อเยื่อที่ผ่านขั้นตอน embedding แล้วมาตัดด้วยเครื่อง microtome ที่ความหนา 7 ไมโครเมตรจากนั้นนำไปติดบนแผ่นสไลด์

2.2.7 Hydration

นำเนื้อเยื่อที่ติดบนแผ่นสไลด์มาถ่าง parafin ด้วย xylene 2 ครั้ง ๆ ละ 5 นาที จากนั้นถ่ายลงใน n-butyl alcohol, 95%, 90%, 70% ethyl alcohol, นำไปประปาน้ำตามลำดับขั้นตอนละ 3 นาที

2.2.8 Staining

การย้อมด้วย Haematoxylin-Eosin

นำสไลด์จากขั้นตอน 2.2.7 มา yom ด้วยสี yom Haematoxylin 10-20 นาที differentiate (70% ethyl alcohol 100 ml.+ 2-3 หยด HCl (conc.)) 5-10 วินาที จากนั้นถ่างในน้ำประปา 5-10 นาที ถ่ายลงใน 70%, 90% ethyl alcohol ตามลำดับ ขั้นตอนละ 3 นาที จากนั้น yom ด้วยสี Eosin (ใน 95% ethyl alcohol) 3-5 นาที ถ่างสีด้วย 95% ethyl alcohol 15-30 วินาที จากนั้นถ่ายลง n-butyl alcohol, xylene₁, xylene₂ ตามลำดับ ขั้นตอนละ 5 นาที แล้ว mount ด้วย Cannada balsam

การขึ้นต้นด้วย Alizarin Red S

นำสไลด์จากขั้นตอน 2.2.7 มาขึ้นต้นด้วยสี Alizarin Red S (2% aqueous) 3 นาที ถ้างสีด้วย acetone 30 วินาที acetone+xylene อัตราส่วน 1:1 15 วินาที ถ่ายลงใน xylene₁ และ xylene₂ ตามลำดับ ขั้นตอนละ 5 นาที แล้ว mount ด้วย Cannada balsam

นำสไลด์ที่ได้มาตรวจสอบด้วยกล้องจุลทรรศน์แบบใช้แสงและบันทึกภาพ

2.3 การตรวจสอบการเปลี่ยนแปลงของถุงไนมูกและไนมูกด้วยกล้องจุลทรรศน์อิเลคตรอนแบบส่องกราด (Scanning Electron Microscope)

2.3.1 ตัดเนื้อยื่นบริเวณที่เป็นถุงไนมูกแข็งใน 3% paraformaldehyde ผสมกับ 2% glutaraldehyde ในสารละลายน้ำฟีฟอร์ 0.1 M sodium phosphate เป็นเวลา 15-20 ชั่วโมง

2.3.2 ถ้างด้วยสารละลายน้ำฟีฟอร์ 0.1 M sodium phosphate 3 ครั้งๆ ละ 10 นาที

2.3.3 แข็งตัวอย่างด้วย ethyl alcohol ที่ความเข้มข้น 35%, 50%, 70% และ 95% ตามลำดับ ขั้นตอนละ 10 นาที จากนั้นแข็งใน butanol 2 ครั้งๆ ละ 15 นาที

2.3.4 ทำตัวอย่างให้แห้ง ณ จุดวิกฤต โดยใช้เครื่องตัวอย่างให้แห้ง ณ จุดวิกฤต (critical point dryer) และใช้ butanol หรือ acetone เป็นสารละลายน้ำตัวกลาง (intermediate fluid) ระหว่างสารละลายน้ำ (dehydrant) กับสารละลายน้ำเปลี่ยน (transitional fluid) คือ การบอนไดออกไซด์เหลว ซึ่งเปลี่ยนจากสถานะของเหลวเป็นก๊าซ

2.3.5 นำตัวอย่างที่แห้งวางบนแท่นทองเหลืองนำไปไฟฟ้า (stubs) ติดด้วยการนำไฟฟ้า (electroconductive paint) เช่น การ silver หรือ carbon colloidal

2.3.6 อบผิwtัวอย่างด้วยทองโดยใช้เครื่องทำโลหะให้เป็นไอออน (ion sputter) เมื่อตัวอย่างสามารถเป็นลักษณะไฟฟ้า แล้วจึงนำเข้าศึกษาในกล้องจุลทรรศน์อิเลคตรอนแบบส่องกราดที่กำลังไฟฟ้า 10-20 กิโลโวลต์

2.3.7 บันทึกภาพ

หมายเหตุ สำหรับตัวอย่างที่เป็นของแข็ง (ไนมูก) จะเริ่มจากขั้นตอนที่ 2.3.4

3. วิเคราะห์ผลการทดลอง

3.1 ศึกษาการเปลี่ยนแปลงของชิ้นแม่นเทลที่ปลูกถ่ายเข้าไปที่ระยะเวลาต่าง ๆ จากเนื้อเยื่อที่ผ่านการทำ parafin section

3.2 ตรวจนับจำนวนถุงไนร์มูกที่เกิดขึ้นแล้วนำໄปวิเคราะห์เพื่อหาค่าทางสถิติโดยใช้ ANOVA เพื่อเปรียบเทียบหอยที่นำมาทดลองทั้งหมดทุกวิธีการทดลอง

3.3 วัดขนาดถุงไนร์มูกที่เกิดขึ้นในแต่ละเดือนแต่ละวิธีเชิงกราฟขนาดถุงไนร์มูกที่เกิดขึ้นจนได้ไนร์มูก

3.4 เปรียบเทียบระยะเวลาที่เกิดผลึกสารมูกในแต่ละวิธีด้วยภาพจากกล้องจุลทรรศน์อิเลคตรอนแบบส่องกราด (SEM)

3.5 เปรียบเทียบลักษณะไนร์มูกที่เกิดขึ้นในแต่ละวิธีการทดลอง



รูปที่ 3 ชนิดหอยที่ใช้ในการทดลอง

(บน) *H. (H.) bialatus* (ล่าง) *P. vondembuschianus ellipticus*



รูปที่ 4 กระซังที่ใช้ในการเลี้ยงหอยของการทดลอง



รูปที่ 5 แสดงบริเวณสถานที่เลี้ยงหอยของงานวิจัยการเลี้ยงไข่นกน้ำจีดภาควิชาชีววิทยา
คณะวิทยาศาสตร์ จุฬาลงกรณ์มหาวิทยาลัย ซึ่งตั้งอยู่ที่คลองลำตะคง อ. สีคิ้ว
จ. นครราชสีมา

บทที่ 4

ผลการทดลอง

การศึกษาการสร้างถุงไน์มูกและไน์มูกของหอยมูกน้ำจีด *Hytiopsis (Hytiopsis bialatus)* และ *Pseudodon vondembuschianus ellipticus* เมื่อปลูกถ่ายด้วยเนื้อเยื่อชิ้นแม่นเกลชิ่งมีขนาดและรูปร่างต่างๆ กัน พบว่าชิ้นแม่นเกลชิ่งที่ปลูกถ่ายมีการเปลี่ยนแปลงไปเป็นถุงไน์มูกและหลังจากนั้นจะเริ่มนิการสะสมสารมูกจนได้เป็นไน์มูกในที่สุด

ปั๊มน้ำเพื่อการเกิดถุงไน์มูกและปั๊มน้ำเพื่อการตาย

หลังจากที่ปลูกถ่ายชิ้นแม่นเกลชิ่งมีขนาดและรูปร่างต่างๆ กันเข้าไปประหัวงชิ้นเนื้อเยื่อแม่นเกลชิ่ง พบร่องน้ำจะมีการสร้างถุงไน์มูกขึ้นมาในบริเวณที่มีการปลูกถ่าย เนื้อเยื่อชิ้นแม่นเกลชิ่งจะสังเกตเห็นว่ามีลักษณะเป็นตุ่มเกิดขึ้น เมื่อนับจำนวนถุงไน์มูกที่เกิดขึ้นทุกวิธีการทดลองในหอยมูก *H.(H.) bialatus* โดยคิดเป็นปั๊มน้ำเพื่อการเกิดถุงไน์มูกที่ 3 ชิ้งพบว่าปั๊มน้ำเพื่อการตายพบร่องน้ำจะมีการสร้างถุงไน์มูกสูงที่สุด ได้แก่วิธีการปลูกถ่ายด้วยชิ้นแม่นเกลชิ่งรูปร่างวงกลม ขนาดรัศมี 4 มม. (C4) 81 % และต่ำที่สุดได้แก่วิธีการปลูกถ่ายด้วยชิ้นแม่นเกลชิ่งรูปร่างสามเหลี่ยมด้านเท่า ขนาด 2 มม. (T1) และวงกลมขนาดรัศมี 2 มม. (C2) ซึ่งเท่ากันคือ 71 % และปั๊มน้ำเพื่อการตายพบร่องน้ำจะมีการสร้างถุงไน์มูกที่ 3 ชิ้งที่สูงที่สุดได้แก่วิธีการปลูกถ่ายด้วยชิ้นแม่นเกลชิ่งรูปร่างสามเหลี่ยมด้านเท่าขนาด 2 มม. (T1) มีปั๊มน้ำเพื่อการตายต่ำสุด 6 %

- เมื่อ T1 : ชิ้นแม่นเกลชิ่งรูปร่างสามเหลี่ยมด้านเท่าขนาด 2 มม.
- T2 : ชิ้นแม่นเกลชิ่งรูปร่างสามเหลี่ยมด้านเท่าขนาด 4 มม.
- T3 : ชิ้นแม่นเกลชิ่งรูปร่างสามเหลี่ยมด้านเท่าขนาด 6 มม.
- T4 : ชิ้นแม่นเกลชิ่งรูปร่างสามเหลี่ยมด้านเท่าขนาด 8 มม.
- C1 : ชิ้นแม่นเกลชิ่งรูปร่างวงกลมขนาดรัศมี 1 มม.
- C2 : ชิ้นแม่นเกลชิ่งรูปร่างวงกลมขนาดรัศมี 2 มม.

C3 : ชิ้นแม่นเทิลรูปร่างวงกลมขนาดรัศมี 3 มม.

C4 : ชิ้นแม่นเทิลรูปร่างวงกลมขนาดรัศมี 4 มม.

S1 : ชิ้นแม่นเทิลรูปร่างสี่เหลี่ยมจตุรัสขนาด 2 มม.

S2 : ชิ้นแม่นเทิลรูปร่างสี่เหลี่ยมจตุรัสขนาด 4 มม.

S3 : ชิ้นแม่นเทิลรูปร่างสี่เหลี่ยมจตุรัสขนาด 6 มม.

S4 : ชิ้นแม่นเทิลรูปร่างสี่เหลี่ยมจตุรัสขนาด 8 มม.

H : *H.(H.)bialatus*

P : *P.vondembuschianus ellipticus*

PW : นำหานักของไข่むก

PSW : นำหานักของถุงไข่むก

ตารางที่ 3 แสดงเปอร์เซนต์การเกิดถุงไข่むกและเปอร์เซนต์การตายในหอยむก *H.(H.)*

biaalatus

รูปร่างและขนาด เปลือร์เซนต์	สามเหลี่ยมด้านเท่า				วงกลม (รัศมี)				สี่เหลี่ยมจตุรัส			
	T1	T2.	T3	T4	C1	C2	C3	C4	S1	S2	S3	S4.
การเกิด	71	74	76	78	74	71	77	81	72	76	74	78
การตาย	6	4	8	9	7	7	10	11	9	12	14	15

เปอร์เซนต์การเกิดถุงไข่むกในหอยむก *P.vondembuschianus ellipticus* จากทุกวิธีการทดลองได้ผลดังตารางที่ 4 ซึ่งพบว่าเปอร์เซนต์การเกิดถุงไข่むกสูงสุดได้แก่การปลูกถ่ายด้วยเนื้อเยื่อชิ้นแม่นเทิล C4 และ S4 ซึ่งเท่ากับ 86 % และเปอร์เซนต์การเกิดถุงไข่むกต่ำสุดได้แก่ วิธีการปลูกถ่ายด้วยเนื้อเยื่อชิ้นแม่นเทิล C1 ซึ่งเท่ากับ 74 % สำหรับเปอร์เซนต์การตายพบว่า การปลูกถ่ายด้วยชิ้นแม่นเทิล S4 มีเปอร์เซนต์การตายสูงสุด 17 % และที่ปลูกถ่ายด้วยชิ้นแม่นเทิล T2 มีเปอร์เซนต์การตายต่ำสุด 7 %

ตารางที่ 4 แสดงเปอร์เซนต์การเกิดถุงไข่�ุกและเปอร์เซนต์การตายในหอยมุก

P. vondembuschianus ellipticus

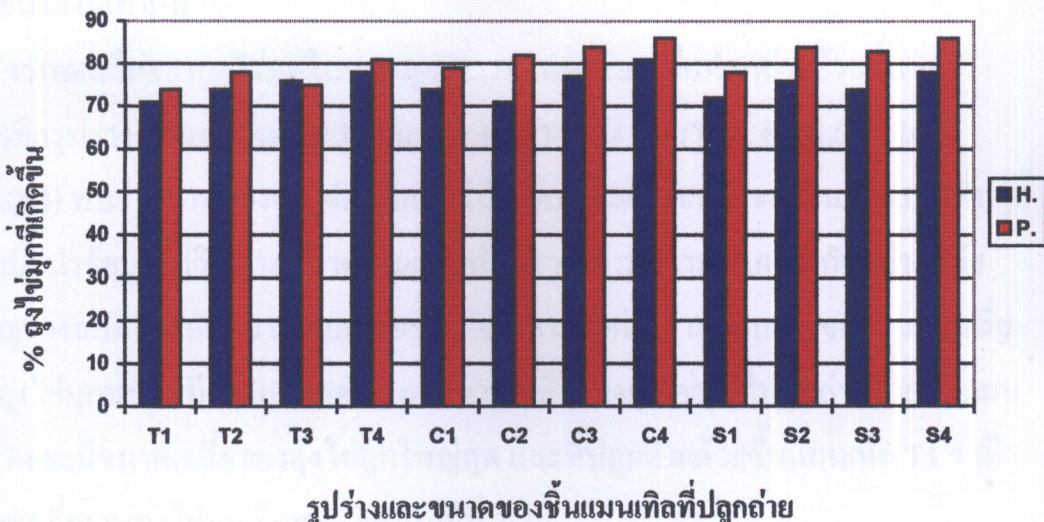
รุปร่างและ ขนาด เปอร์เซนต์	สามเหลี่ยมค้านเท่า				วงกลม (รัศมี)				สี่เหลี่ยมจตุรัส			
	T1	T2.	T3	T4	C1	C2	C3	C4	S1	S2	S3	S4
การติด	74	78	75	81	79	82	84	86	78	84	83	86
การตาย	8	7	10	11	10	9	12	14	10	12	15	17

เมื่อนำเข้าข้อมูลการเกิดถุงไข่�ุกของหอยมุกทั้งสองชนิดมาวิเคราะห์ค่าความแปรปรวน พบว่ามีความแตกต่างอย่างมีนัยสำคัญทางสถิติที่ระดับความเชื่อมั่น 95 % โดยในหอยมุก *P.vondembuschianus ellipticus* จะมีเปอร์เซนต์การเกิดถุงไข่�ุกสูงกว่าในหอยมุก *H.(H.) bialatus* และเมื่อวิเคราะห์ค่าความแปรปรวนของการตายของหอยมุกทั้งสองชนิดพบว่าไม่มีความแตกต่างอย่างมีนัยสำคัญทางสถิติที่ระดับความเชื่อมั่น 95 %

เมื่อนำเข้าข้อมูลเปอร์เซนต์การเกิดถุงไข่�ุกและเปอร์เซนต์การตายของหอยมุก *H. (H.) bialatus* และ *P.vondembuschianus ellipticus* มาเปรียบเทียบคั่งแสดงในแผนภูมิที่ 1 และแผนภูมิที่ 2 ตามลำดับ

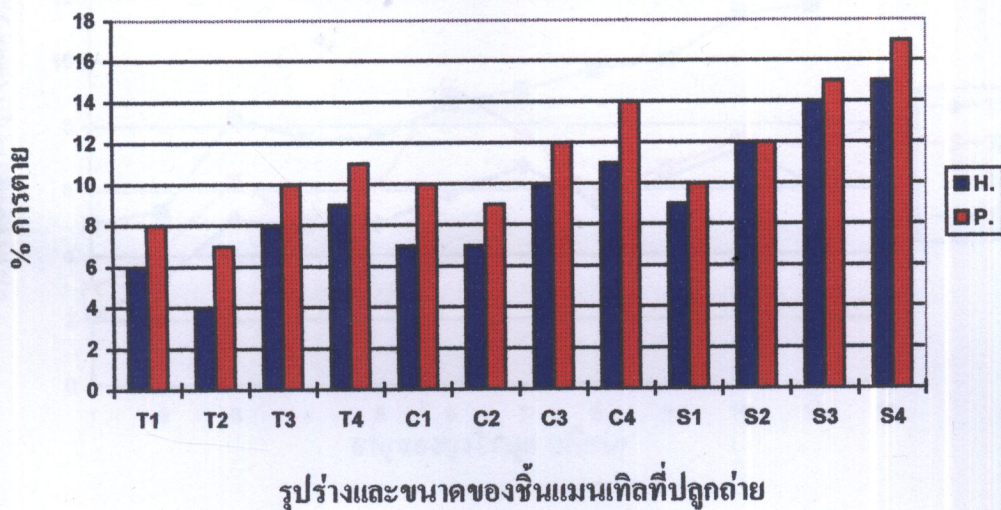
แผนภูมิที่ 1 เปรียบเทียบปอร์เซนต์การเกิดถุงไจ่นุกในหอยมุก *H.(H.) bialatus (H)*

และ *P.vondembuschianus ellipticus (P)* เมื่อปลูกค่ายด้วยชิ้นแม่นเทล
รูปร่างและขนาดต่างๆ



แผนภูมิที่ 2 เปรียบเทียบปอร์เซนต์การตายในหอยมุก *H.(H.) bialatus (H)*

และ *P.vondembuschianus ellipticus (P)* เมื่อปลูกค่ายด้วยชิ้นแม่นเทล
รูปร่างและขนาดต่างๆ

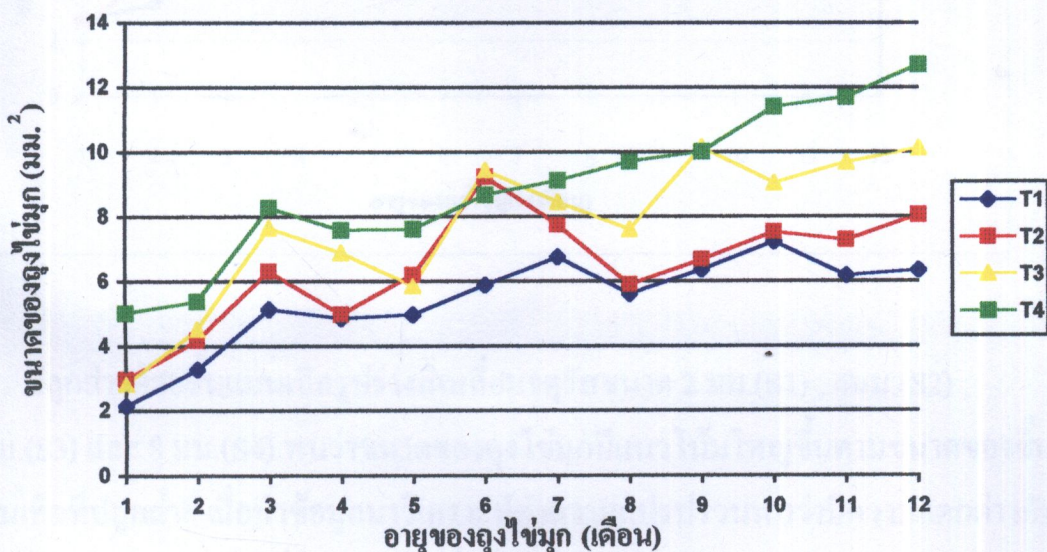


ขนาดของถุงไข่เม่น

หลังจากปลูกถ่ายด้วยชิ้นแม่นเทลที่มีรูปร่างและขนาดแตกต่างกัน ในหอยมุกทั้งสองชนิดพบว่า มีการสร้างถุงไข่เม่นขึ้นมาโดยขนาดของถุงไข่เม่นที่ได้ในแต่ละวิธีการทดลอง จะมีขนาดไม่เท่ากัน

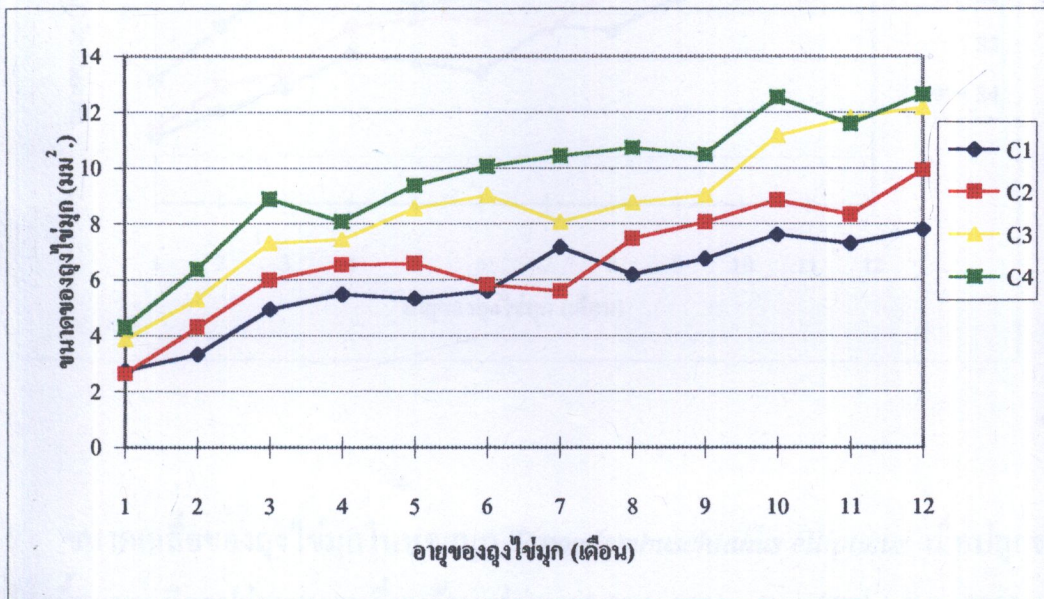
ขนาดเฉลี่ยของถุงไข่เม่นในหอยมุก *H.(H.) bialatus* เมื่อปลูกถ่ายด้วยชิ้นแม่นเทลรูปร่างสามเหลี่ยมด้านเท่าขนาด 2 มม.(T1) , 4 มม.(T2) , 6 มม.(T3) และ 8 มม.(T4) พบว่าขนาดของถุงไข่เม่นมีแนวโน้มใหญ่ขึ้นตามขนาดของชิ้นแม่นเทลที่ปลูกถ่าย เมื่อนำเข้าอนุบาลวิเคราะห์ค่าความแปรปรวน พบว่ามีความแตกต่างกันอย่างมีนัยสำคัญทางสถิติที่ระดับความเชื่อมั่น 95 % จากการหาค่าความแตกต่างของขนาดเฉลี่ยของถุงไข่เม่นพบว่า มีความแตกต่างโดยขนาดเฉลี่ยของถุงไข่เม่นที่ปลูกถ่ายด้วยชิ้นแม่นเทล T4 จะมีขนาดเฉลี่ยของถุงไข่เม่นใหญ่สุด และที่ปลูกถ่ายด้วยชิ้นแม่นเทล T1 จะมีขนาดเฉลี่ยของถุงไข่เม่นเล็กสุดดังแผนภูมิที่ 3

แผนภูมิที่ 3 แสดงขนาดเฉลี่ยของถุงไข่เม่นในหอยมุก *H.(H.) bialatus* ที่ปลูกถ่ายด้วยชิ้นแม่นเทลรูปร่างสามเหลี่ยมด้านเท่าขนาดต่าง ๆ โดยมีค่า $n = 10$



ปลูกถ่ายด้วยชิ้นแม่นเทิลรูปร่างวงกลมขนาด 1 มม.(C1) , 2 มม.(C2) , 3 มม.(C3) และ 4 มม.(C4) พบร่วมขนาดของถุงไนโตรเจนที่มีอยู่ขึ้นเมื่ออายุของถุงไนโตรเจนมากขึ้น เมื่อนำเข้ามูลมวลวิเคราะห์ค่าความแปรปรวนพบว่ามีความแตกต่างกันอย่างมีนัยสำคัญทางสถิติที่ระดับความเชื่อมั่น 95 % จากการหาค่าความแตกต่างของขนาดเฉลี่ยของถุงไนโตรเจนพบว่า มีความแตกต่างโดยขนาดเฉลี่ยของถุงไนโตรเจนที่ปลูกถ่ายด้วยชิ้นแม่นเทิล C4 จะมีขนาดใหญ่สุด และที่ปลูกถ่ายด้วยชิ้นแม่นเทิล C1 จะมีขนาดเฉลี่ยของถุงไนโตรเจนเล็กสุด ดังแผนภูมิที่ 4

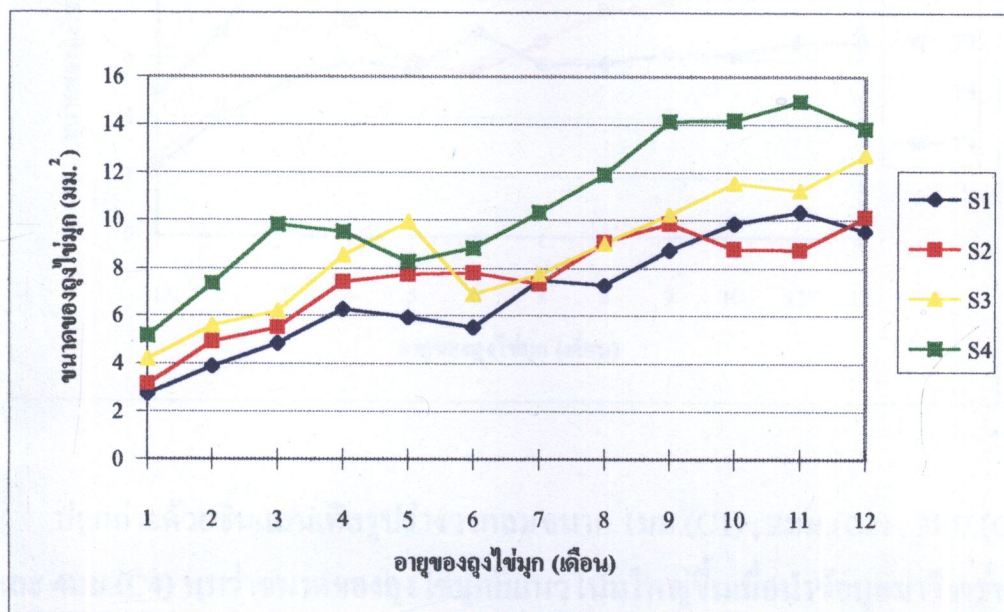
แผนภูมิที่ 4 แสดงขนาดเฉลี่ยของถุงไนโตรในหอยมูก *H.(H.) bialatus* ที่ปลูกถ่ายด้วยชิ้นแม่นเทิลรูปร่างวงกลมขนาดต่างๆ โดยมีค่า $n = 10$



ปลูกถ่ายด้วยชิ้นแม่นเทิลรูปร่างสี่เหลี่ยมจตุรัสขนาด 2 มม.(S1) , 4 มม.(S2) , 6 มม.(S3) และ 8 มม.(S4) พบร่วมขนาดของถุงไนโตรเจนที่มีแนวโน้มใหญ่ขึ้นตามขนาดของชิ้นแม่นเทิลที่ปลูกถ่าย เมื่อนำเข้ามูลมวลวิเคราะห์ค่าความแปรปรวนพบว่ามีความแตกต่างกันอย่างมีนัยสำคัญทางสถิติที่ระดับความเชื่อมั่น 95 % จากการหาค่าความแตกต่างของ

ขนาดเฉลี่ยของถุงไก่ มุกพบว่ามีความแตกต่าง โดยขนาดเฉลี่ยของถุงไก่ มุกที่ปลูกถ่ายด้วยชิ้นแม่นเทล S4 จะมีขนาดเฉลี่ยใหญ่สุดและที่ปลูกถ่ายด้วยชิ้นแม่นเทล S1 จะมีขนาดเฉลี่ยของถุงไก่ มุกเล็กสุดดังแผนภูมิที่ 5

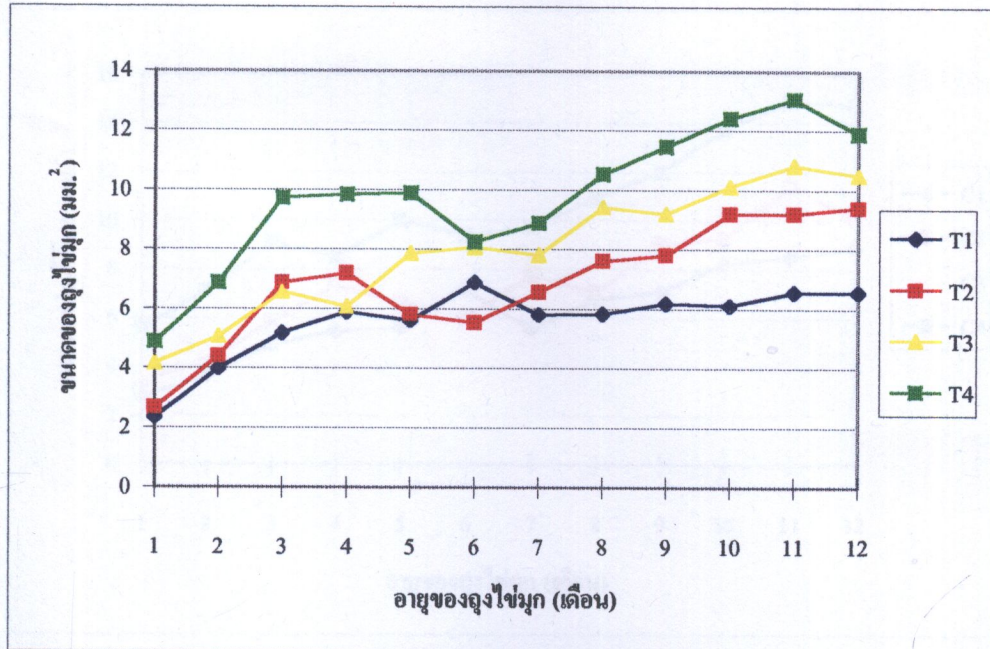
แผนภูมิที่ 5 แสดงขนาดเฉลี่ยของถุงไก่ มุกในหอยมุก *H.(H.) bialatus* ที่ปลูกถ่ายด้วยชิ้นแม่นเทลรูปปร่างสามเหลี่ยมมาตรฐานต่างๆ โดยมีค่า $n = 10$



ขนาดเฉลี่ยของถุงไก่ มุกในหอยมุก *P.vondembuschianus ellipticus* เมื่อปลูกถ่ายด้วยชิ้นแม่นเทลรูปปร่างสามเหลี่ยมด้านเท่าขนาด 2 มม. (T1), 4 มม. (T2), 6 มม. (T3) และ 8 มม. (T4) พบว่าขนาดของถุงไก่ มุกจะมีขนาดใหญ่ขึ้น เมื่อนำเข้ามูลม้วนเคราะห์ค่าความแปรปรวนพบว่ามีความแตกต่างกันอย่างมีนัยสำคัญทางสถิติที่ระดับความเชื่อมั่น 95 % จากการหาค่าความแตกต่างของขนาดเฉลี่ยของถุงไก่ มุกพบว่ามีความแตกต่างโดยขนาดเฉลี่ยของถุงไก่ มุกที่ปลูกถ่ายด้วยชิ้นแม่นเทล T4 จะมีขนาดเฉลี่ยใหญ่สุดและที่ปลูกถ่ายด้วยชิ้นแม่นเทล T1 จะมีขนาดเฉลี่ยของถุงไก่ มุกเล็กสุด ดังแผนภูมิที่ 6

แผนภูมิที่ 6 แสดงขนาดเฉลี่ยของถุงไข่นุกในหอยนุก *P.vondembuschianus ellipticus*
ที่ปลูกถ่ายด้วยชิ้นแม่นเทิร์ปร่างสามเหลี่ยมด้านเท่าขนาดต่างๆ โดยมีค่า

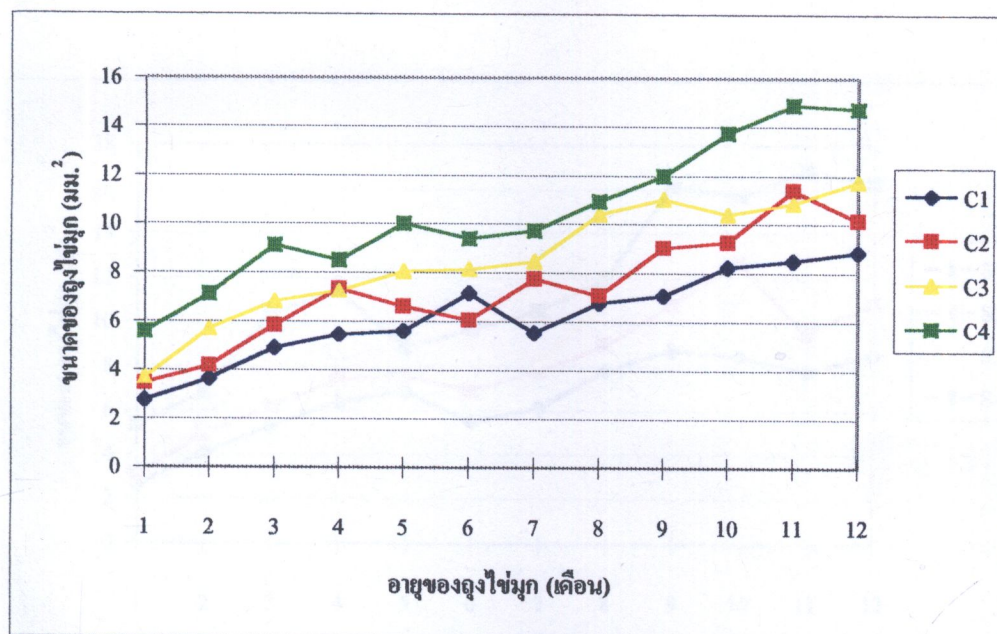
n = 10



ปลูกถ่ายด้วยชิ้นแม่นเทิร์ปร่างวงกลมขนาด 1 มม.(C1), 2 มม.(C2), 3 มม.(C3)

และ 4 มม.(C4) พบร่วมกันว่าขนาดของถุงไข่นุกมีแนวโน้มใหญ่ขึ้นเมื่อนำมาไว้เคราะห์ค่าความแปรปรวนพบว่ามีความแตกต่างกันอย่างมีนัยสำคัญทางสถิติที่ระดับความเชื่อมั่น 95% จากการหาค่าความแตกต่างของขนาดเฉลี่ยของถุงไข่นุกพบว่ามีความแตกต่างโดยขนาดเฉลี่ยของถุงไข่นุกที่ปลูกถ่ายด้วยชิ้นแม่นเทิร์ป C4 จะมีขนาดเฉลี่ยของถุงไข่นุกใหญ่สุดและที่ปลูกถ่ายด้วยชิ้นแม่นเทิร์ป C1 จะมีขนาดเฉลี่ยของถุงไข่นุกเล็กสุด ดังแผนภูมิที่

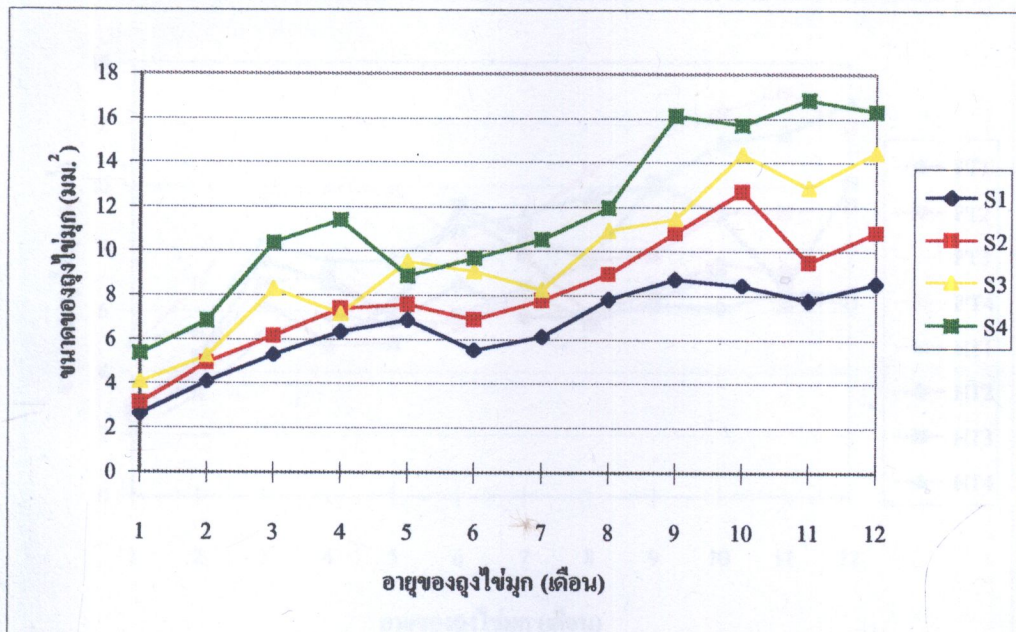
แผนภูมิที่ 7 แสดงขนาดเฉลี่ยของถุงไข่นมูกในหอยมูก *P.vondembuschianus ellipticus* เมื่อปีกถ่ายด้วยชิ้นแม่นเทิร์รูปร่างวงกลมขนาดต่างๆ โดยมีค่า $n = 10$



ปีกถ่ายด้วยชิ้นแม่นเทิร์รูปร่างสี่เหลี่ยมจตุรัสขนาด 2 มม.(S1), 4 มม.(S2), 6 มม.(S3) และ 8 มม.(S4) พนวานขนาดของถุงไข่นมูกมีแนวโน้มใหญ่ขึ้นเมื่ออายุของถุงไข่นมูกมากขึ้น เมื่อนำเข้ามูลน้ำวิเคราะห์ค่าความแปรปรวนพบว่ามีความแตกต่างกันอย่างมีนัยสำคัญทางสถิติที่ระดับความเชื่อมั่น 95 % จากการหาค่าความแตกต่างของขนาดเฉลี่ยของถุงไข่นมูกพบว่ามีความแตกต่างโดยขนาดเฉลี่ยของถุงไข่นมูกที่ปีกถ่ายด้วยชิ้นแม่นเทิร์รูป S4 จะมีขนาดใหญ่ที่สุด และที่ปีกถ่ายด้วยชิ้นแม่นเทิร์รูป S1 จะมีขนาดเฉลี่ยของถุงไข่นมูกเล็กสุด ดังแผนภูมิที่ 8

แผนภูมิที่ 8 แสดงขนาดเฉลี่ยของถุงไก่บุกในหอยมูก *P.vondembuschianus ellipticus*
เมื่อปัลอกถ่ายด้วยชิ้นแม่นเทิร์ป์ร่างสีเหลี่ยมจตุรัสขนาดต่างๆ โดยมีค่า

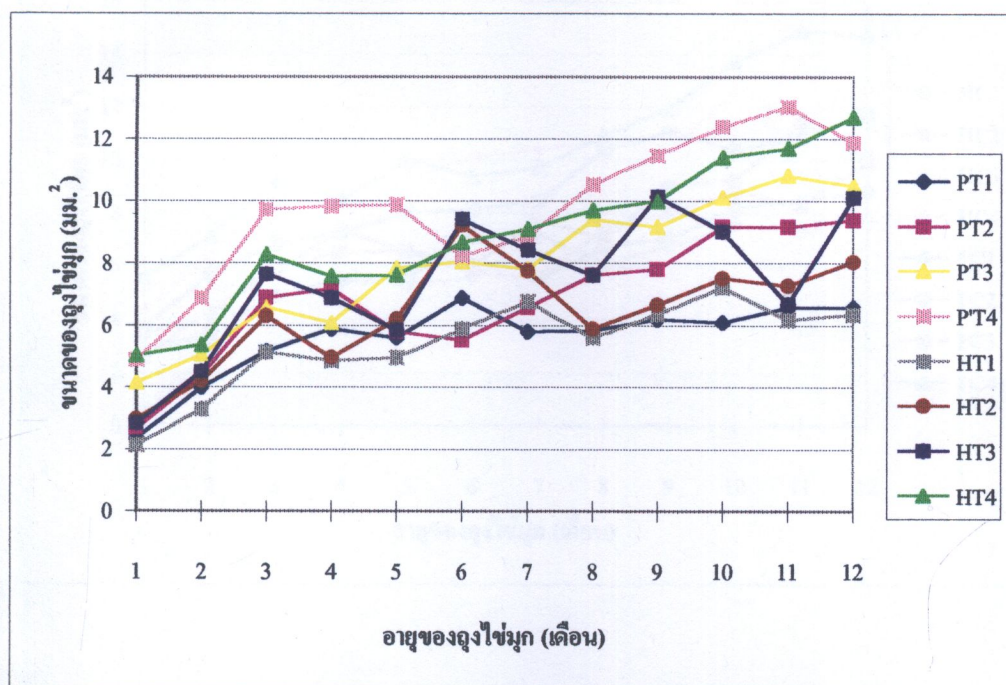
n = 10



เปรียบเทียบขนาดเฉลี่ยของถุงไก่บุกในหอยมุกน้ำจืดทั้งสองชนิดเมื่อปัลอกถ่ายด้วยชิ้นแม่นเทิร์ป์ร่างสามเหลี่ยมด้านเท่าขนาด 2 มม. (T1), 4 มม. (T2), 6 มม. (T3) และ 8 มม. (T4) โดยนำข้อมูลมาวิเคราะห์ค่าความแปรปรวนพบว่าไม่มีความแตกต่างกันอย่างมีนัยสำคัญทางสถิติที่ระดับความเชื่อมั่น 95 % โดยขนาดเฉลี่ยของถุงไก่บุกในหอยมุก *H. (H.) bialatus* จะมีขนาดเฉลี่ยใกล้เคียงกับขนาดเฉลี่ยของถุงไก่บุกในหอยมุก *P.vondembuschianus ellipticus* ดังแผนภูมิที่ 9

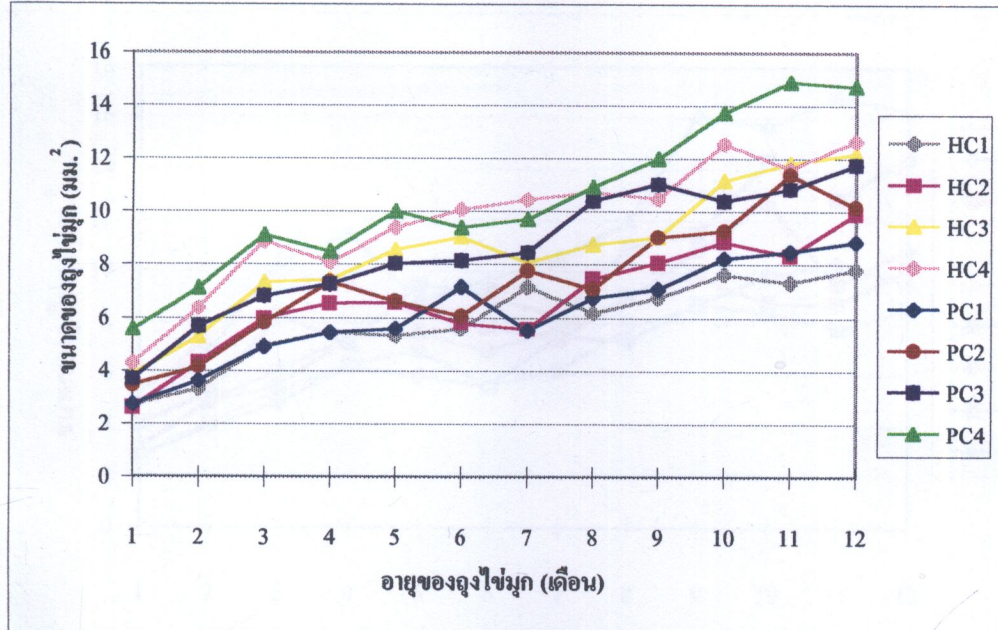
แผนภูมิที่ 9 เปรียบเทียบขนาดเฉลี่ยของถุงไน์มุก *H.(H.) bialatus* (H) กับ *P. vondembuschianus ellipticus* (P) เมื่อปีกถ่ายด้วยชินแมนเทิลรูปร่าง

สามเหลี่ยมค้านเท่าขนาดต่างๆ โดยมีค่า $n = 10$



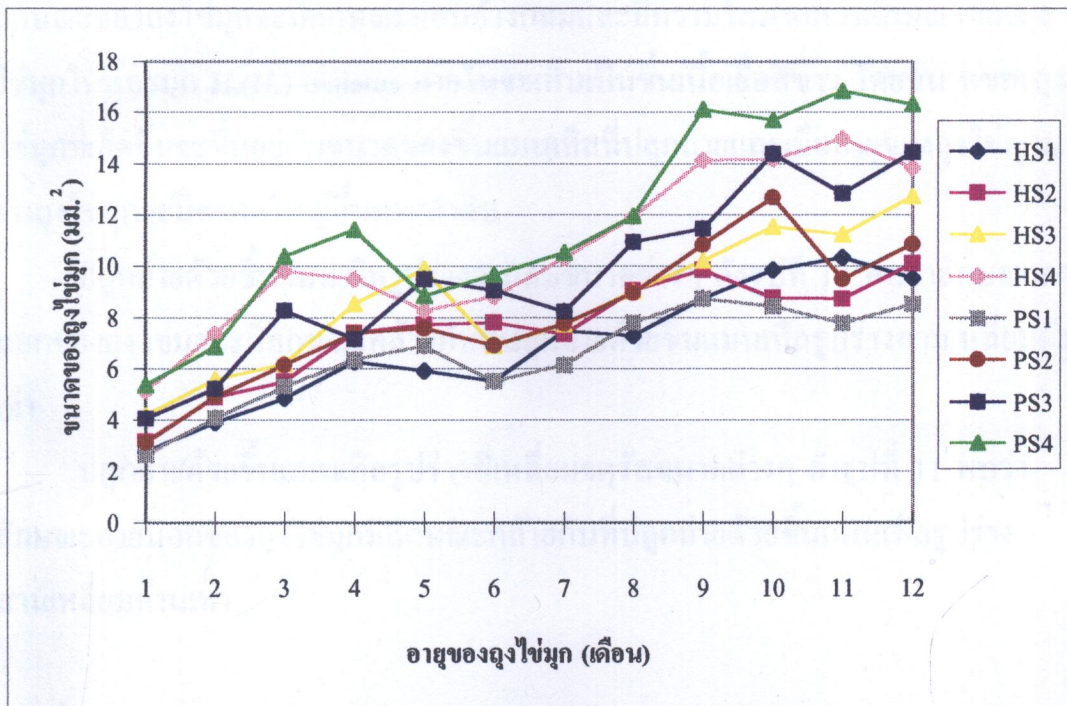
เปรียบเทียบขนาดเฉลี่ยของถุงไน์มุกในหอยมุกทั้งสองชนิดเมื่อปีกถ่ายด้วยชินแมนเทิลรูปร่าง
และทิ่มลงในหอยมุก 1 มม. (C1), 2 มม. (C2), 3 มม. (C3) และ 4 มม. (C4) เมื่อนำ
ข้อมูลมาวิเคราะห์ค่าความแปรปรวนพบว่าไม่มีความแตกต่างกันอย่างมีนัยสำคัญทาง
สถิติที่ระดับความเชื่อมั่น 95 % โดยขนาดเฉลี่ยของถุงไน์มุกในหอยมุก *H.(H.) bialatus*
จะมีขนาดเฉลี่ยของถุงไน์มุกใกล้เคียงกับขนาดเฉลี่ยของถุงไน์มุกในหอยมุก
P.vondembuschianus ellipticus ดังแผนภูมิที่ 10

แผนภูมิที่ 10 เปรียบเทียบขนาดเฉลี่ยของถุงไข่มูก *H.(H.) bialatus* (H) กับ *P. vondembuschianus ellipticus* (P) เมื่อปีกถ่ายด้วยชิ้นแม่นเทิร์รูปร่าง
วงกลมขนาดต่างๆ โดยมีค่า n = 10



เปรียบเทียบขนาดเฉลี่ยของถุงไข่มูกในหอยมูกน้ำจีดทั้งสองชนิดเมื่อปีกถ่ายด้วยชิ้นแม่นเทิร์รูปร่างสี่เหลี่ยมจตุรัสขนาด 2 มม. (S1), 4 มม. (S2), 6 มม. (S3) และ 8 มม. (S4) เมื่อนำข้อมูลมาวิเคราะห์ค่าความแปรปรวนพบว่าไม่มีความแตกต่างกันอย่างมีนัยสำคัญทางสถิติที่ระดับความเชื่อมั่น 95 % โดยขนาดเฉลี่ยของถุงไข่มูกในหอยมูก *H.(H.) bialatus* จะมีขนาดเฉลี่ยใกล้เคียงกับขนาดเฉลี่ยของถุงไข่มูกในหอยมูก *P. vondembuschianus ellipticus* ดังแผนภูมิที่ 11

แผนภูมิที่ 11 เปรียบเทียบขนาดเฉลี่ยของถุงไข่นุก *H.(H.) bialatus* (H) กับ *P. vondembuschianus ellipticus* (P) เมื่อปลูกถ่ายด้วยชิ้นแม่นเทิลรูปร่างสีเหลืองจตุรัษขนาดต่างๆ โดยมีค่า $n = 10$



ลักษณะภายนอกของถุงไข่นุกของ *H.(H.) bialatus*

เมื่อปลูกถ่ายด้วยชิ้นแม่นเทิลรูปร่างสามเหลี่ยมด้านเท่าขนาดต่างๆ ดังรูปที่ 6 พบร่วมจากปลูกถ่ายเนื้อเยื่อแม่นเทิลเข้าไป 15 วัน จะเห็นว่าเป็นตุ่มเกิดขึ้นบริเวณที่ปลูกถ่ายลักษณะของถุงไข่นุกมีลักษณะค่อนข้างกลมภายในจะเห็นเป็นชั้นเนื้อเยื่อสีขาว โดยขนาดของถุงไข่นุกที่เกิดขึ้นจะขึ้นอยู่กับขนาดของชิ้นแม่นเทิลที่ปลูกถ่ายและเมื่ออายุของถุงไข่นุกมากขึ้นถุงไข่นุกจะมีขนาดใหญ่ขึ้นตามลำดับ

ปลูกถ่ายด้วยชิ้นแม่นเทิลรูปร่างวงกลมขนาดต่างๆ ดังรูปที่ 7 พบร่วมลักษณะภายนอกของถุงไข่นุกมีลักษณะคล้ายกับที่ปลูกถ่ายด้วยชิ้นแม่นเทิลรูปร่างสามเหลี่ยมด้านเท่า

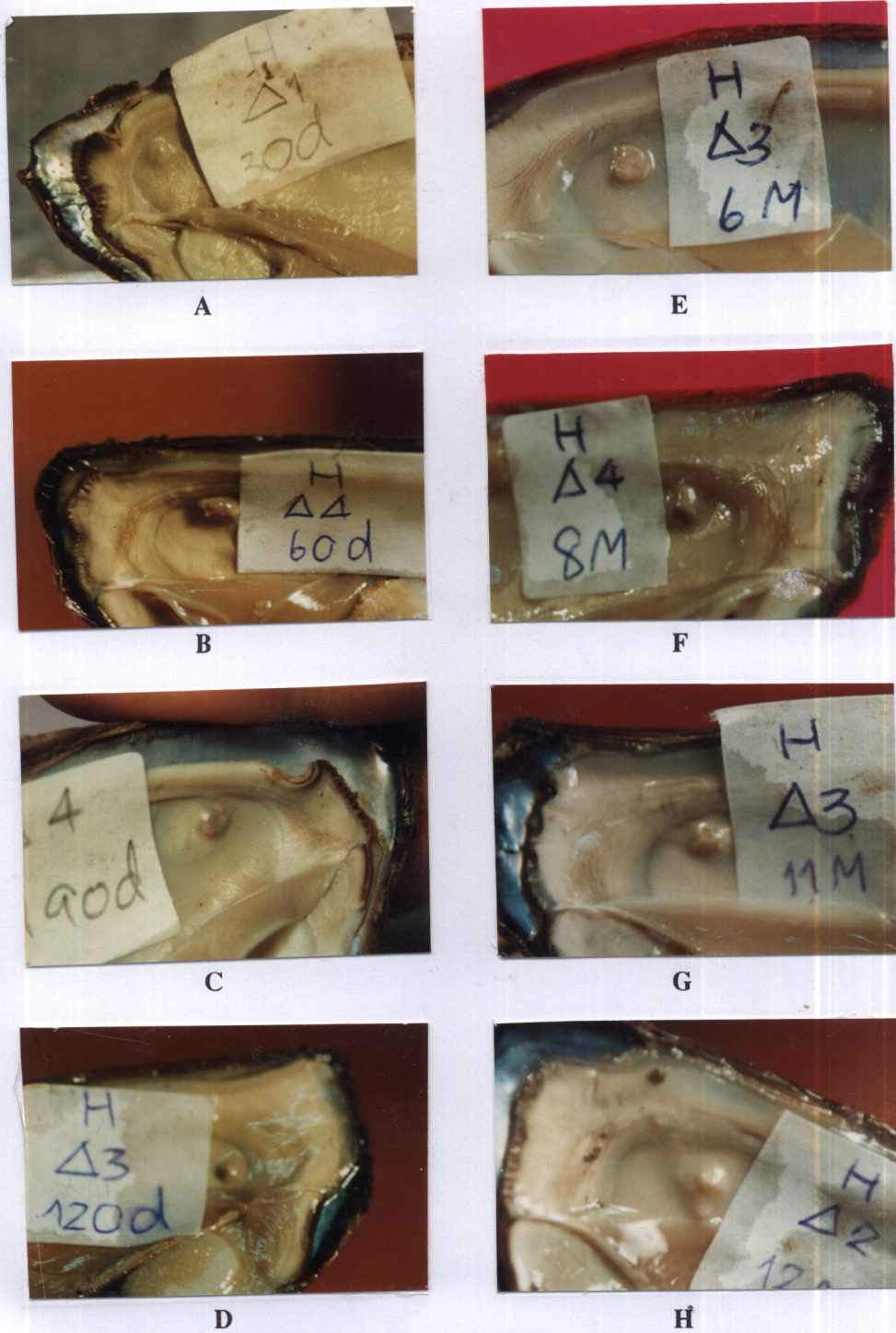
ปลูกถ่ายด้วยชิ้นแม่นเทิลรูปร่างสี่เหลี่ยมจตุรัษขนาดต่างๆ ดังรูปที่ 8 พบร่วมลักษณะภายนอกของถุงไข่นุกมีลักษณะคล้ายกับที่ปลูกถ่ายด้วยชิ้นแม่นเทิลรูปร่างสามเหลี่ยมด้านเท่า

ลักษณะภายนอกของถุงไข่มนุกของหอยมนุก *P.vondembuschianus ellipticus*

เมื่อปูลูกถ่ายด้วยชิ้นแม่นเทิดรูปร่างสามเหลี่ยมด้านเท่าขนาดต่างๆ ดังรูปที่ 9 พบว่าหลังจากปูลูกถ่ายเนื้อเยื่อชิ้นแม่นเกิดเข้าไปจะเห็นเป็นตุ่มเกิดขึ้นบริเวณที่ปูลูกถ่ายลักษณะของถุงไข่มนุกจะมีลักษณะค่อนข้างกลมและมีความใสมากกว่าลักษณะของถุงไข่มนุกในหอยมนุก *H.(H.) bialatus* ภายในจะเห็นเป็นชิ้นเนื้อเยื่อสีขาว โดยขนาดของถุงไข่มนุกที่เกิดขึ้นจะขึ้นอยู่กับขนาดของชิ้นแม่นเกิดที่ปูลูกถ่ายและเมื่ออายุของถุงไข่มนุกมากขึ้นถุงไข่มนุกจะมีขนาดใหญ่ขึ้นตามลำดับ

ปูลูกถ่ายด้วยชิ้นแม่นเทิดรูปร่างวงกลมน้ำขนาดต่างๆ ดังรูปที่ 10 พบว่าลักษณะภายนอกของถุงไข่มนุกจะมีลักษณะคล้ายกับที่ปูลูกถ่ายด้วยชิ้นแม่นเทิดรูปร่างสามเหลี่ยมด้านเท่า

ปูลูกถ่ายด้วยชิ้นแม่นเทิดรูปร่างสี่เหลี่ยมจตุรัสขนาดต่างๆ ดังรูปที่ 11 พบว่าลักษณะภายนอกของถุงไข่มนุกมีลักษณะคล้ายกับที่ปูลูกถ่ายด้วยชิ้นแม่นเทิดรูปร่างสามเหลี่ยมด้านเท่า



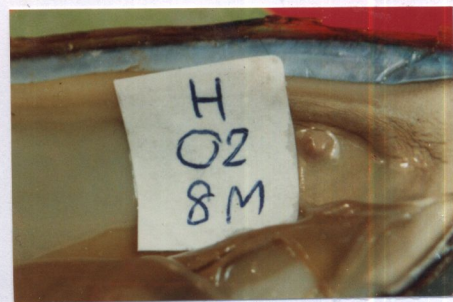
รูปที่ 6 แสดงลักษณะภายนอกของถุงไข่เม่นในหอยมุก *H. (H.) bivalvatus* เมื่อปลูกถ่ายด้วย
ขี้นแม่นเทิร์รูปร่างสามเหลี่ยมด้านเท่าขนาดต่างๆ

A = 1 เดือน (T1) B = 2 เดือน (T4) C = 3 เดือน (T4) D = 4 เดือน (T3)

E = 6 เดือน (T3) F = 8 เดือน (T4) G = 11 เดือน (T3) H = 12 เดือน (T2)



A



E



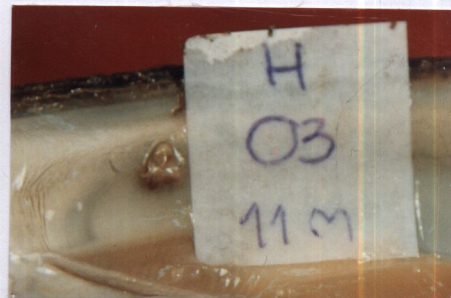
B



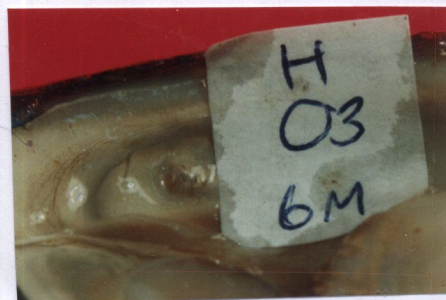
F



C



G



D

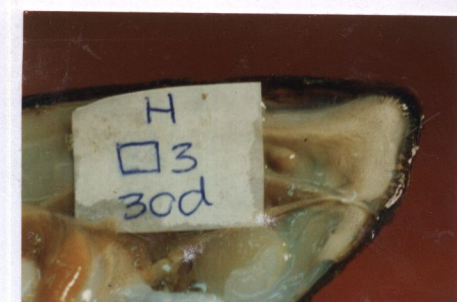


H

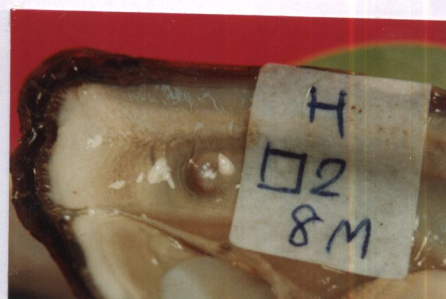
รูปที่ 7 แสดงลักษณะภายนอกของถุงไข่เม่นในหอยมุก *H.(H.) bivalvatus* เมื่อปลูกถ่ายด้วยชิ้นแม่นเทิร์บูร์งวงกลมขนาดต่างๆ

A = 1 เดือน (C2) B = 2 เดือน (C1) C = 3 เดือน (C4) D = 6 เดือน (C3)

E = 8 เดือน (C2) F = 10 เดือน (C3) G = 11 เดือน (C3) H = 12 เดือน (C2)



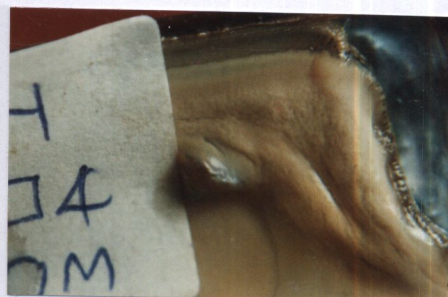
A



E



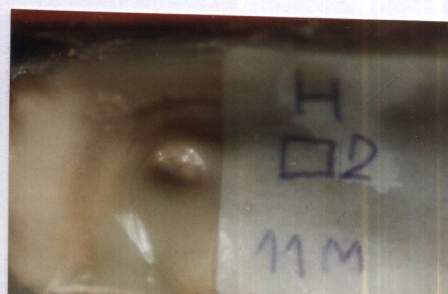
B



F



C



G



D



H

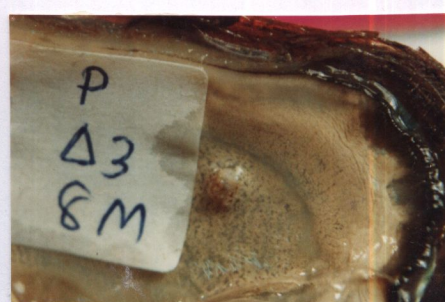
รูปที่ 8 แสดงลักษณะภายนอกของถุงไข่มุกในหอยมุก *H.(H.) bivalvatus* เมื่อปลูกถ่ายด้วยชิ้นแม่นเทลูรูปร่างสีเหลืองจุดสีดำต่างๆ

A = 1 เดือน (S3) B = 2 เดือน (S1) C = 4 เดือน (S4) D = 6 เดือน (S4)

E = 8 เดือน (S2) F = 10 เดือน (S4) G = 11 เดือน (S2) H = 12 เดือน (S4)



A



E



B



F



C



G



D



H

รูปที่ 9 แสดงลักษณะภายนอกของถุงไข่มุกในหอยมุก *P.vondembuschianus ellipticus*
เมื่อปักกล้ำด้วยชิ้นแม่นทิลรูปร่างสามเหลี่ยมด้านเท่าขนาดต่างๆ

A = 1 เดือน (T2) B = 3 เดือน (T4) C = 4 เดือน (T4) D = 6 เดือน (T1)

E = 8 เดือน (T3) F = 10 เดือน (T2) G = 11 เดือน (T2) H = 12 เดือน(T3)



A



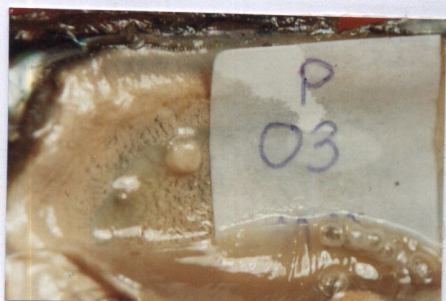
E



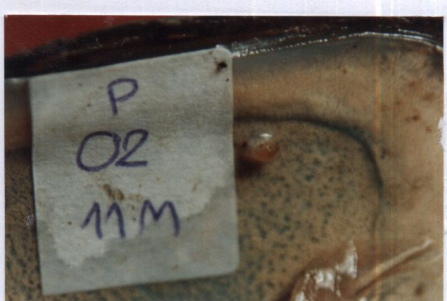
B



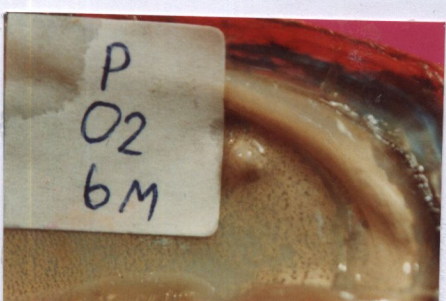
F



C



G



D



H

รูปที่ 10 แสดงลักษณะภายนอกของถุงไข่มุกในหอยมุก *P.vondembuschianus ellipticus*
เมื่อปลูกถ่ายด้วยชิ้นแม่นเกลือปร่างวงกลมขนาดต่างๆ

A = 1 เดือน (C3) B = 3 เดือน (C4) C = 4 เดือน (C3) D = 6 เดือน (C2)

E = 8 เดือน (C1) F = 10 เดือน (C2) G = 11 เดือน (C2) H = 12 เดือน(C2)



รูปที่ 11 แสดงลักษณะภายนอกของงุ้งไข่นมูก *P.vondembuschianus*

ellipticus เมื่อปลูกถ่ายด้วยชิ้นแม่นแทลรูปร่างสีเหลืองจุดรัตนภาคต่างๆ

A = 1 เดือน (S1) B = 4 เดือน (S3) C = 5 เดือน (S3) D = 6 เดือน (S3)

E = 8 เดือน (S4) F = 10 เดือน (S4) G = 11 เดือน (S2) H = 12 เดือน (S3)

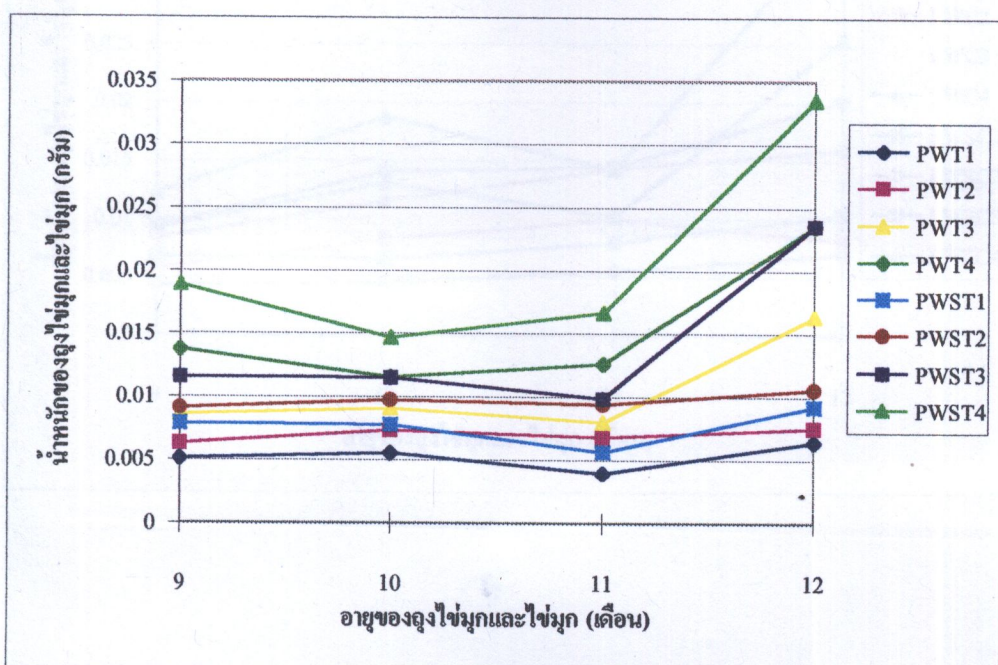
น้ำหนักของไข่เม่นและถุงไข่เม่น

น้ำหนักเฉลี่ยของไข่เม่นและถุงไข่เม่นในช่วง 4 เดือนสุดท้ายของการทดลอง คือ ตั้งแต่เดือนที่ 9 ถึงเดือนที่ 12 ในหอยมุกทั้ง 2 ชนิด พบว่า เมื่อปลูกถ่ายด้วยชิ้นแม่นเทิล รูปร่างสามเหลี่ยมด้านเท่าขนาด 2 มม. (T1), 4 มม. (T2), 6 มม. (T3) และ 8 มม. (T4) พบว่า น้ำหนักเฉลี่ยของไข่เม่นและถุงไข่เม่นมีน้ำหนักเพิ่มขึ้น เมื่อนำเข้ามูลมวลเคราะห์ค่าความแปรปรวนพบว่า มีความแตกต่างกันอย่างมีนัยสำคัญทางสถิติที่ระดับความเชื่อมั่น 95% จากการหาค่าความแตกต่างของน้ำหนักเฉลี่ยของไข่เม่นและถุงไข่เม่นพบว่า มีความแตกต่างโดยน้ำหนักเฉลี่ยของไข่เม่นและถุงไข่เม่นที่ปลูกถ่ายด้วยชิ้นแม่นเทิล T4 จะมีน้ำหนักเฉลี่ยมากสุดและที่ปลูกถ่ายด้วยชิ้นแม่นเทิล T1 จะมีน้ำหนักเฉลี่ยน้อยสุดดังแผนภูมิที่ 12

แผนภูมิที่ 12 แสดงน้ำหนักเฉลี่ยของไข่เม่นและถุงไข่เม่นในหอยมุก *H. (H.) bialatus* ที่

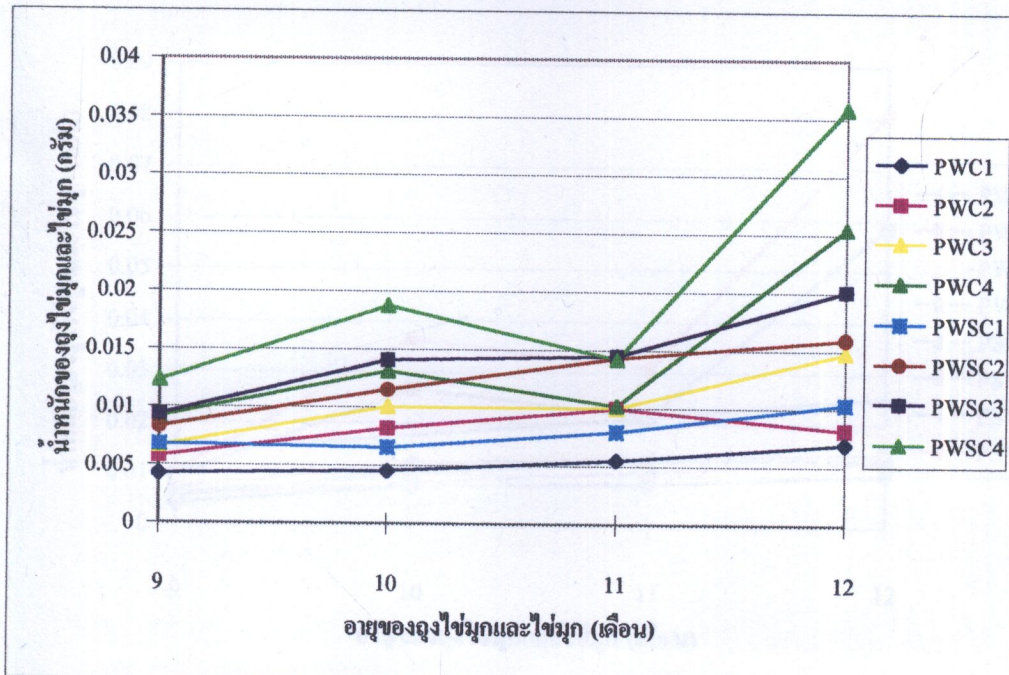
ปลูกถ่ายด้วยชิ้นแม่นเทิลรูปร่างสามเหลี่ยมด้านเท่าขนาดต่างๆ โดยมีค่า

$n = 5$ (PW= น้ำหนักของไข่เม่น, PSW= น้ำหนักของถุงไข่เม่น)



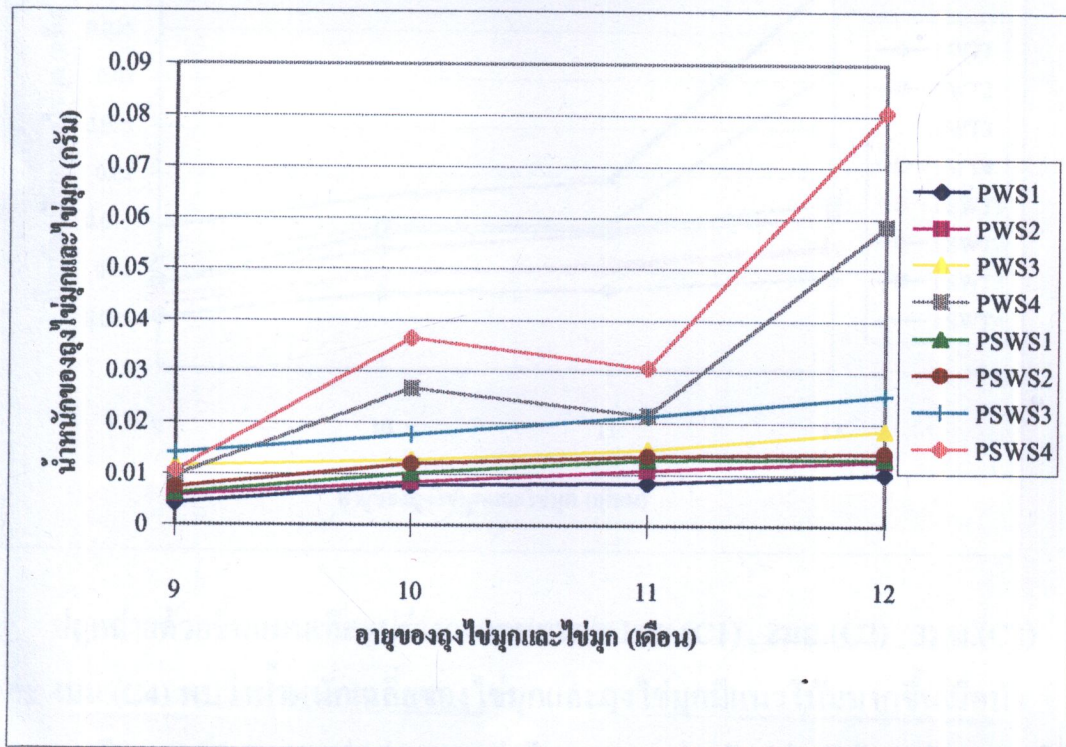
เมื่อปลูกถ่ายด้วยชิ้นแม่นเทิลรูปร่างวงกลมขนาด 1 มม.(C1) , 2 มม.(C2) , 3 มม.(C3) และ 4 มม.(C4) พบว่า น้ำหนักเฉลี่ยของไข่มุกและถุงไข่มุกมีแนวโน้มน้ำหนักมากขึ้นตามขนาดของชิ้นแม่นเทิลที่ปลูกถ่าย เมื่อนำข้อมูลมาวิเคราะห์ค่าความแปรปรวนพบว่า มีความแตกต่างกันอย่างมีนัยสำคัญทางสถิติที่ระดับความเชื่อมั่น 95 % จากการหาค่าความแตกต่างของน้ำหนักเฉลี่ยของไข่มุกและถุงไข่มุกพบว่า มีความแตกต่างโดยน้ำหนักเฉลี่ยของไข่มุกและถุงไข่มุกที่ปลูกถ่ายด้วยชิ้นแม่นเทิล C4 จะมีน้ำหนักเฉลี่ยมากสุดและที่ปลูกถ่ายด้วยชิ้นแม่นเทิล C1 จะมีน้ำหนักเฉลี่ยน้อยสุดดังแผนภูมิที่ 13

แผนภูมิที่ 13 แสดงน้ำหนักเฉลี่ยของไข่มุกและถุงไข่มุกในหอยมุก *H.(H.) bivalvatus* ที่ปลูกถ่ายด้วยชิ้นแม่นเทิลรูปร่างวงกลมขนาดต่างๆ โดยมีค่า $n = 5$
 (PW= น้ำหนักของไข่มุก, PSW= น้ำหนักของถุงไข่มุก)



เมื่อปลูกถ่ายด้วยชิ้นแม่นเทลูรุปร่างสีเหลี่ยมจตุรัสขนาด 2 มม. (S1), 4 มม. (S2), 6 มม. (S3) และ 8 มม. (S4) พบว่า น้ำหนักเฉลี่ยของไก่ปูนุกและถุงไก่ปูนุกมีแนวโน้มมากขึ้น ตามขนาดของชิ้นแม่นเทลูที่ปลูกถ่าย เมื่อนำข้อมูลมาวิเคราะห์ค่าความแปรปรวนพบว่า มีความแตกต่างกันอย่างมีนัยสำคัญทางสถิติที่ระดับความเชื่อมั่น 95% จากการหาค่า ความแตกต่างของน้ำหนักเฉลี่ยของไก่ปูนุกและถุงไก่ปูนุกที่ปลูกถ่ายด้วยชิ้นแม่นเทลู S4 จะ มีน้ำหนักเฉลี่ยมากสุดและที่ปลูกถ่ายด้วยชิ้นแม่นเทลู S1 จะมีน้ำหนักเฉลี่ยน้อยสุดดัง แผนภูมิที่ 14

แผนภูมิที่ 14 แสดงน้ำหนักเฉลี่ยของไก่ปูนุกและถุงไก่ปูนุกในหอยมุก *H.(H.) bialatus* ที่ ปลูกถ่ายด้วยชิ้นแม่นเทลูปร่างสีเหลี่ยมจตุรัสขนาดต่างๆ โดยมีค่า $n = 5$
 $(PW = \text{น้ำหนักของไก่ปูนุก}, PSW = \text{น้ำหนักของถุงไก่ปูนุก})$

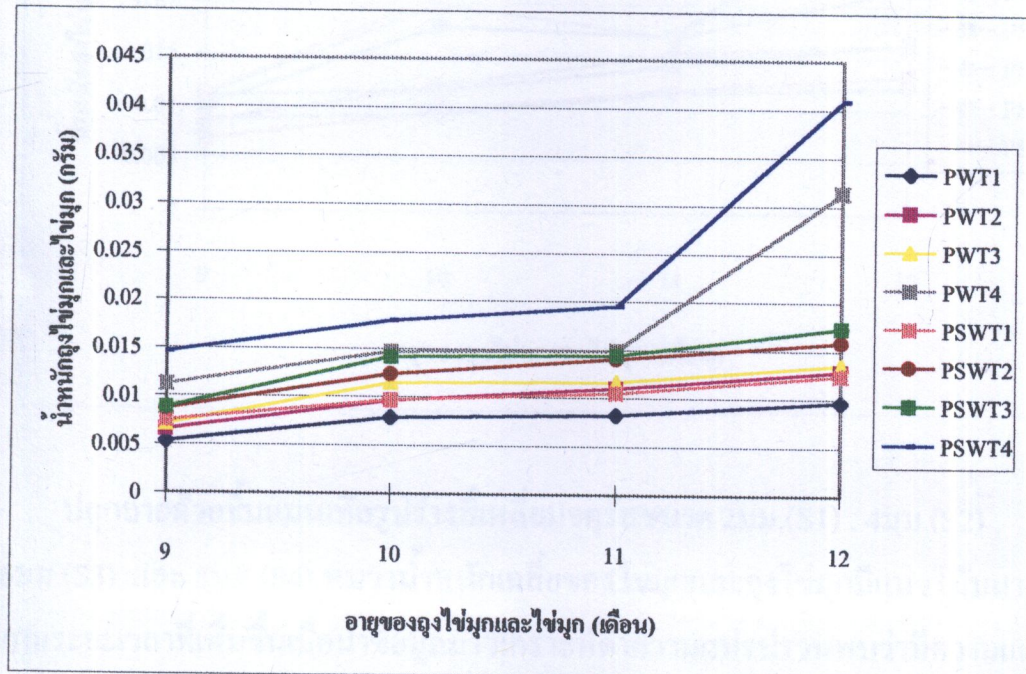


น้ำหนักเฉลี่ยของไก่ปูนุกและถุงไก่ปูนุกในหอยมุก *P.vondembuschianus ellipticus* ปลูกถ่ายด้วยชิ้นแม่นเทลูปร่างสามเหลี่ยมด้านเท่าขนาด 2 มม. (T1), 4 มม. (T2), 6 มม. (T3) และ 8 มม. (T4) พบว่า น้ำหนักเฉลี่ยของไก่ปูนุกและถุงไก่ปูนุกจะมีน้ำหนักมากขึ้น ตามขนาดของชิ้นแม่นเทลูที่ปลูกถ่าย เมื่อนำข้อมูลมาวิเคราะห์ค่าความแปรปรวนพบว่า

มีความแตกต่างกันอย่างมีนัยสำคัญทางสถิติที่ระดับความเชื่อมั่น 95 % จากการหาค่าความแตกต่างของน้ำหนักเฉลี่ยของไข่่มุกและถุงไข่่มุกพบว่ามีความแตกต่างโดยน้ำหนักเฉลี่ยของไข่่มุกและถุงไข่่มุกที่ปลูกถ่ายด้วยชิ้นแม่นเทล T4 จะมีน้ำหนักเฉลี่ยมากสุดและที่ปลูกถ่ายด้วยชิ้นแม่นเทล T1 จะมีน้ำหนักเฉลี่ยน้อยสุดดังแผนภูมิที่ 15

แผนภูมิที่ 15 แสดงน้ำหนักเฉลี่ยของไข่่มุกและถุงไข่่มุกในหอยมุก P.

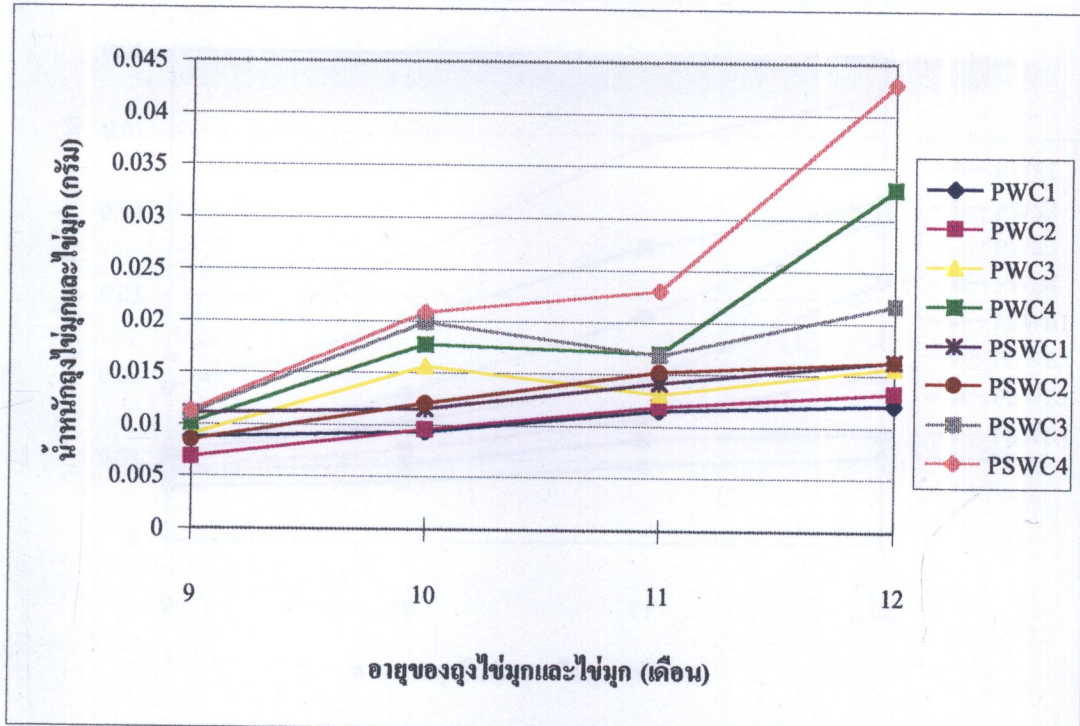
vondembuschianus ellipticus ที่ปลูกถ่ายด้วยชิ้นแม่นเทลรูปร่างสามเหลี่ยม
ด้านเท่าขนาดต่างๆ โดยมีค่า $n = 5$ (PW= น้ำหนักของไข่่มุก, PSW=
น้ำหนักของถุงไข่่มุก)



ปลูกถ่ายด้วยชิ้นแม่นเทลรูปร่างวงกลมน้ำด 1 มม.(C1) , 2 มม.(C2) , 3 มม.(C3)
และ 4 มม.(C4) พบว่า น้ำหนักเฉลี่ยของไข่่มุกและถุงไข่่มุกมีแนวโน้มมากขึ้นเมื่อนำ
เข้ามูลมาวิเคราะห์ค่าความแปรปรวนพบว่ามีความแตกต่างกันอย่างมีนัยสำคัญทางสถิติที่
ระดับความเชื่อมั่น 95 % จากการหาค่าความแตกต่างของน้ำหนักเฉลี่ยของไข่่มุกและถุง
ไข่่มุกพบว่ามีความแตกต่างโดยน้ำหนักเฉลี่ยของไข่่มุกและถุงไข่่มุกที่ปลูกถ่ายด้วยชิ้น
แม่นเทล C4 จะมีน้ำหนักเฉลี่ยมากสุดและที่ปลูกถ่ายด้วยชิ้นแม่นเทล C1 จะมีน้ำหนัก
เฉลี่ยน้อยสุดดังแผนภูมิที่ 16

แผนภูมิที่ 16 แสดงน้ำหนักเฉลี่ยของไข่บุกและถุงไข่บุกในหอยบุก P.

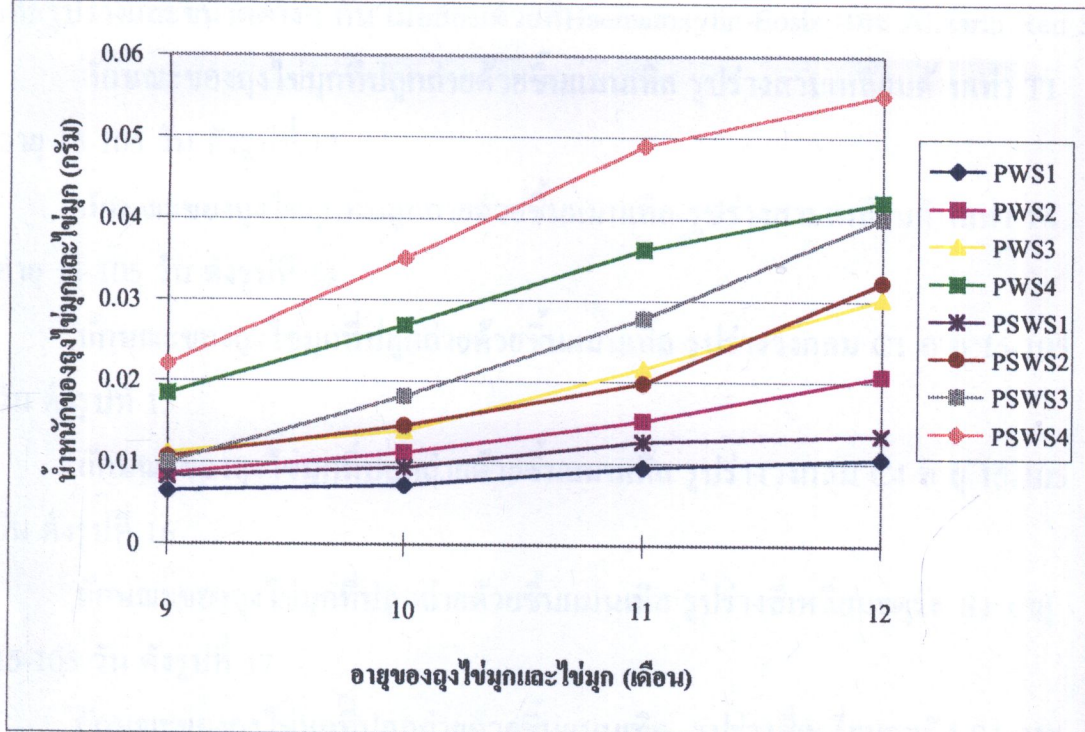
vondembuschianus ellipticus เมื่อปีกถ่ายด้วยชิ้นแม่นเทิรูปร่างวงกลมขนาดต่างๆ โดยมีค่า $n = 5$ (PW = น้ำหนักของไข่บุก, PSW = น้ำหนักของถุงไข่บุก)



ปีกถ่ายด้วยชิ้นแม่นเทิรูปร่างสี่เหลี่ยมจตุรัสขนาด 2 มม. (S1), 4 มม. (S2), 6 มม. (S3) และ 8 มม. (S4) พบว่า น้ำหนักเฉลี่ยของไข่บุกและถุงไข่บุกมีแนวโน้มมากขึ้น ตามระยะเวลาที่เพิ่มขึ้น เมื่อนำเข้ามูลมาวิเคราะห์ ค่าความแปรปรวนพบว่า มีความแตกต่าง กันอย่างมีนัยสำคัญทางสถิติที่ระดับความเชื่อมั่น 95% จากการหาค่าความแตกต่างของ น้ำหนักเฉลี่ยของไข่บุกและถุงไข่บุกพบว่า มีความแตกต่าง โดยน้ำหนักเฉลี่ยของไข่บุก และถุงไข่บุกที่ปีกถ่ายด้วยชิ้นแม่นเทิร์ล S4 จะมีน้ำหนักเฉลี่ยมากสุด และที่ปีกถ่ายด้วยชิ้นแม่นเทิร์ล S1 จะมีน้ำหนักเฉลี่ยน้อยสุดดังแผนภูมิที่ 17

แผนภูมิที่ 17 แสดงน้ำหนักเฉลี่ยของไข่ในมูกและถุงไข่ในหอยมูก P.

vondembuschianus ellipticus เมื่อปลูกถ่ายด้วยชิ้นแม่นเทิร์พร่างสีเหลืองจากตุร์ษนาคต่างๆ โดยมีค่า $n = 5$ ($PW =$ น้ำหนักของไข่ในมูก, $PSW =$ น้ำหนักของถุงไข่ในมูก)



การเปลี่ยนแปลงทางเนื้อเยื่อของถุงไข่ในมูก

หลังจากปลูกถ่ายเนื้อเยื่อชิ้นแม่นเทิลเข้าไป 15 วัน บริเวณที่ปลูกถ่ายชิ้นเนื้อเยื่อในหอยมูกทั้งสองชนิดจะพบถุงไข่ในมูกถูกสร้างเสร็จสมบูรณ์และเริ่มนีกิาระਸນสารไข่ในมูกภายในถุงไข่ในมูกแสดงว่ากระบวนการสร้างถุงไข่ในมูกจนเสร็จสมบูรณ์จะใช้เวลาอย่างกว่า 15 วัน ถุงไข่ในมูกประกอบขึ้นจากเซลล์ของเนื้อเยื่อบุผิวแม่นเทิลที่นับnakoreing ตัวเป็นเนื้อยื่อชั้นเดียวส่วนเนื้อยื่อแม่นเทิลที่นับnakoreing ตัวเป็นเนื้อยื่อชั้นเดียวที่มีสีด้วย Haematoxylin-Eosin จะเห็นเป็นเนื้อยื่อชั้นเดียวติดสีน้ำเงินเข้ม เมื่อคุ้นเคยกล้องจุลทรรศน์กำลังขยายสูงขึ้นจะพบว่าเซลล์มีนิวเคลียสขนาดใหญ่ติดสีน้ำเงิน ส่วนไชโทพลาซึมติดสีแดง บางเซลล์จะมี vacuole ขนาดใหญ่ติดสีน้ำเงินเข้มบางเซลล์พบ vacuole ว่างเปล่าดังแสดงในรูปที่ 12 และเมื่อย้อมด้วยสี Alizarin Red S บริเวณที่มีแคลเซียมสะสมอยู่เซลล์จะติดสีแดง ภายในถุงไข่ในมูกจะมีของเหลวที่เรียกว่าสารไข่ในมูก

(pearl sac fluid) ซึ่งเป็นส่วนสำคัญในกระบวนการสะสมของสารประกอบแคลเซียม คาร์บอเนต ซึ่งแคลเซียมคาร์บอเนตจะจับตัวกันแน่นเป็นและสะสมมากขึ้นเมื่ออายุของ ดูงไช่่มุกมากขึ้น โดยสังเกตได้จากการติดสีแดงของ Alizarin Red S ที่ย้อมติดแคลเซียม

รูปแสดงลักษณะของถุงไช่่มุกในหอยมุก *H.(H.) bivalvatus* ที่ปลูกถ่ายด้วยชิ้นแม่น เทิลรูปร่างและขนาดต่างๆ กัน เมื่อย้อมด้วยสี Haematoxylin-Eosin และ Alizarin Red S ลักษณะของถุงไช่่มุกที่ปลูกถ่ายด้วยชิ้นแม่นเทิล รูปร่างสามเหลี่ยมค้านเท่า T1 อายุ 15-105 วัน ดังรูปที่ 13

ลักษณะของถุงไช่่มุกที่ปลูกถ่ายด้วยชิ้นแม่นเทิล รูปร่างสามเหลี่ยมค้านเท่า T4 อายุ 15-105 วัน ดังรูปที่ 14

ลักษณะของถุงไช่่มุกที่ปลูกถ่ายด้วยชิ้นแม่นเทิล รูปร่างวงกลม C1 อายุ 15-105 วัน ดังรูปที่ 15

ลักษณะของถุงไช่่มุกที่ปลูกถ่ายด้วยชิ้นแม่นเทิล รูปร่างวงกลม C4 อายุ 15-105 วัน ดังรูปที่ 16

ลักษณะของถุงไช่่มุกที่ปลูกถ่ายด้วยชิ้นแม่นเทิล รูปร่างสี่เหลี่ยมจตุรัส S1 อายุ 15-105 วัน ดังรูปที่ 17

ลักษณะของถุงไช่่มุกที่ปลูกถ่ายด้วยชิ้นแม่นเทิล รูปร่างสี่เหลี่ยมจตุรัส S4 อายุ 15-105 วัน ดังรูปที่ 18

รูปแสดงลักษณะของถุงไช่่มุกในหอยมุก *P.vondembuschianus ellipticus* ที่ปลูกถ่าย ด้วยชิ้นแม่นเทิลรูปร่างและขนาดต่างๆ กัน เมื่อย้อมด้วยสี Haematoxylin-Eosin และ Alizarin Red S

ลักษณะของถุงไช่่มุกที่ปลูกถ่ายด้วยชิ้นแม่นเทิล รูปร่างสามเหลี่ยมค้านเท่า T1 อายุ 15-105 วัน ดังรูปที่ 19

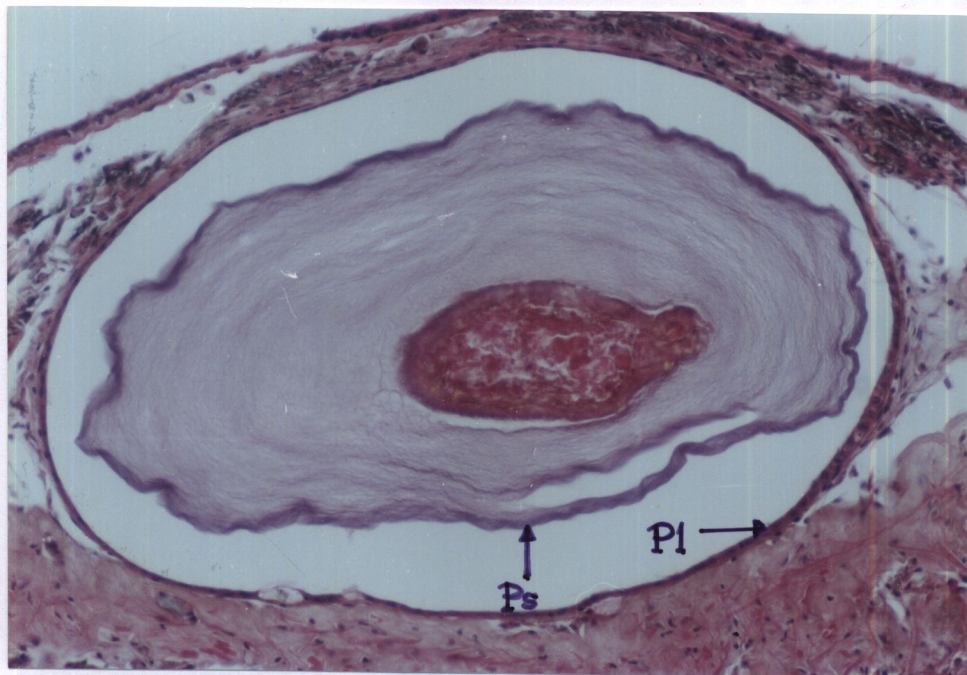
ลักษณะของถุงไช่่มุกที่ปลูกถ่ายด้วยชิ้นแม่นเทิล รูปร่างสามเหลี่ยมค้านเท่า T4 อายุ 15-105 วัน ดังรูปที่ 20

ลักษณะของถุงไช่่มุกที่ปลูกถ่ายด้วยชิ้นแม่นเทิล รูปร่างวงกลม C1 อายุ 15-105 วัน ดังรูปที่ 21

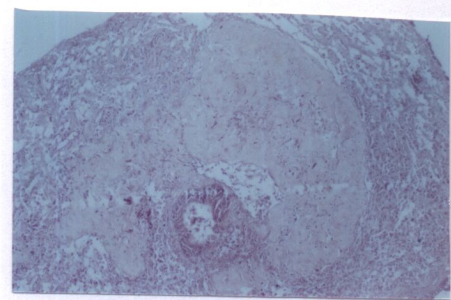
ลักษณะของถุงไข่นุกที่ปูกถ่ายด้วยชิ้นแม่นเทิล รูปร่างวงกลม C4 อายุ 15-105 วัน ดังรูปที่ 22

ลักษณะของถุงไข่นุกที่ปูกถ่ายด้วยชิ้นแม่นเทิล รูปร่างสีเหลืองจุดรัส S1 อายุ 15-105 วัน ดังรูปที่ 23

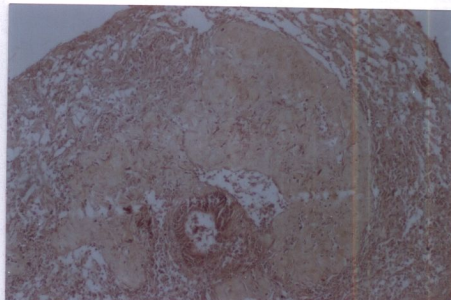
ลักษณะของถุงไข่นุกที่ปูกถ่ายด้วยชิ้นแม่นเทิล รูปร่างสีเหลืองจุดรัส S4 อายุ 15-105 วัน ดังรูปที่ 24



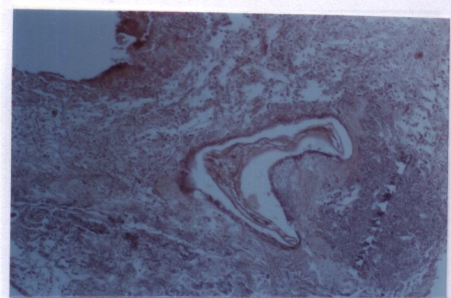
รูปที่ 12 ลักษณะทั่วไปของถุงไข่นุกเมื่อยืดด้วยสี Haematoxylin-Eosin โดย Pl = Pearl layer และ Ps = Pearl substance



A



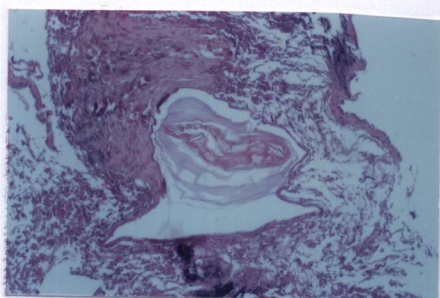
E



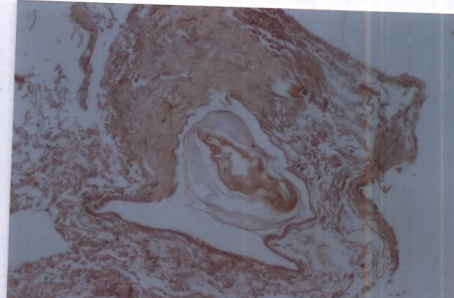
B



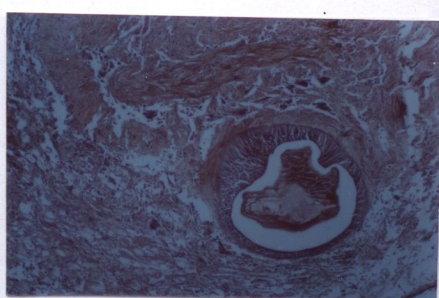
F



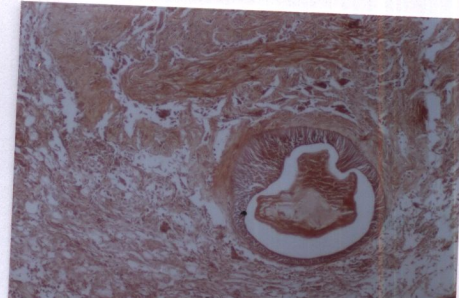
C



G



D

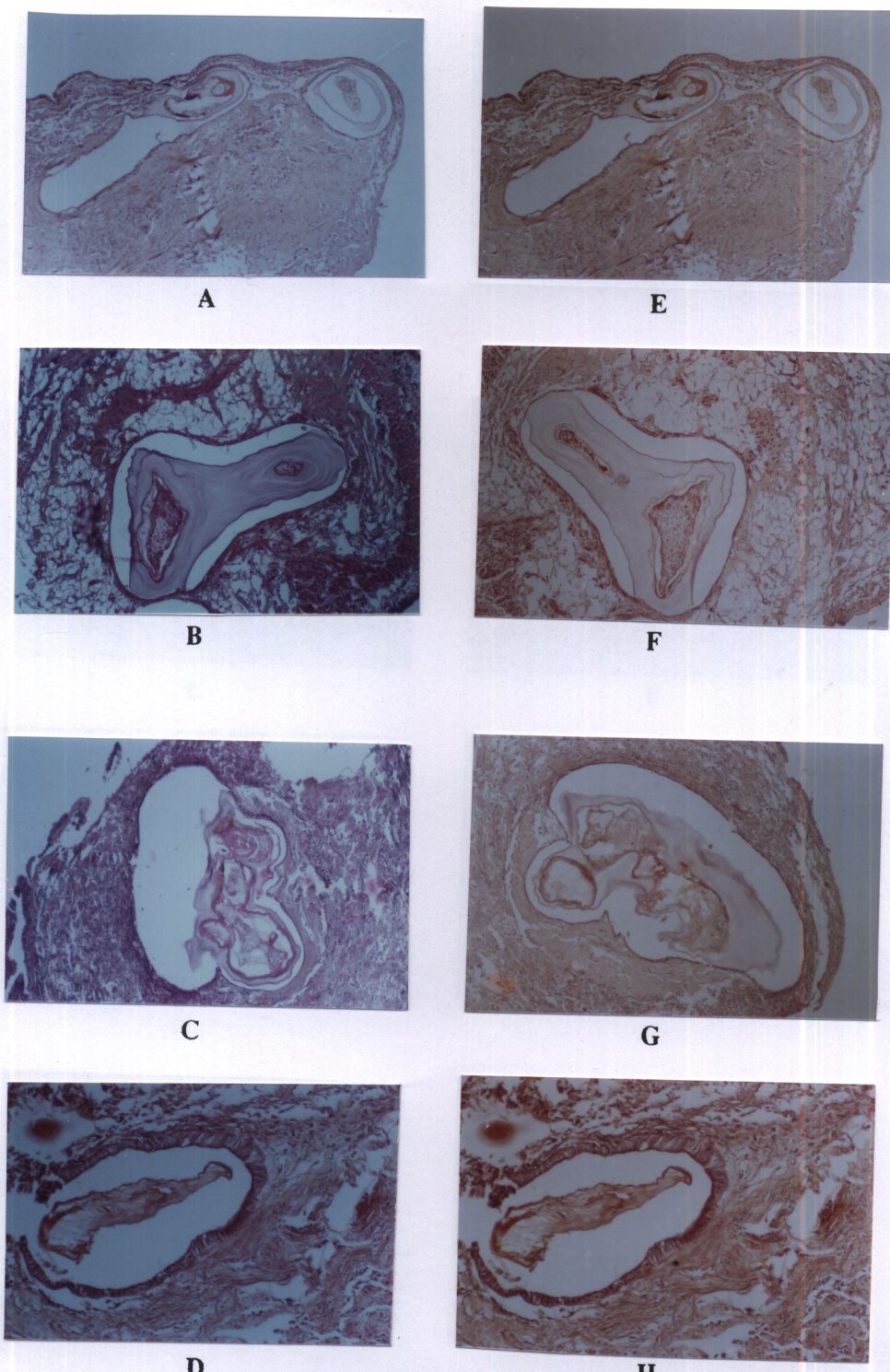


H

รูปที่ 13 แสดงลักษณะถุงไข่ในหอยนุก *H. (H.) bialatus* เมื่อปลูกถ่ายด้วยชิ้นแม้นเทล T1รูปร่างสามเหลี่ยมค้านเท่าเมื่อย้อมด้วยสี Haematoxylin-Eosin (HE) และ Alizarin Red S (A)

HE : A = อายุ 15 วัน B = อายุ 45 วัน C = อายุ 75 วัน D = อายุ 105 วัน

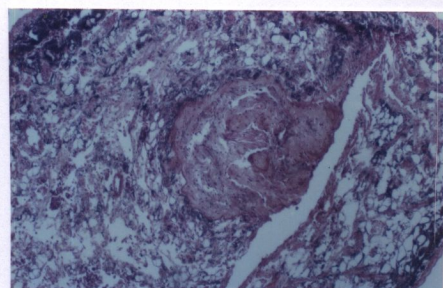
A : E = อายุ 15 วัน F = อายุ 45 วัน G = อายุ 75 วัน H = อายุ 105 วัน



รูปที่ 14 แสดงลักษณะถุงไข่ Muk ในหอยมุก *H. (H.) bialatus* เมื่อปลูกถ่ายด้วยชิ้นแม่นทิล รูปร่างสามเหลี่ยมค้านเท่า T4 เมื่อขึ้นด้วยสี Haematoxylin-Eosin (HE) และ Alizarin Red S (A)

HE : A = อายุ 15 วัน B = อายุ 45 วัน C = อายุ 75 วัน D = อายุ 105 วัน

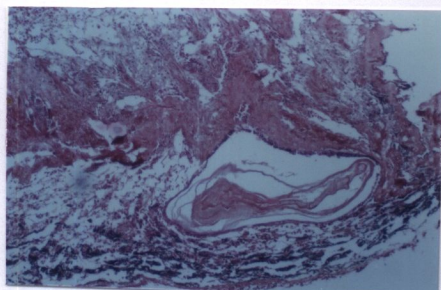
A : E = อายุ 15 วัน F = อายุ 45 วัน G = อายุ 75 วัน H = อายุ 105 วัน



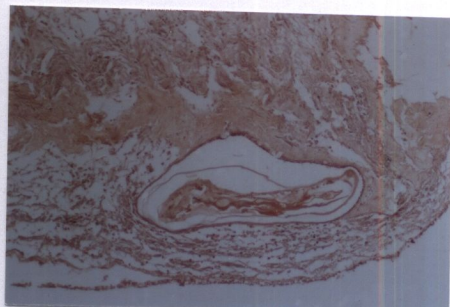
A



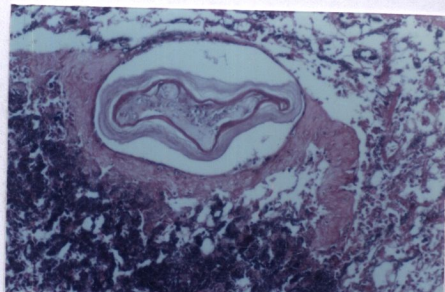
E



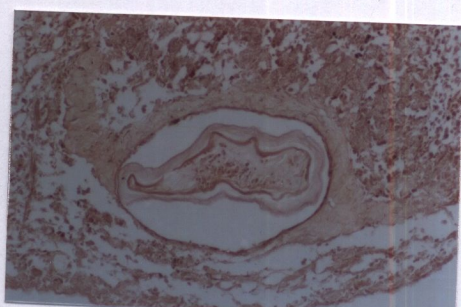
B



F



C



G



D

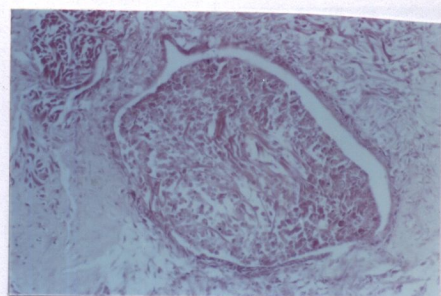


H

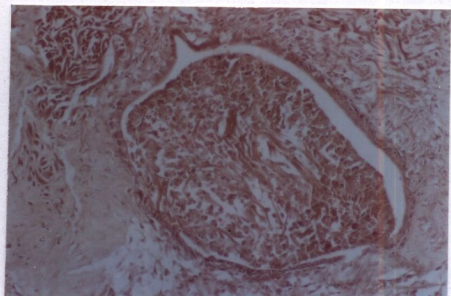
รูปที่ 15 แสดงลักษณะถุงไข่ในหอยบุก *H. (H.) bialatus* เมื่อปลูกตัวด้วยชิ้นแม่นทิล รูปร่าง
วงกลม C1 เมื่อย้อมด้วยสี Haematoxylin-Eosin (HE) และ Alizarin Red S (A)

HE : A = อายุ 15 วัน B = อายุ 45 วัน C = อายุ 75 วัน D = อายุ 105 วัน

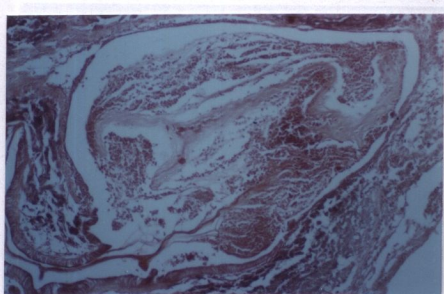
A : E = อายุ 15 วัน F = อายุ 45 วัน G = อายุ 75 วัน H = อายุ 105 วัน



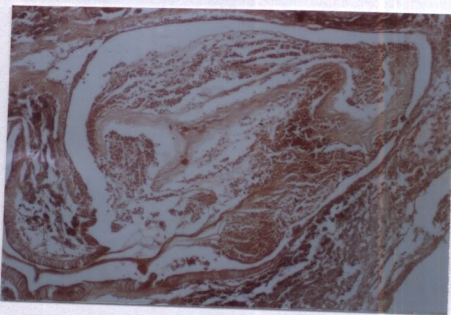
A



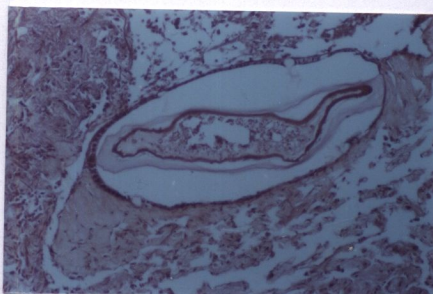
E



B



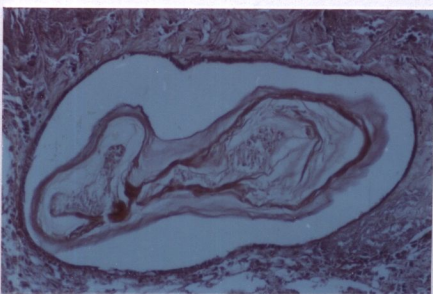
F



C



G



D

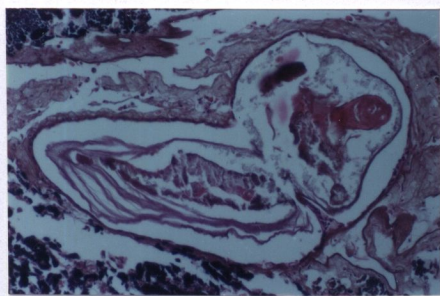


H

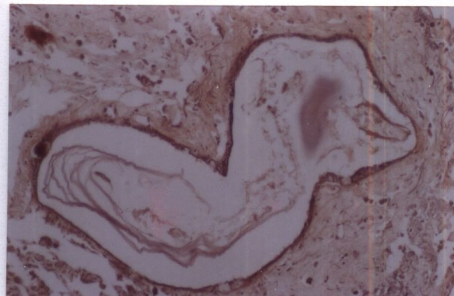
รูปที่ 16 แสดงลักษณะถุงไข่มุกในหอยมุก *H.(H.) bialatus* เมื่อปลูกถ่ายด้วยชิ้นแมงเกลือรูปร่างวงกลม C4 เมื่อข้อมด้วยสี Haematoxylin-Eosin (HE) และ Alizarin Red S(A)

HE : A = อายุ 15 วัน B = อายุ 45 วัน C = อายุ 75 วัน D = อายุ 105 วัน

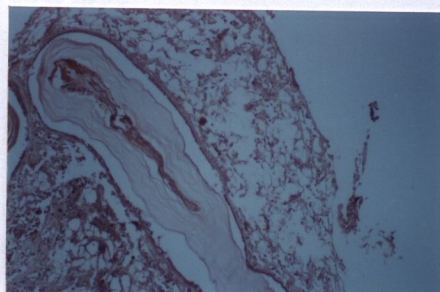
A : E = อายุ 15 วัน F = อายุ 45 วัน G = อายุ 75 วัน H = อายุ 105 วัน



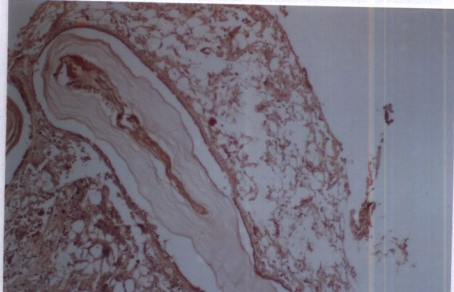
A



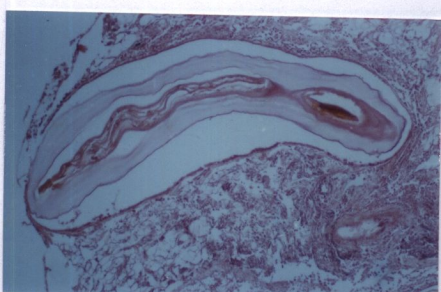
E



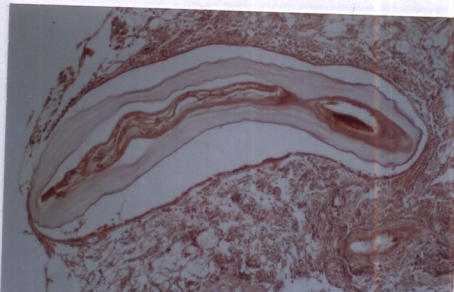
B



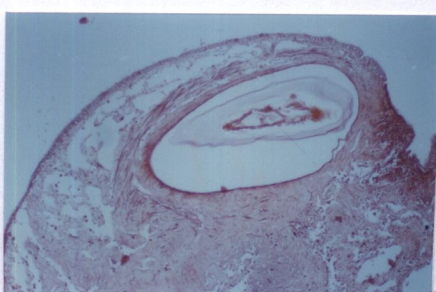
F



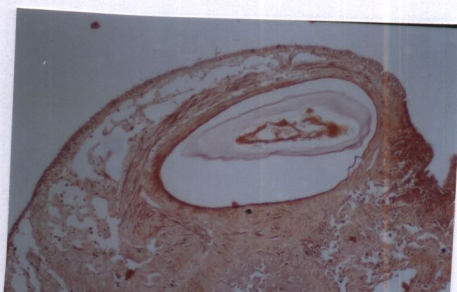
C



G



D

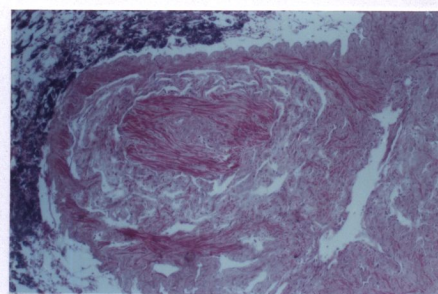


H

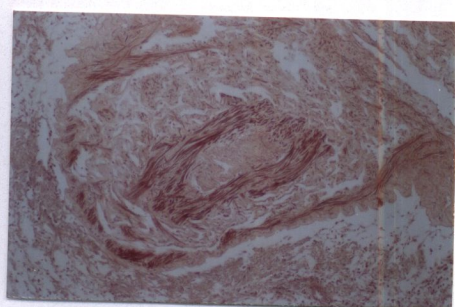
รูปที่ 17 แสดงถุงมะถุนไข่นกในหอยบลูต *H.(H.) bialatus* เมื่อปักกล่องด้วยชิ้นแมงเพลิงปร่างสีเหลืองจากสารสี Alizarin Red S เมื่อย้อมด้วยสี Haematoxylin-Eosin(HE) และ Alizarin Red S (A)

HE : A = อายุ 15 วัน B = อายุ 45 วัน C = อายุ 75 วัน D = อายุ 105 วัน

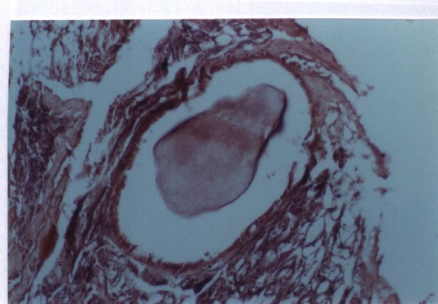
A : E = อายุ 15 วัน F = อายุ 45 วัน G = อายุ 75 วัน H = อายุ 105 วัน



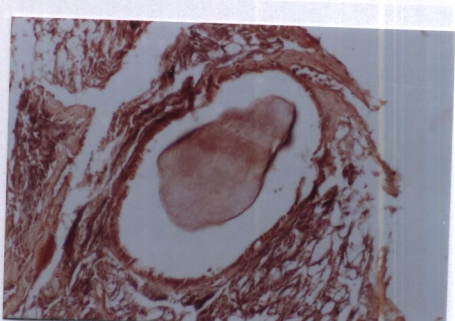
A



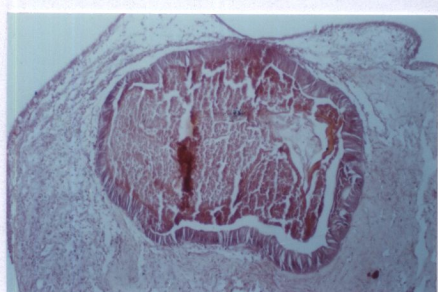
E



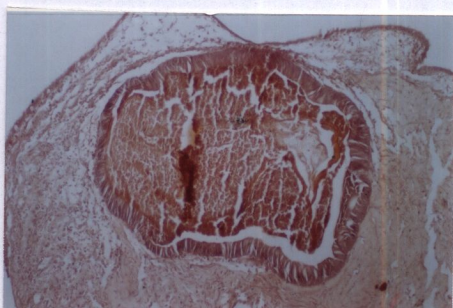
B



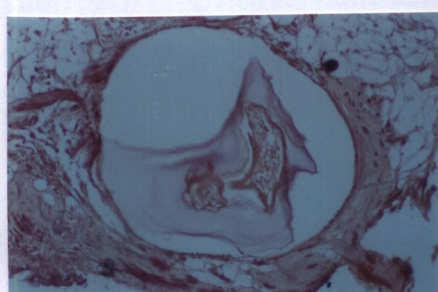
F



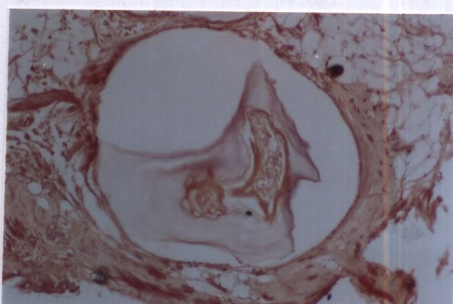
C



G



D

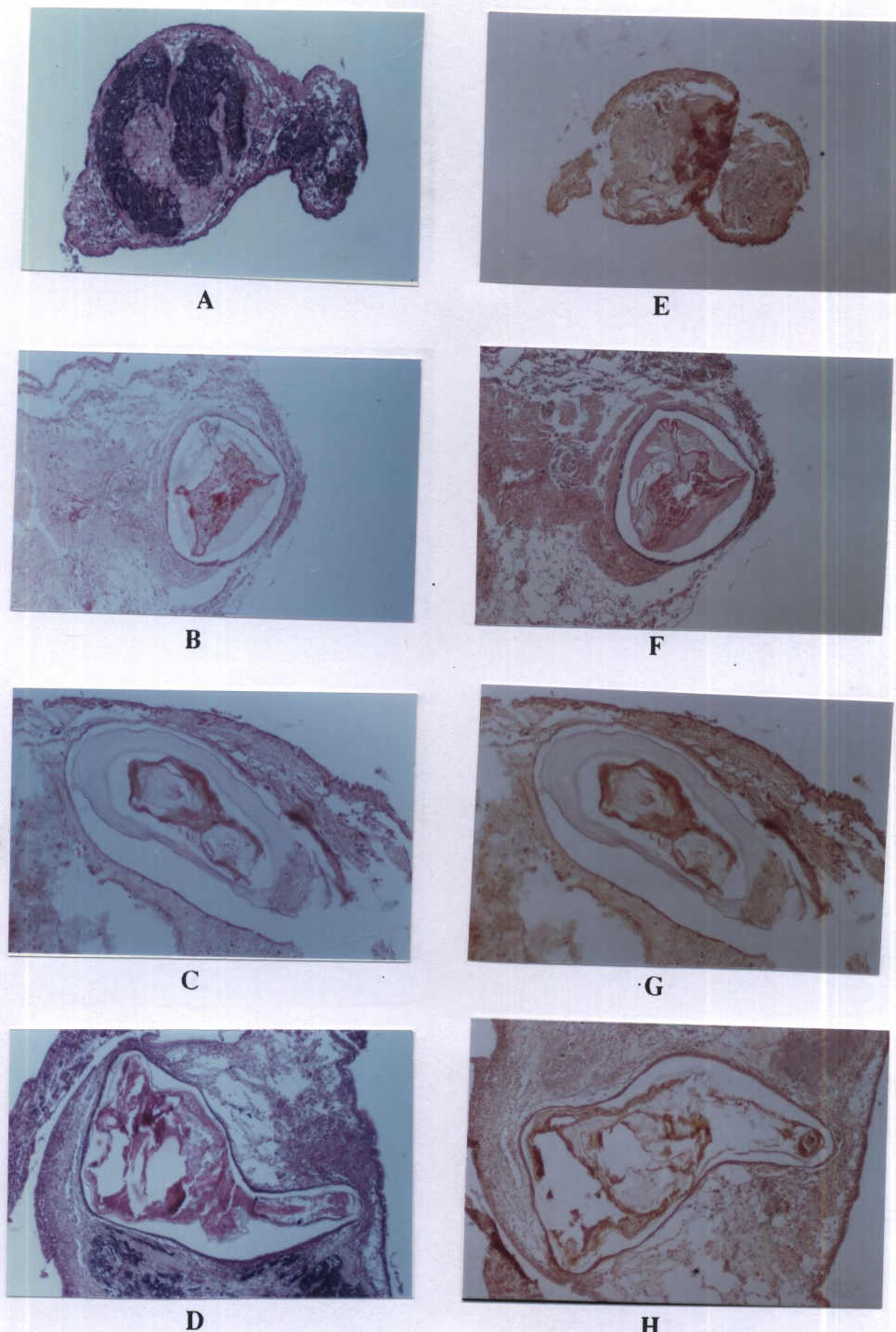


H

รูปที่ 18 แสดงลักษณะถุงไข่มุกในหอยมุก *H. (H.) bialatus* เมื่อปลูกค่ายด้วยชิ้นแม่นเกลือ รูปร่างสี่เหลี่ยมจตุรัส 4 เมื่อย้อมด้วยสี Haematoxylin-Eosin (HE) และ Alizarin Red S (A)

HE : A = อายุ 15 วัน B = อายุ 45 วัน C = อายุ 75 วัน D = อายุ 105 วัน

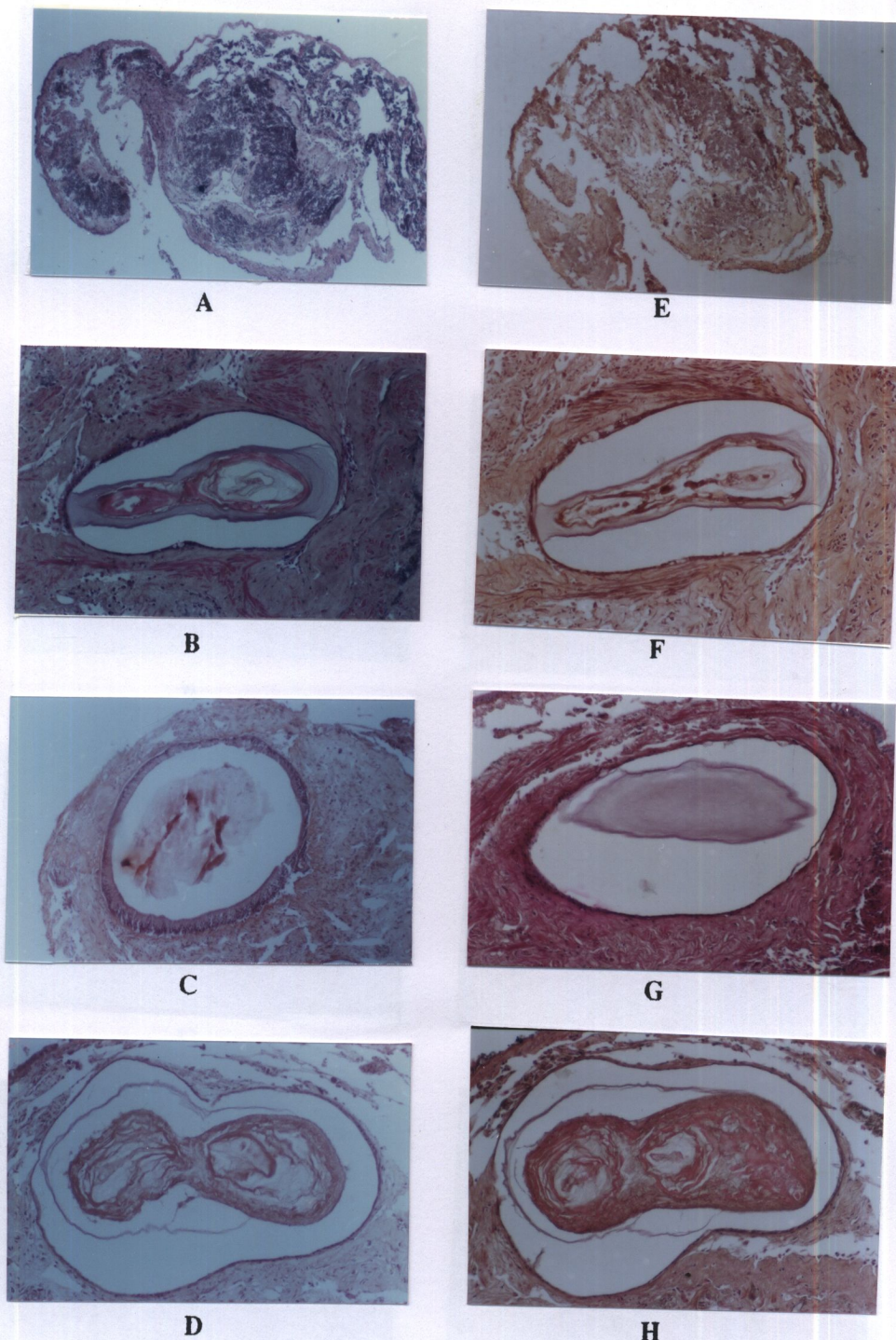
A : E = อายุ 15 วัน F = อายุ 45 วัน G = อายุ 75 วัน H = อายุ 105 วัน



รูปที่ 19 แสดงลักษณะถุงไข่เม่นในหอยเม่น *P.vondembuschianus ellipticus* เมื่อปักก ถ่ายด้วยชิ้นแม่นเทิด รูปร่างสามเหลี่ยมด้านเท่า T1 เมื่อย้อมด้วยสี Haematoxylin-Eosin (HE) และ Alizarin Red S (A)

HE : A = อายุ 15 วัน B = อายุ 45 วัน C = อายุ 75 วัน D = อายุ 105 วัน

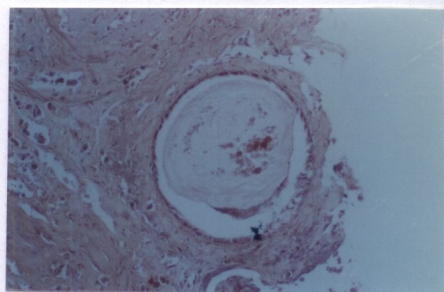
A : E = อายุ 15 วัน F = อายุ 45 วัน G = อายุ 75 วัน H = อายุ 105 วัน



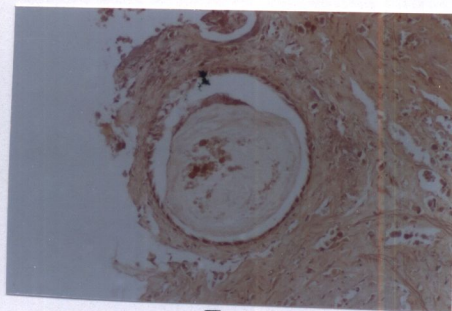
รูปที่ 20 แสดงลักษณะถุงไข่มุกในหอยมุก *P.vondembuschianus ellipticus* เมื่อปักกั้งด้วยชิ้นแม่นเทิล รูปร่างสามเหลี่ยมค้านเท่า T4 เมื่อย้อมด้วยสี Haematoxylin-Eosin (HE) และ Alizarin Red S (A)

HE : A = อายุ 15 วัน B = อายุ 45 วัน C = อายุ 75 วัน D = อายุ 105 วัน

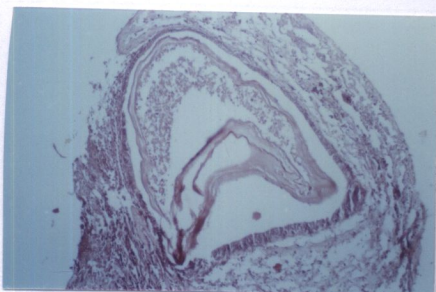
A : E = อายุ 15 วัน F = อายุ 45 วัน G = อายุ 75 วัน H = อายุ 105 วัน



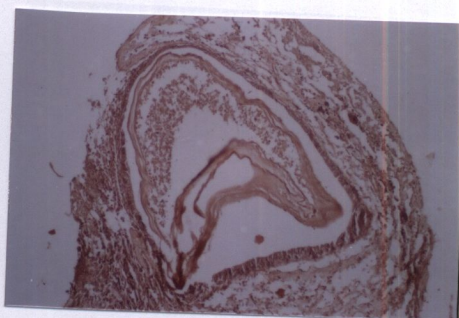
A



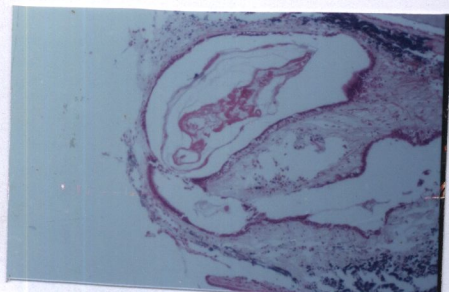
E



B



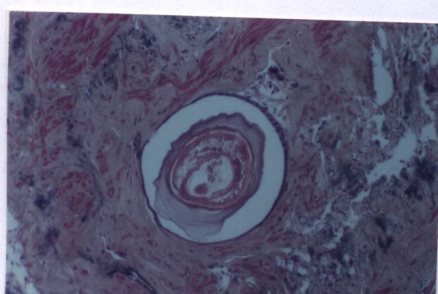
F



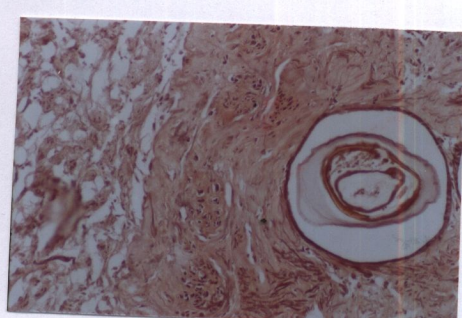
C



G



D

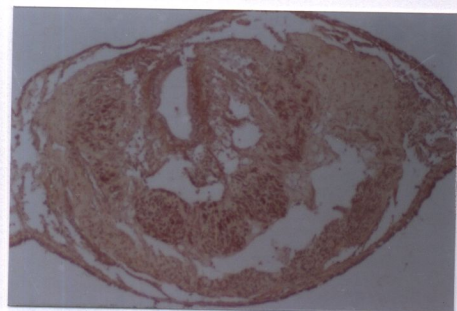


H

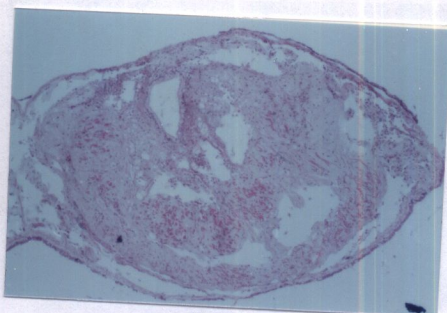
รูปที่ 21 แสดงลักษณะถุงไข่เมุกในหอยเมุก *P.vondembuschianus ellipticus* เมื่อปัจจุบันถ่ายคิวชิน
แบบเทิลรูปร่างวงกลม C1 เมื่อย้อมด้วยสี Haematoxylin-Eosin(HE) และ Alizarin Red S(A)

HE : A = อายุ 15 วัน B = อายุ 45 วัน C = อายุ 75 วัน D = อายุ 105 วัน

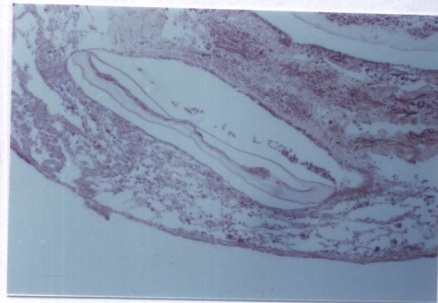
A : E = อายุ 15 วัน F = อายุ 45 วัน G = อายุ 75 วัน H = อายุ 105 วัน



A



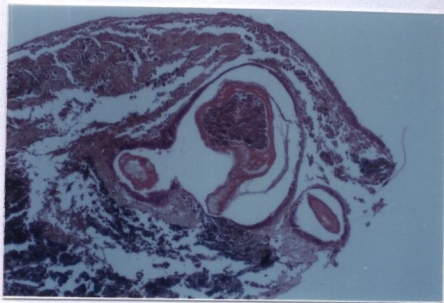
E



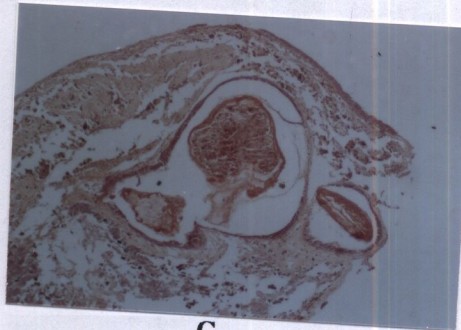
B



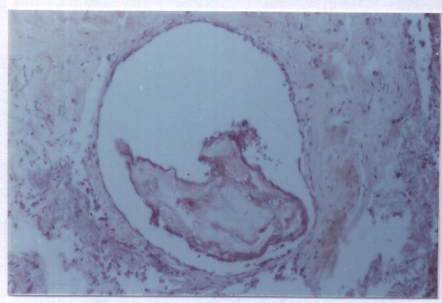
F



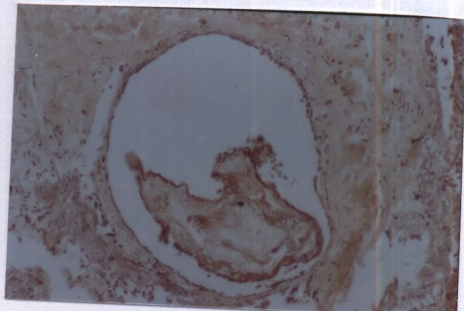
C



G



D

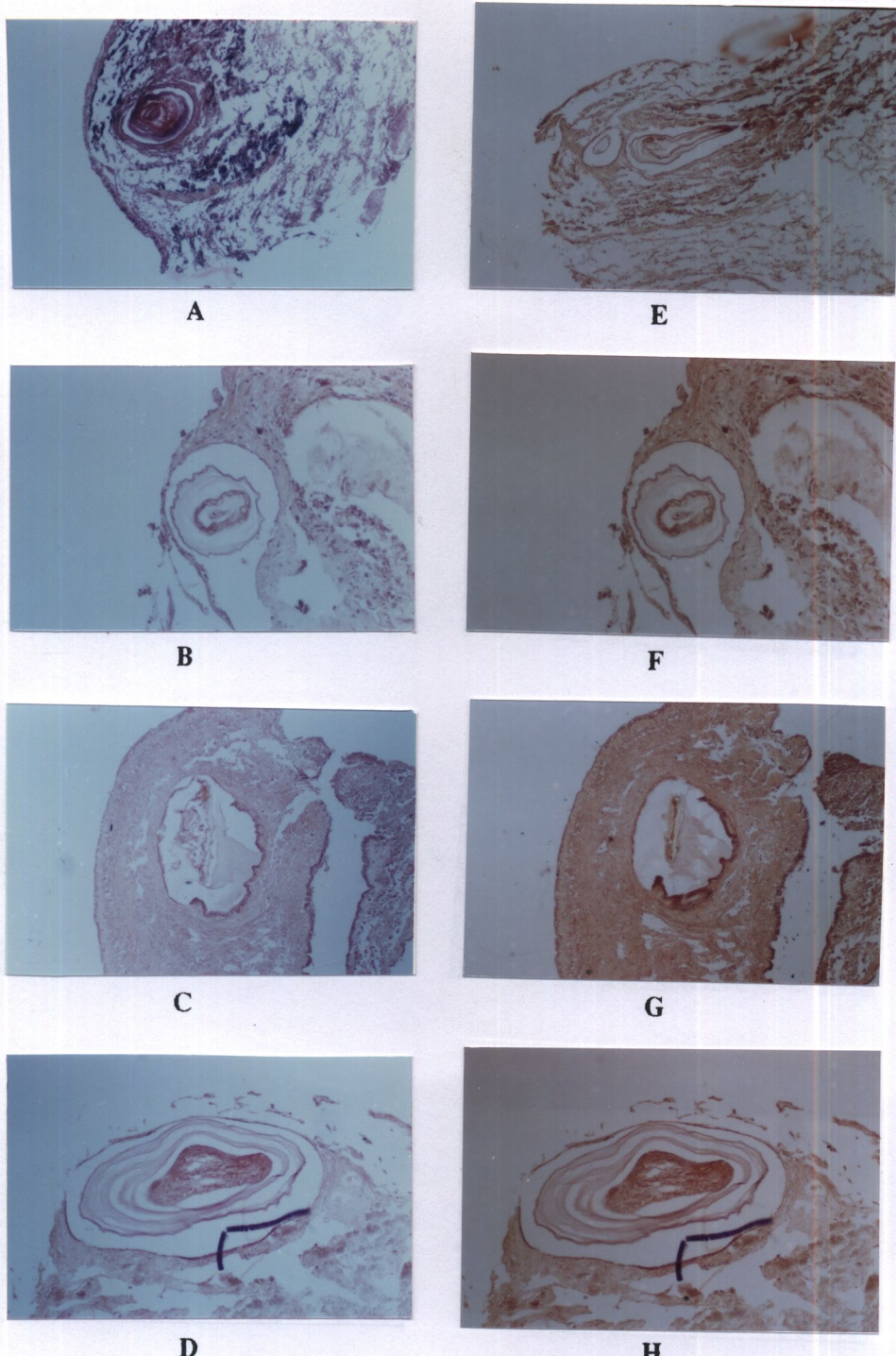


H

รูปที่ 22 แสดงลักษณะถุงไข่มุกในหอยมุก *P.vondembuschianus ellipticus* เมื่อปลูกถ่ายด้วยชิ้นแม่นเทิลรูปร่างวงกลมC4เมื่อย้อมด้วยสี Haematoxylin-Eosin(HE)และ Alizarin Red S(A)

HE : A = อายุ 15 วัน B = อายุ 45 วัน C = อายุ 75 วัน D = อายุ 105 วัน

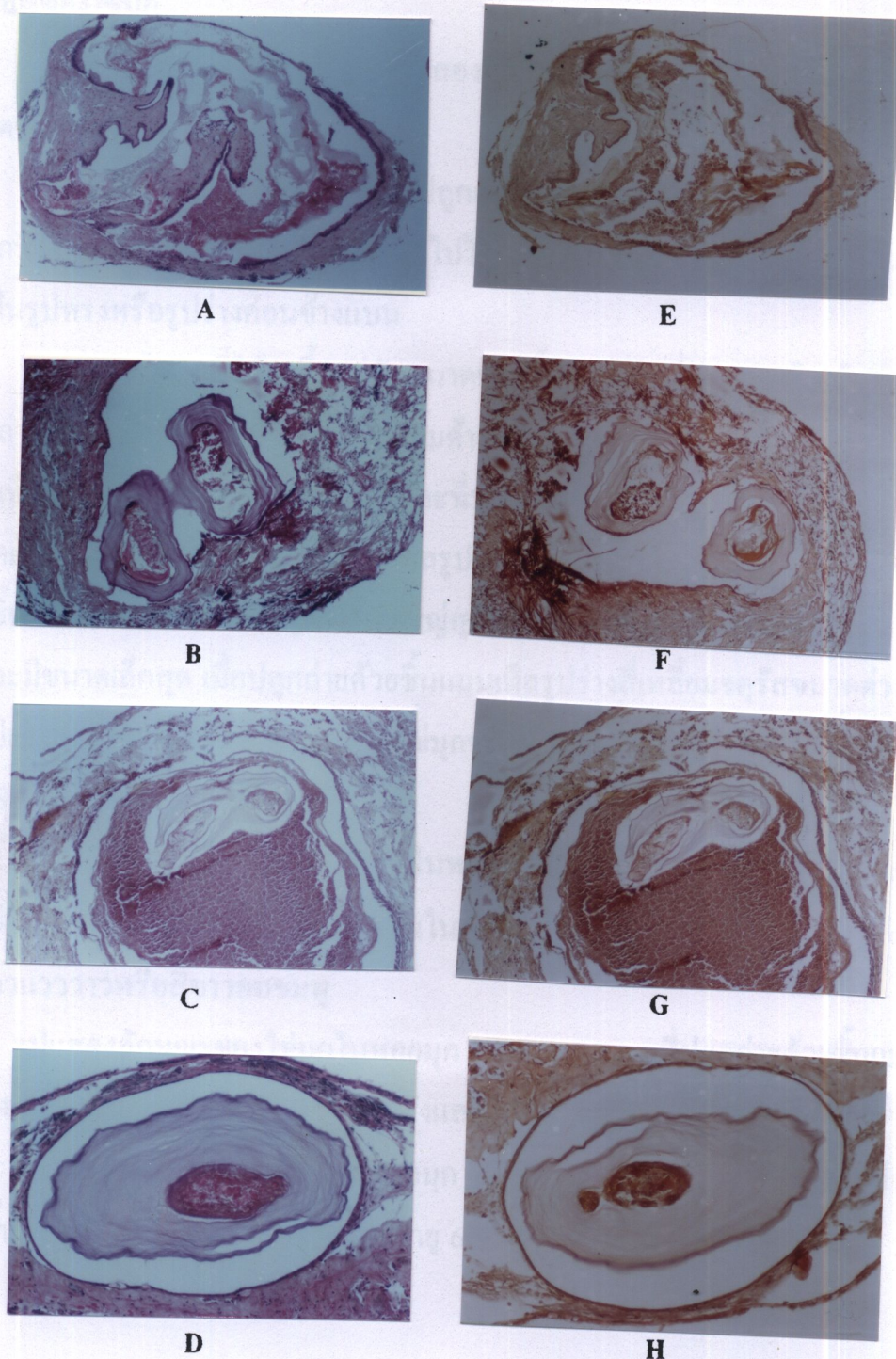
A : E = อายุ 15 วัน F = อายุ 45 วัน G = อายุ 75 วัน H = อายุ 105 วัน



รูปที่ 23 แสดงลักษณะถุงไข่นูกในหอยนูก *P.vondembuschianus ellipticus* เมื่อปลูกต่ำด้วยชิ้นแม่นเทล รูปร่างสีเหลืองจดรัสร 1 เมื่อย้อมด้วยสี Haematoxylin-Eosin (HE) และ Alizarin Red S (A)

HE : A = อายุ 15 วัน B = อายุ 45 วัน C = อายุ 75 วัน D = อายุ 105 วัน

A : E = อายุ 15 วัน F = อายุ 45 วัน G = อายุ 75 วัน H = อายุ 105 วัน



รูปที่ 24 แสดงลักษณะถุงไข่มุกในหอยมุก *P.vondembuschianus ellipticus* เมื่อปลูกถ่ายด้วยชิ้นแม่นเทิต รูปร่างสี่เหลี่ยมจตุรัส S4 เมื่อขึ้นด้วยสี Haematoxylin-Eosin (HE) และ Alizarin Red S (A)

HE : A = อายุ 15 วัน B = อายุ 45 วัน C = อายุ 75 วัน D = อายุ 105 วัน

A : E = อายุ 15 วัน F = อายุ 45 วัน G = อายุ 75 วัน H = อายุ 105 วัน

ลักษณะของไข่นุก

ลักษณะของไข่นุกที่ได้จากหอยทั้งสองชนิดมีความแตกต่างกันทั้งรูปร่างลักษณะขนาดของไข่นุก สีของไข่นุก

รูปร่างลักษณะของไข่นุกที่ได้มีปลูกถ่ายด้วยชิ้นแม่นเทลูรูปร่างเหมือนกันพบว่า ไข่นุกที่ได้มีความหลากหลายแตกต่างกันไปไม่คงที่ เช่น ผิวนิ่มนุ่มค่อนข้างกลม ผิวขรุขระ ไม่เป็นรูปทรงหรือรูปร่างค่อนข้างแบน

ขนาดของไข่นุกที่ได้จะขึ้นอยู่กับขนาดของชิ้นแม่นเทลูกที่ปลูกถ่ายโดยในกลุ่มที่ปลูกถ่ายด้วยชิ้นแม่นเทลูรูปร่างสามเหลี่ยมด้านเท่าขนาดต่างๆ พบว่าที่ปลูกถ่ายด้วยชิ้นแม่นเทล T4 จะได้ไข่นุกขนาดใหญ่สุดและที่ปลูกถ่ายด้วยชิ้นแม่นเทล T1 จะได้ไข่นุกขนาดเล็กสุด เมื่อปลูกถ่ายด้วยชิ้นแม่นเทลูรูปร่างวงกลมขนาดต่างๆ พบว่าที่ปลูกถ่ายด้วยชิ้นแม่นเทล C4 จะได้ไข่นุกขนาดใหญ่สุดและที่ปลูกถ่ายด้วยชิ้นแม่นเทล C1 ไข่นุกที่ได้จะมีขนาดเล็กสุด เมื่อปลูกถ่ายด้วยชิ้นแม่นเทลูรูปร่างสี่เหลี่ยมจตุรัสขนาดต่างๆ พบว่าที่ปลูกถ่ายด้วยชิ้นแม่นเทล S4 จะได้ไข่นุกขนาดใหญ่สุดและที่ปลูกถ่ายด้วยชิ้นแม่นเทล S1 จะได้ไข่นุกขนาดเล็กสุด

สีของไข่นุกจะมีความแตกต่างกันในหอยทั้งสองชนิด ในหอยมุก *H.(H.) bialatus* จะมีสีขาวนวลหรือสีเทามันแปรเววัวว่า ส่วนในหอยมุก *P.vondembuschianus ellipticus* จะมีสีขาวแปรเววัววหรือสีขาวอมชมพู

รูปแสดงลักษณะของไข่นุกในหอยมุก *H.(H.) bialatus* ที่ปลูกถ่ายด้วยชิ้นแม่นเทลูรูปร่างและขนาดต่างๆ อายุ 6-12 เดือน ดังแสดงในรูปที่ 25-30

รูปแสดงลักษณะของไข่นุกในหอยมุก *P.vondembuschianus ellipticus* ที่ปลูกถ่ายด้วยชิ้นแม่นเทลูรูปร่างและขนาดต่างๆ อายุ 6-12 เดือน ดังแสดงในรูปที่ 31-36



A



E



B



F



C



G



D

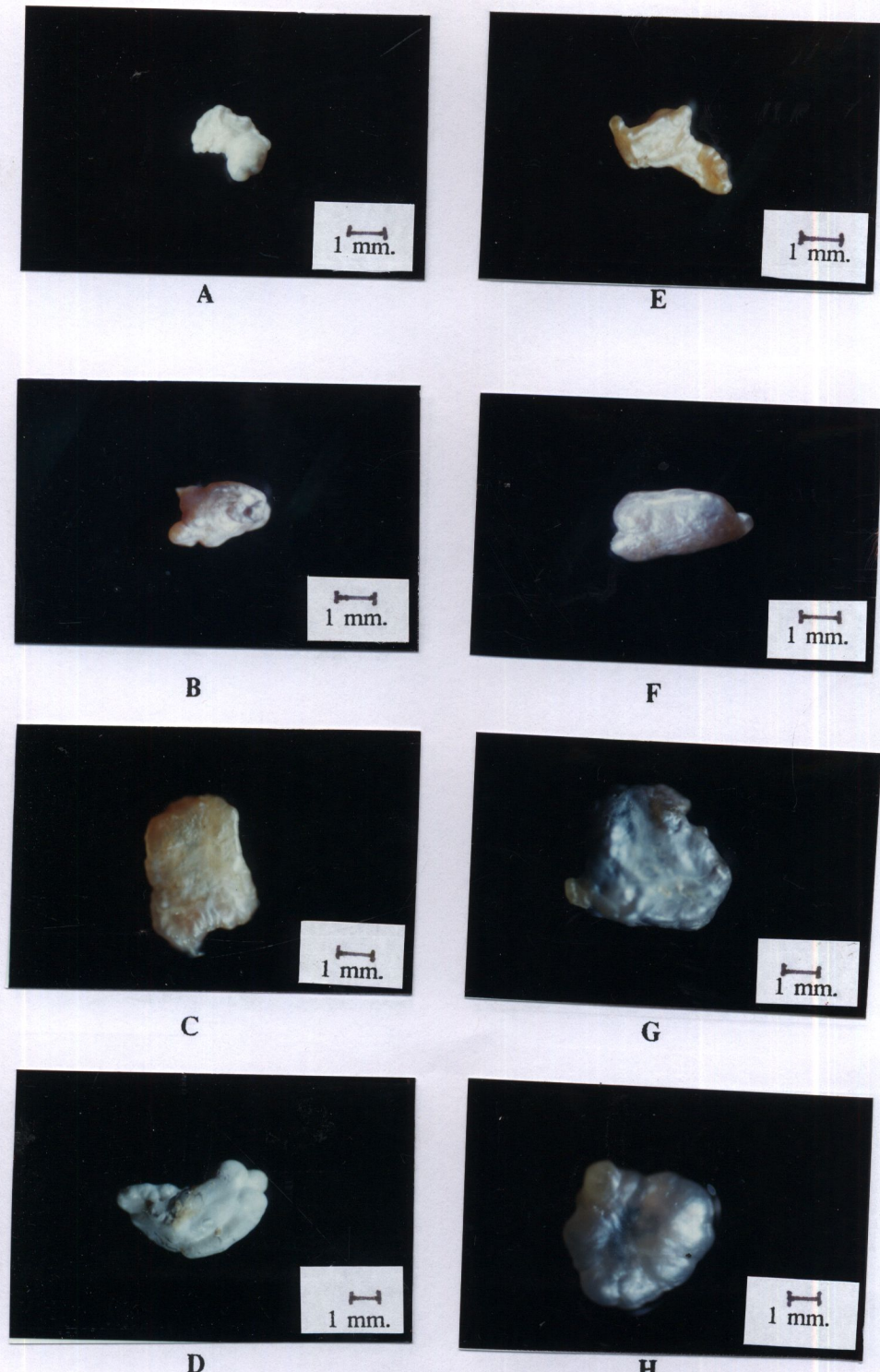


H

รูปที่ 25 แสดงลักษณะไข่มุกในหอยมุก *H.(H.) bialatus* เมื่อปลูกถ่ายด้วยชิ้นแม่นทิลรูปร่างสามเหลี่ยมค้านเท่า

T1 : A (x20) 6 เดือน B (x20) 8 เดือน C (x15) 10 เดือน D (x15) 12 เดือน

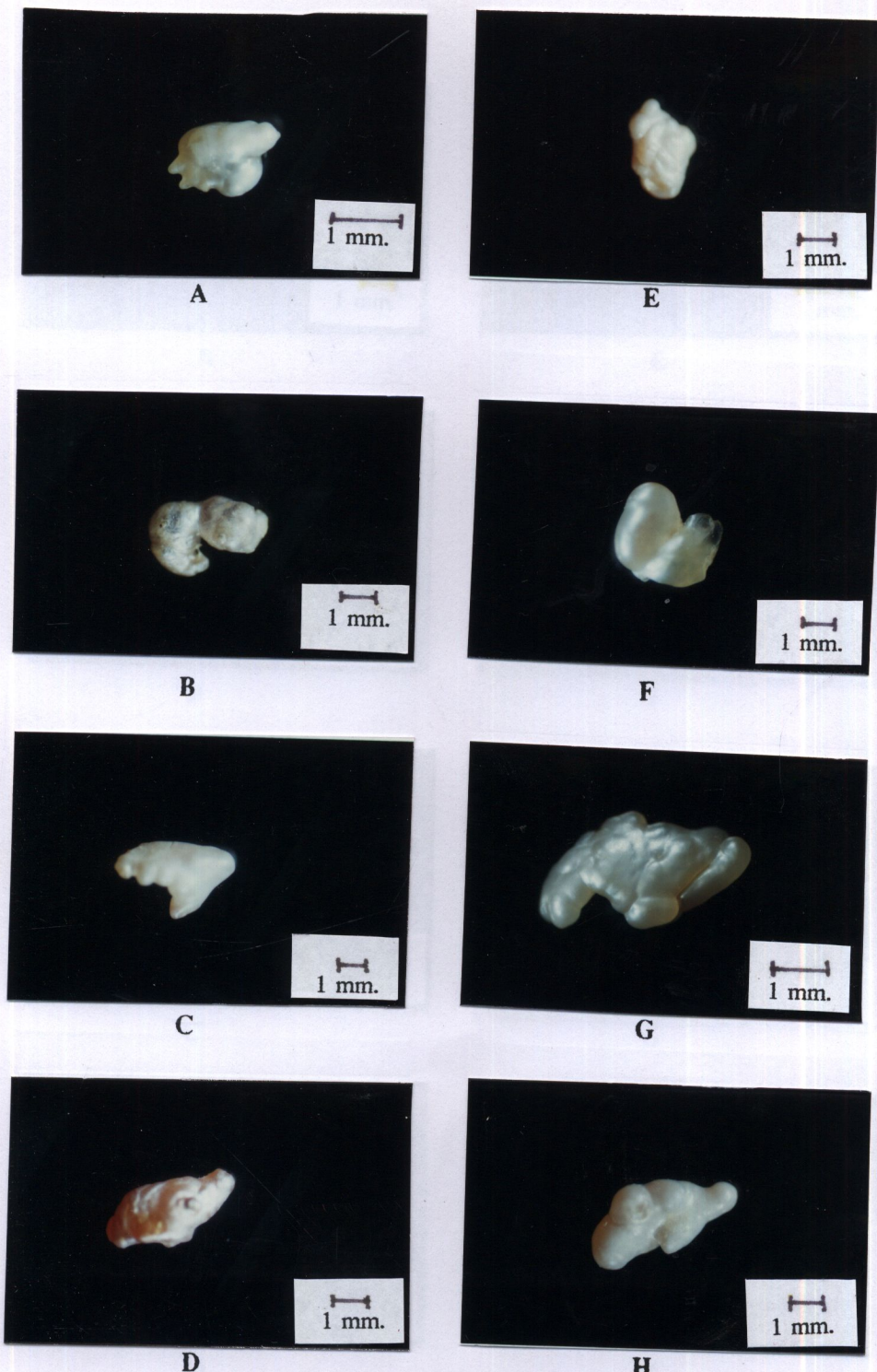
T2 : E (x20) 6 เดือน F (x20) 8 เดือน G (x15) 10 เดือน H (x15) 12 เดือน



รูปที่ 26 แสดงลักษณะไข่นุกในหอยมุก *H. (H.) bialatus* เมื่อปูกถ่ายด้วยชิ้นแมงเกลือรูปร่างสามเหลี่ยมค้านเท่า

T3 : A (x20) 6 เดือน B (x20) 8 เดือน C (x15) 10 เดือน D (x10) 12 เดือน

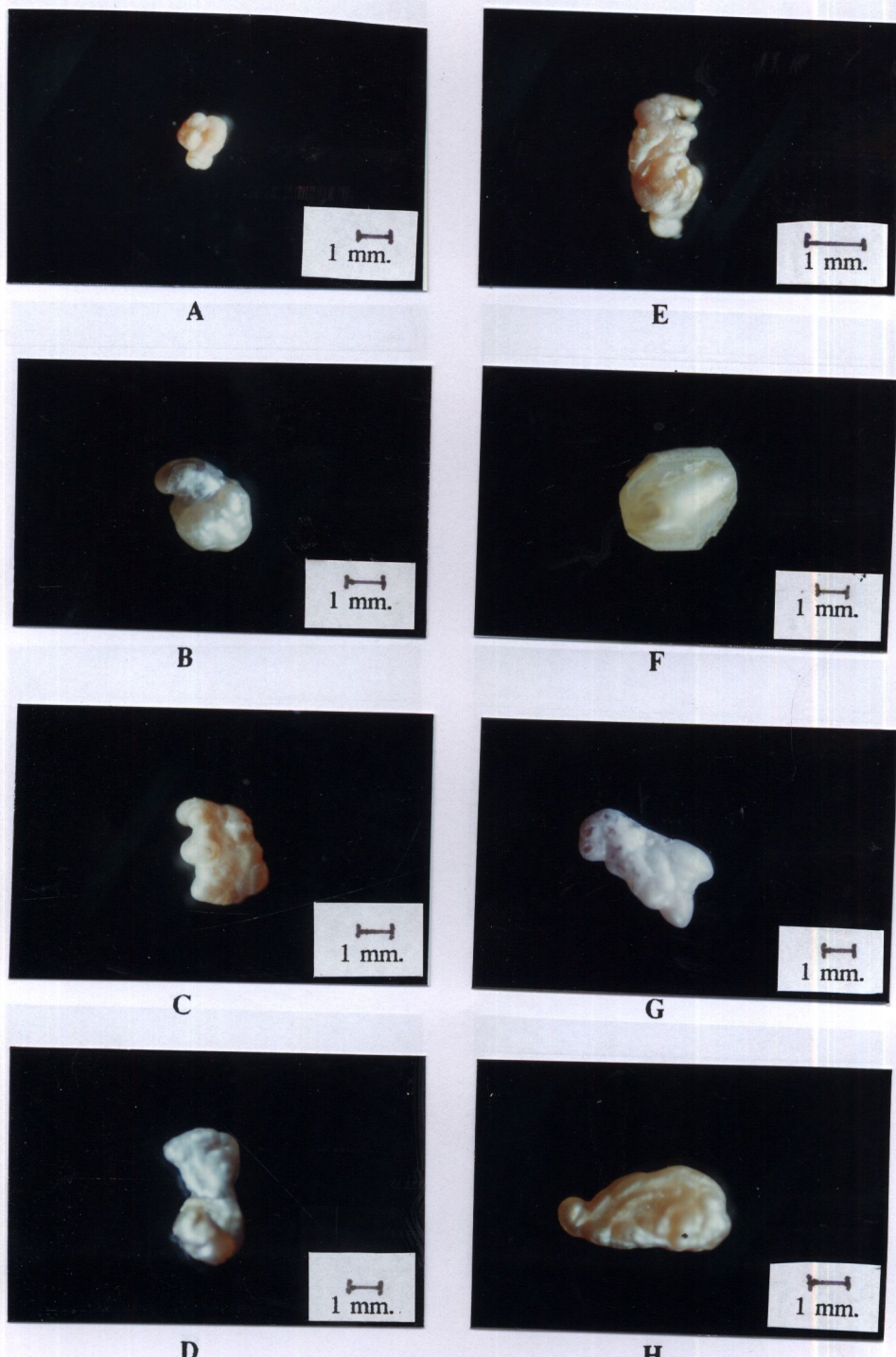
T4 : E (x20) 6 เดือน F (x15) 8 เดือน G (x10) 10 เดือน H (x10) 12 เดือน



รูปที่ 27 แสดงลักษณะไข่มูกในหอยมูก *H. (H.) bialatus* เมื่อปูกด้วยคัวยชินแม่นเกลือรูปร่างวงกลม

C1 : A (x20) 6 เดือน B (x20) 8 เดือน C (x15) 10 เดือน D (x15) 12 เดือน

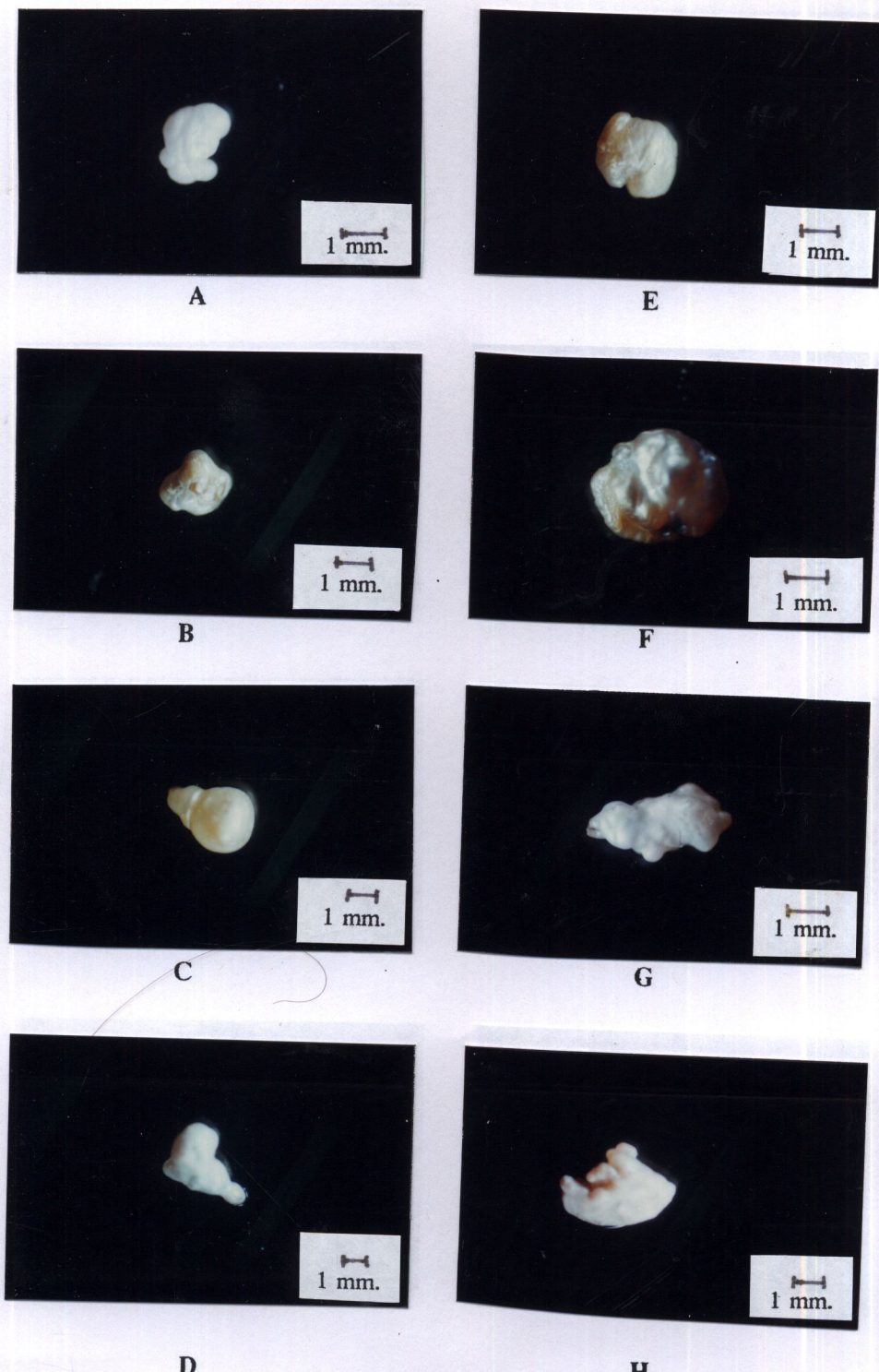
C2 : E (x20) 6 เดือน F (x20) 8 เดือน G (x15) 10 เดือน H (x15) 12 เดือน



รูปที่ 28 แสดงลักษณะไข่มุกในหอยมุก *H.(H.) bialatus* เมื่อปลูกด้วยดินเผา
รูปร่างวงกลม

C3 : A (x20) 6 เดือน B (x20) 8 เดือน C (x15) 10 เดือน D (x10) 12 เดือน

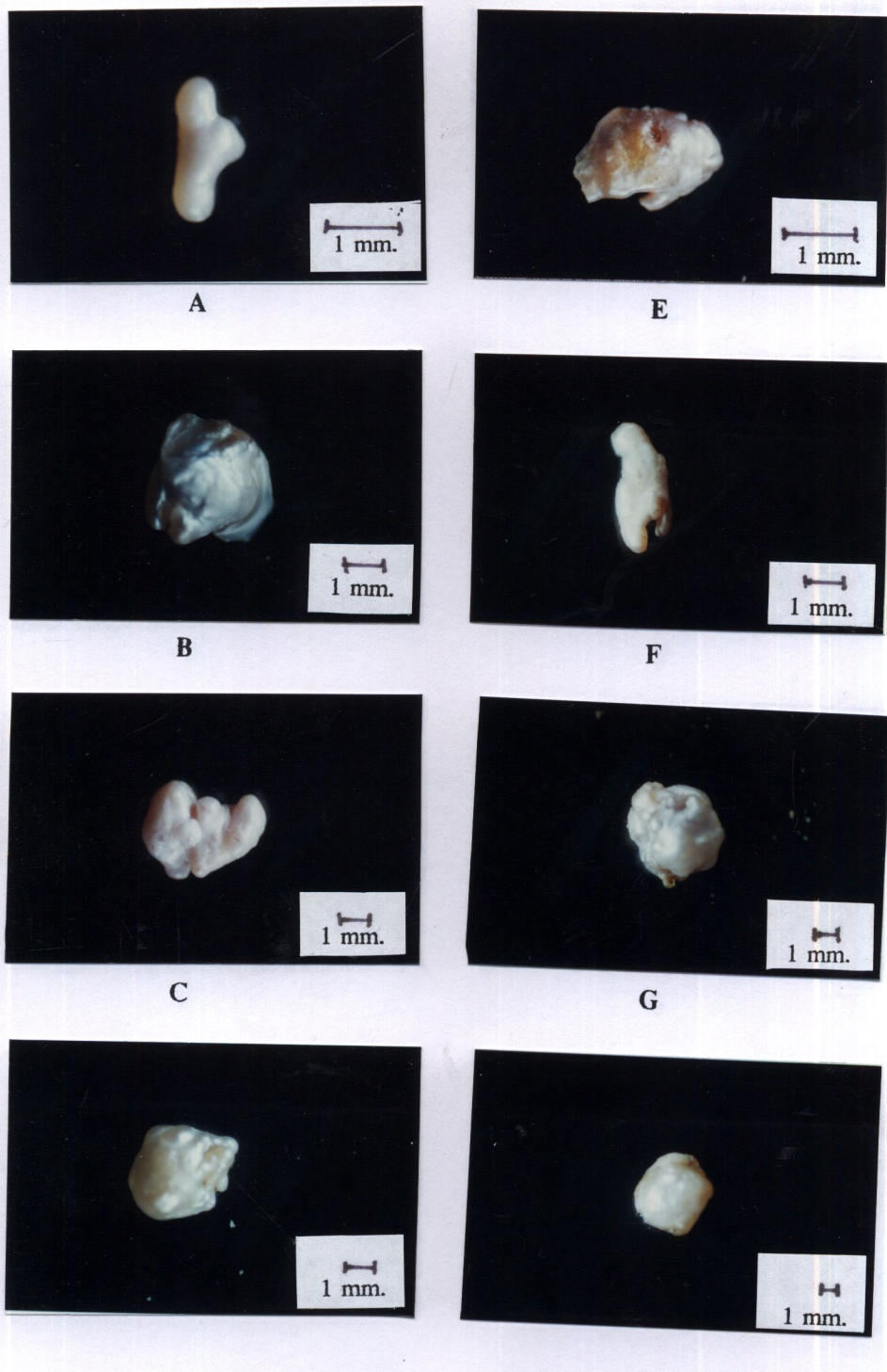
C4 : E (x20) 6 เดือน F (x15) 8 เดือน G (x10) 10 เดือน H (x10) 12 เดือน



รูปที่ 29 แสดงลักษณะไข่เม่นในหอยมุก *H. (H.) bialatus* เมื่อปักถ่ายด้วยชิ้นแม่นเกลือ รูปร่างสีเหลืองจุดรัส

S1 : A (x20) 6 เดือน B (x15) 8 เดือน C (x15) 10 เดือน D (x10) 12 เดือน

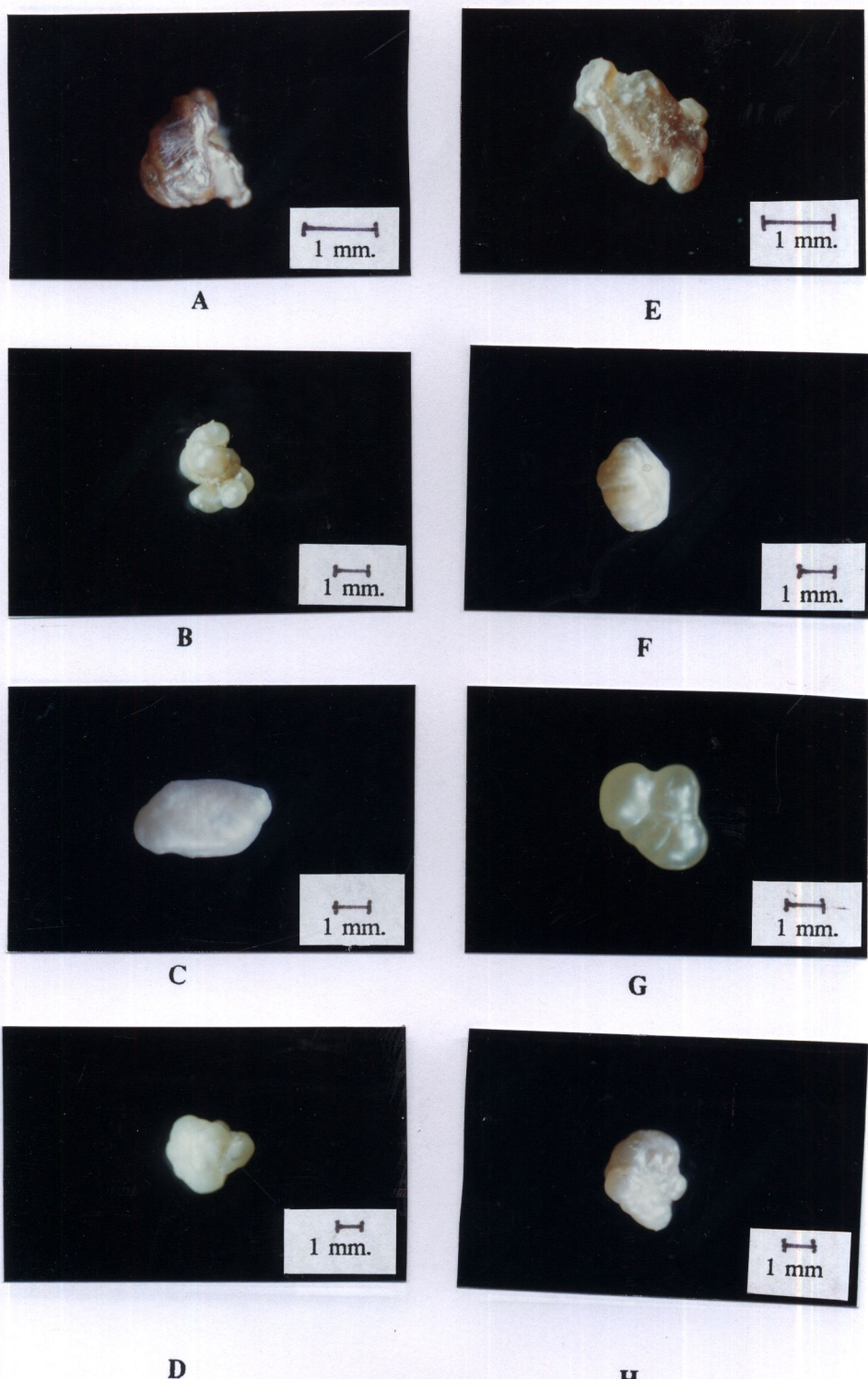
S2 : E (x20) 6 เดือน F (x15) 8 เดือน G (x15) 10 เดือน H (x10) 12 เดือน



รูปที่ 30 แสดงลักษณะไข่นุกในหอยนุก *H. (H.) bialatus* เมื่อปักกลถ่ายชั้นแม่นเกลิด รูปร่างสีเหลืองจดูรัส

S3 : A (x15) 6 เดือน B (x15) 8 เดือน C (x15) 10 เดือน D (x10) 12 เดือน

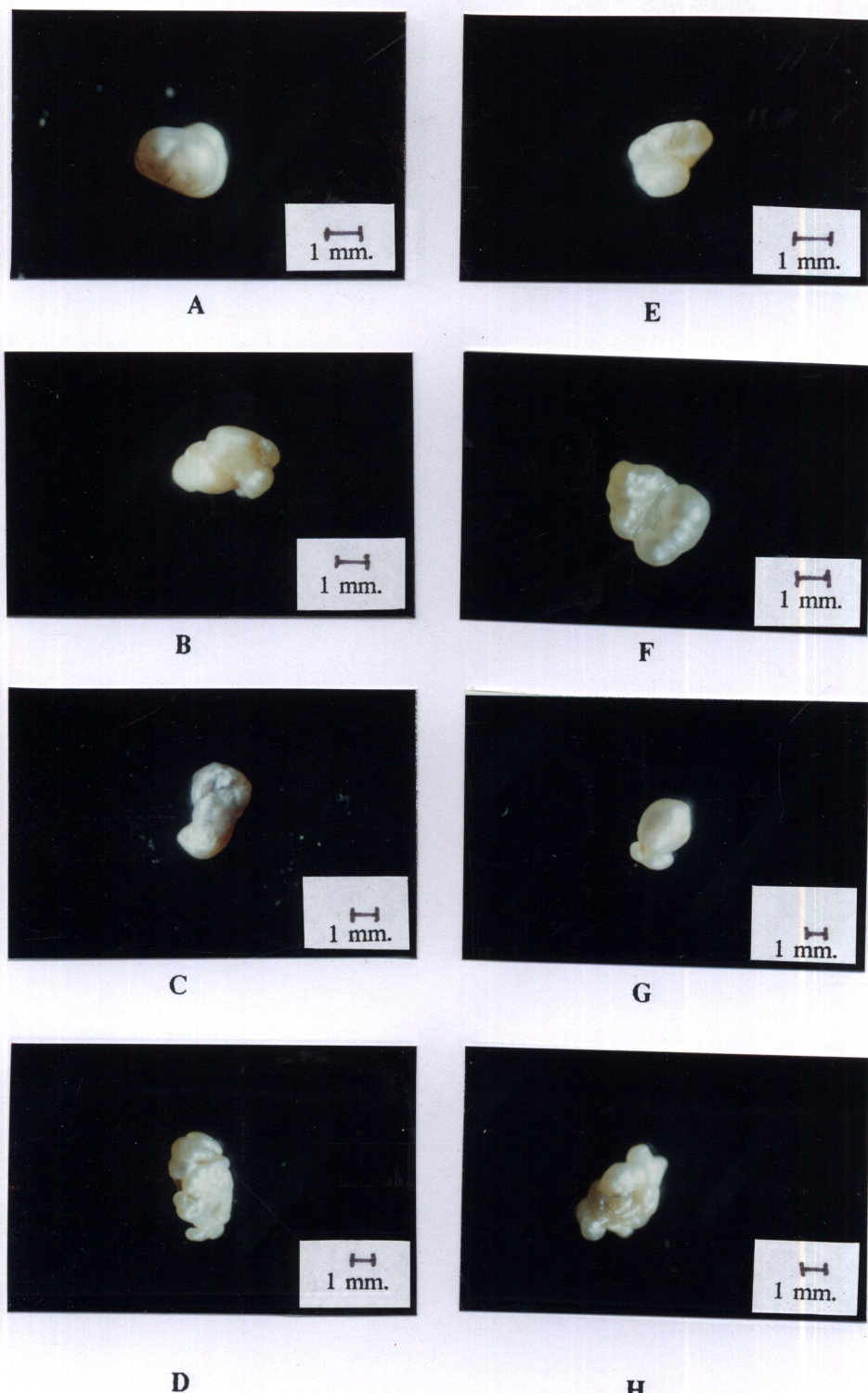
S4 : E (x15) 6 เดือน F (x15) 8 เดือน G (x10) 10 เดือน H (x10) 12 เดือน



รูปที่ 31 แสดงลักษณะไข่むกในหอยมุก *P.vondembuschianus ellipticus* เมื่อปลูกถ่าย ด้วยชิ้นแม่นเทิร์ปร่างสามเหลี่ยมด้านเท่า

T1 : A (x20) 6 เดือน B (x20) 8 เดือน C (x15) 10 เดือน D (x15) 12 เดือน

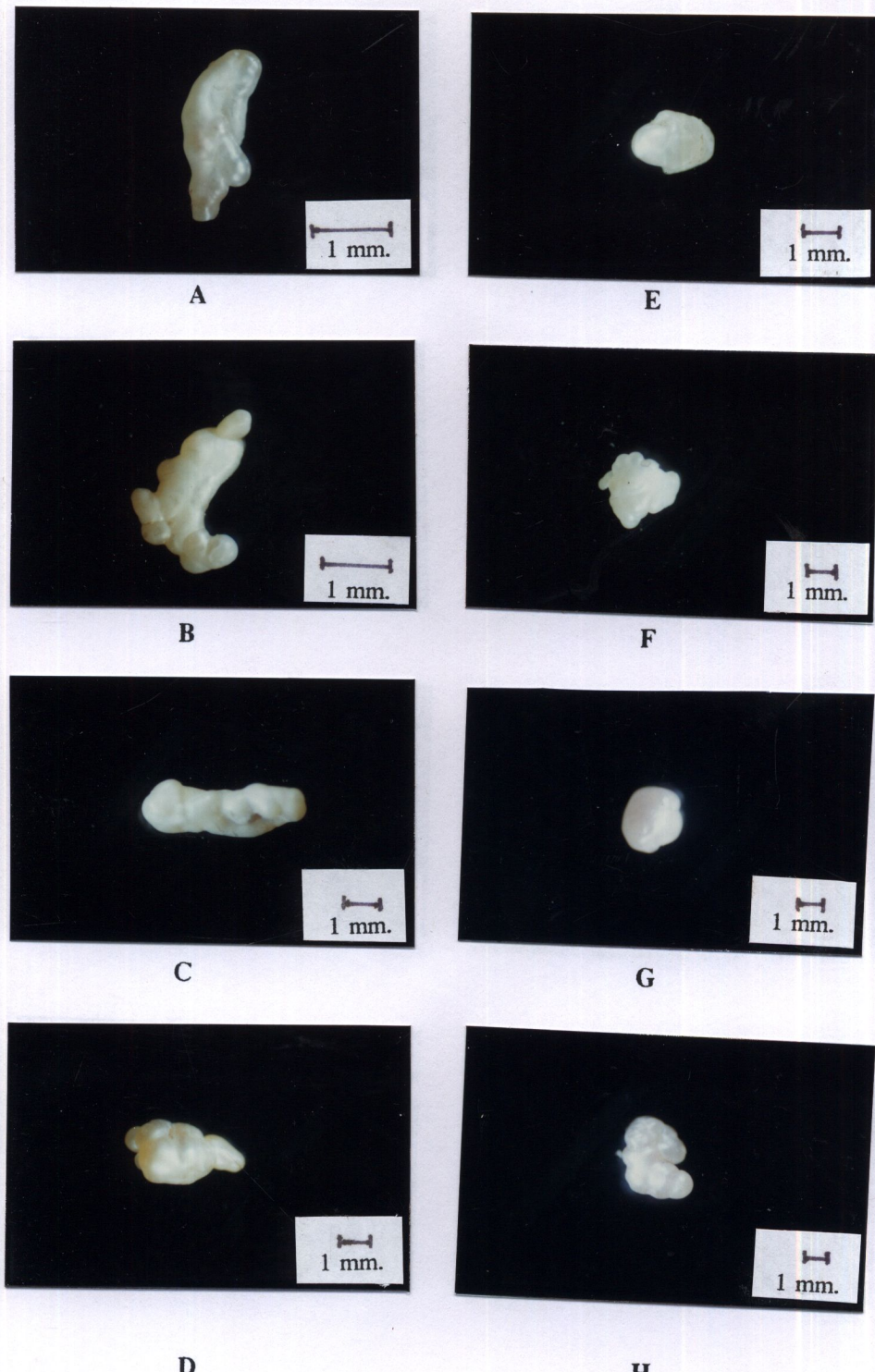
T2 : E (x20) 6 เดือน F (x20) 8 เดือน G (x15) 10 เดือน H (x15) 12 เดือน



รูปที่ 32 แสดงลักษณะไข่ในหอยมุก *P.vondembuschianus ellipticus* เมื่อปักถ่าย
ด้วยชิ้นแม่นเทิร์ปร่างสามเหลี่ยมด้านเท่า

T3 : A (x20) 6 เดือน B (x20) 8 เดือน C (x15) 10 เดือน D (x10) 12 เดือน

T4 : E (x20) 6 เดือน F (x15) 8 เดือน G (x10) 10 เดือน H (x10) 12 เดือน



รูปที่ 33 แสดงลักษณะไข่นุกในหอยนุก *P.vondembuschianus ellipticus* เมื่อปลูกค่าย
ด้วยชิ้นแม่นเทิร์ปร่างวงกลม

C1 : A (x20) 6 เดือน B (x20) 8 เดือน C (x15) 10 เดือน D (x15) 12 เดือน

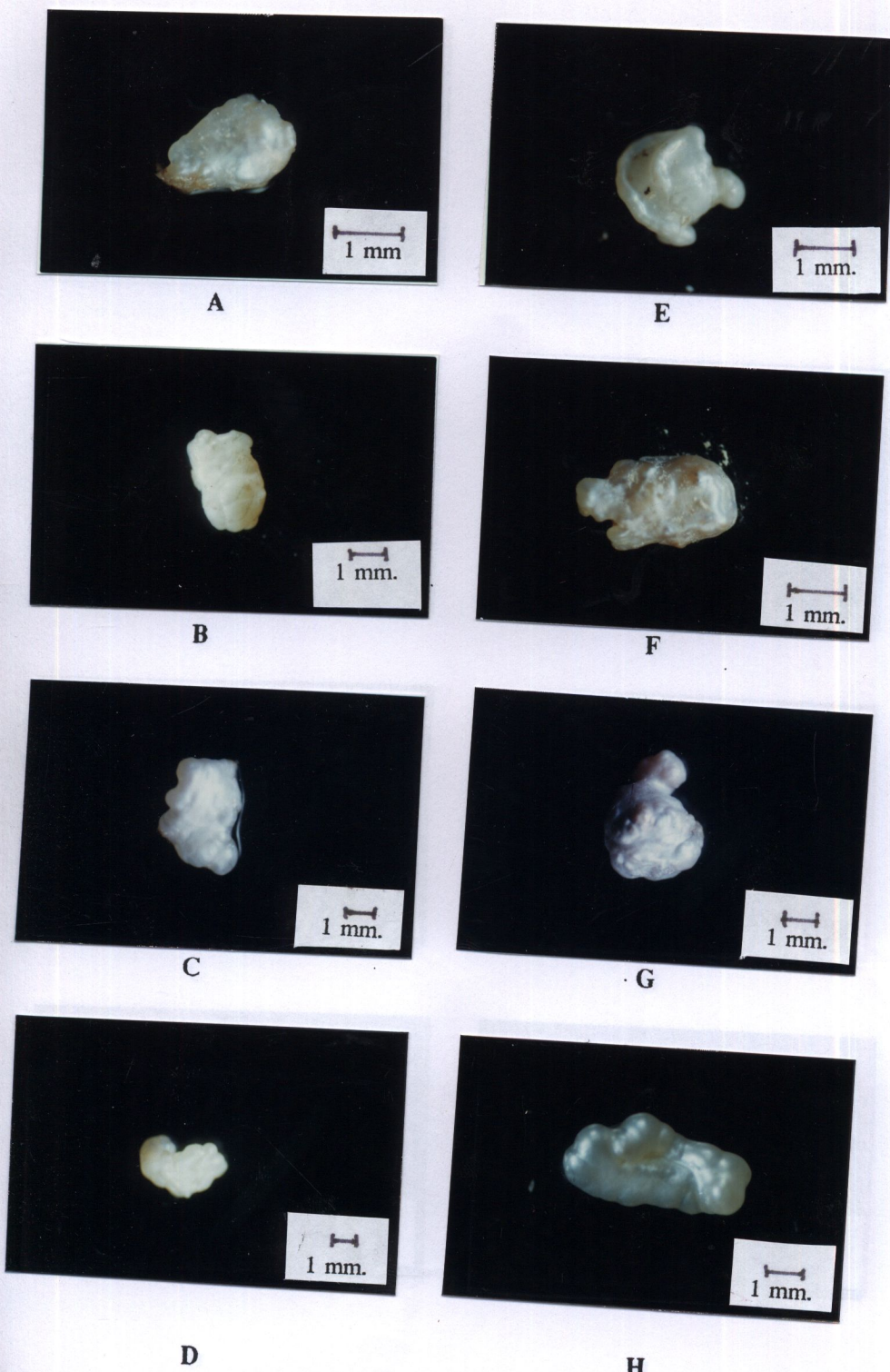
C2 : E (x20) 6 เดือน F (x20) 8 เดือน G (x15) 10 เดือน H (x15) 12 เดือน



รูปที่ 34 แสดงลักษณะไข่เม่นในหอยเม่น *P.vondembuschianus ellipticus* เมื่อปลูกถ่ายด้วยชิ้นแม่นเทิร์ปร่างวงกลม

C3 : A (x20) 6 เดือน B (x20) 8 เดือน C (x15) 10 เดือน D (x10) 12 เดือน

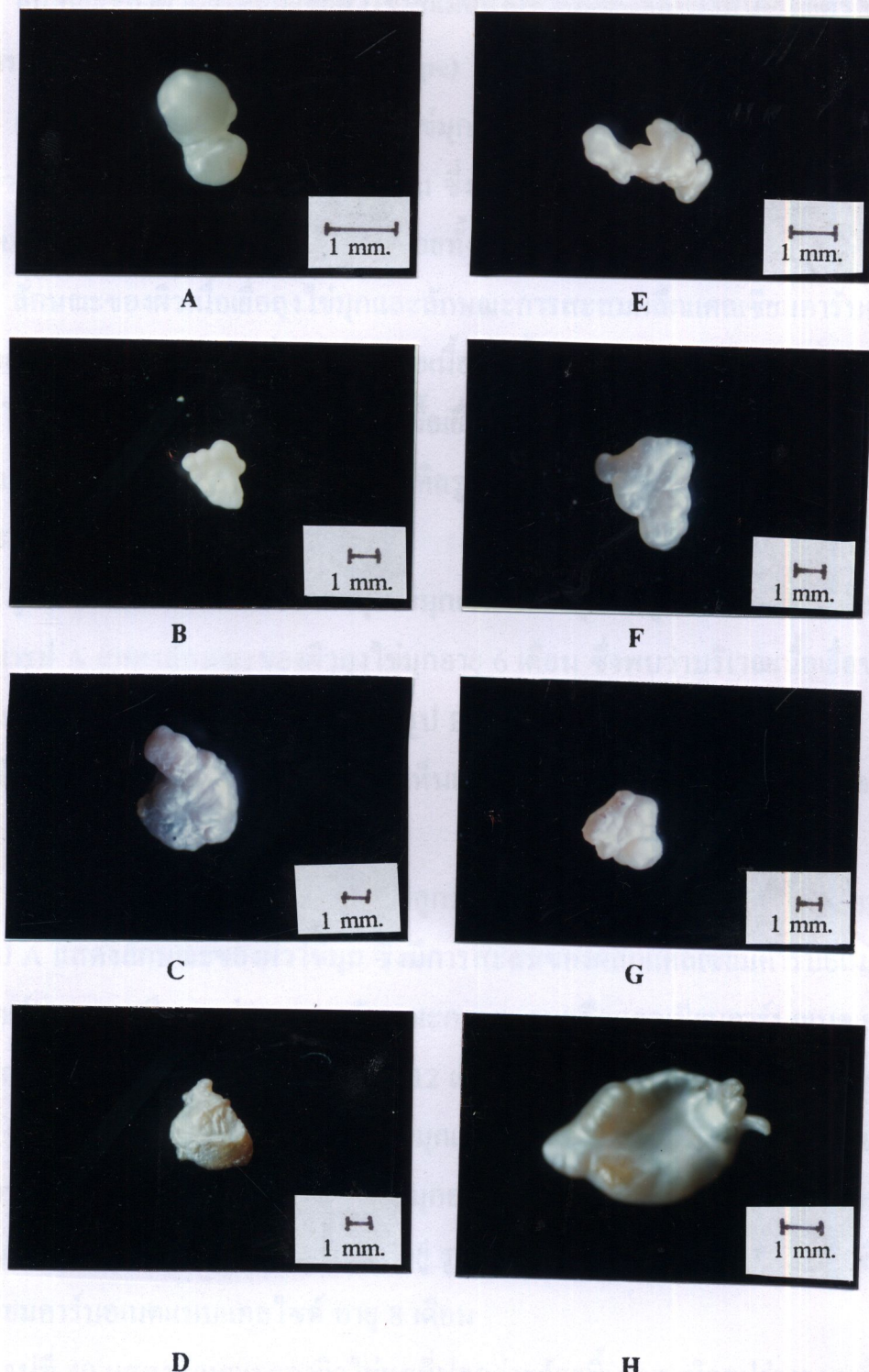
C4 : E (x20) 6 เดือน F (x15) 8 เดือน G (x10) 10 เดือน H (x10) 12 เดือน



เจริญเติบโตของไข่ในหอยมุก *P.vondembuschianus ellipticus* เมื่อปลูกถ่าย
ด้วยชิ้นแม่นเทิร์ปปร่างสีเหลี่ยมๆ ครั้งต่อครั้ง

: A (x20) 6 เดือน B (x15) 8 เดือน C (x15) 10 เดือน D (x10) 12 เดือน

: E (x20) 6 เดือน F (x15) 8 เดือน G (x15) 10 เดือน H (x10) 12 เดือน



รูปที่ 36 แสดงลักษณะไข่มุกในหอยมุก *P.vondembuschianus ellipticus* เมื่อปลูกถ่ายด้วยชิ้นแม่นเทิร์ปร่างสีเหลืองครัวส์

S3 : A (x15) 6 เดือน B (x15) 8 เดือน C (x15) 10 เดือน D (x10) 12 เดือน

S4 : E (x15) 6 เดือน F (x15) 8 เดือน G (x10) 10 เดือน H (x10) 12 เดือน

ลักษณะของผิวถุงไข่มุกและผิวไข่มุกเมื่อถ่ายด้วยกล้องจุลทรรศน์อิเล็กตรอนแบบส่อง粒粒 (Scanning electron microscope)

แสดงให้เห็นถึงลักษณะเนื้อเยื่อถุงไข่มุกและลักษณะผลึกแคลเซียมคาร์บอนเนตของผิวไข่มุกอายุ 6 , 8 , 10 และ 12 เดือน ซึ่งลักษณะของผิวไข่มุกและผลึกแคลเซียมคาร์บอนเนตจะมีลักษณะที่แตกต่างกันในหอยทั้งสองชนิด

ลักษณะของผิวนៅเยื่อถุงไข่มุกและลักษณะการสะสมผลึกแคลเซียมคาร์บอนเนตในหอยมุก *H.(H.) bivalvis* ที่ปลูกถ่ายด้วยเนื้อเยื่อชิ้นแม่นเทิลรูปปรางสามเหลี่ยมด้านเท่า แสดงโดยรูปที่ 37 และ 38 ปลูกถ่ายด้วยเนื้อเยื่อชิ้นแม่นเทิลรูปปรางวงกลมแสดงโดยรูปที่ 39 และ 40 ปลูกถ่ายด้วยเนื้อเยื่อชิ้นแม่นเทิลรูปปรางสี่เหลี่ยมจตุรัสแสดงโดยรูปที่ 41 และ 42

รูปที่ 37 แสดงลักษณะของผิวถุงไข่มุกและผิวไข่มุกที่ปลูกถ่ายด้วยชิ้นแม่นเทิลด้านเท่ารูป A แสดงลักษณะของผิวถุงไข่มุกอายุ 6 เดือน ซึ่งพบว่าบริเวณเนื้อเยื่อของถุงไข่มุกจะมีแคลเซียมคาร์บอนเตสะสมอยู่ รูป B แสดงลักษณะการสะสมของผลึกแคลเซียมคาร์บอนเนตแบบแคลไซด์ อายุ 8 เดือน

รูปที่ 38 แสดงลักษณะผิวไข่มุกที่ปลูกถ่ายด้วยชิ้นแม่นเทิลรูปปรางสามเหลี่ยมด้านเท่า รูป A แสดงลักษณะของผิวไข่มุก ซึ่งมีการสะสมของผลึกแคลเซียมคาร์บอนเนตแบบแคลไซด์ อายุ 10 เดือน รูป B แสดงลักษณะการสะสมผลึกแคลเซียมคาร์บอนเนตแบบอา拉โกไนต์ ผลึกมีลักษณะเป็นแผ่น อายุ 12 เดือน ซึ่งจะมีความมันและความมากขึ้น

รูปที่ 39 แสดงลักษณะของผิวถุงไข่มุกและผิวไข่มุกที่ปลูกถ่ายด้วยชิ้นแม่นเทิลรูปปรางวงกลม รูป A ลักษณะของผิวถุงไข่มุกอายุ 6 เดือน ซึ่งพบว่าบริเวณเนื้อเยื่อของถุงไข่มุก จะมีแคลเซียมคาร์บอนเตสะสมอยู่ รูป B แสดงลักษณะการสะสมของผลึกแคลเซียมคาร์บอนเนตแบบแคลไซด์ อายุ 8 เดือน

รูปที่ 40 แสดงลักษณะของผิวไข่มุกที่ปลูกถ่ายด้วยชิ้นแม่นเทิลรูปปรางวงกลม รูป A แสดงลักษณะการสะสมของผลึกแคลเซียมคาร์บอนเนตแบบแคลไซด์ อายุ 10 เดือน รูป B แสดงลักษณะการสะสมผลึกแคลเซียมคาร์บอนเนตแบบอา拉โกไนต์ อายุ 12 เดือน

รูปที่ 41 แสดงลักษณะของผิวถุงไข่นุกและผิวไข่นุกที่ปลูกถ่ายด้วยชิ้นแม้นเทิดรูปร่างสีเหลืองจครัส รูป A ลักษณะของผิวถุงไข่นุกอายุ 6 เดือน รูป B ลักษณะของผิวไข่นุก อายุ 8 เดือน

รูปที่ 42 แสดงลักษณะของผิวถุงไข่นุกที่ปลูกถ่ายด้วยชิ้นแม้นเทิดรูปร่างสีเหลืองจครัส รูป A ลักษณะผิวไข่นุกอายุ 10 เดือน รูป B ลักษณะผิวไข่นุกอายุ 12 เดือน

ลักษณะของผิวนี้อ่อนถุงไข่นุกและลักษณะการสะสมผลึกแคลเซียมคาร์บอนे�ตในหอยนุก *P.vondembuschianus ellipticus* ที่ปลูกถ่ายด้วยเนื้อยื่นแม้นเทิดรูปร่างสามเหลี่ยมด้านเท่าแสดงโดยรูปที่ 43 และ 44 ปลูกถ่ายด้วยเนื้อยื่นแม้นเทิดรูปร่างวงกลมแสดงโดยรูปที่ 45 และ 46 ปลูกถ่ายด้วยเนื้อยื่นแม้นเทิดรูปร่างสีเหลืองจครัสแสดงโดยรูปที่ 47 และ 48

รูปที่ 43 แสดงลักษณะของผิวถุงไข่นุกและผิวไข่นุกที่ปลูกถ่ายด้วยชิ้นแม้นเทิดรูปร่างสามเหลี่ยมด้านเท่า รูป A ลักษณะของผิวถุงไข่นุก อายุ 6 เดือน ซึ่งพบว่าบริเวณเนื้อยื่นของถุงไข่นุกจะมีแคลเซียมคาร์บอนे�ตสะสมอยู่ รูป B แสดงลักษณะผิวไข่นุกซึ่งมีการสะสมผลึกแคลเซียมคาร์บอนे�ตแบบแคลไซด์ อายุ 8 เดือน

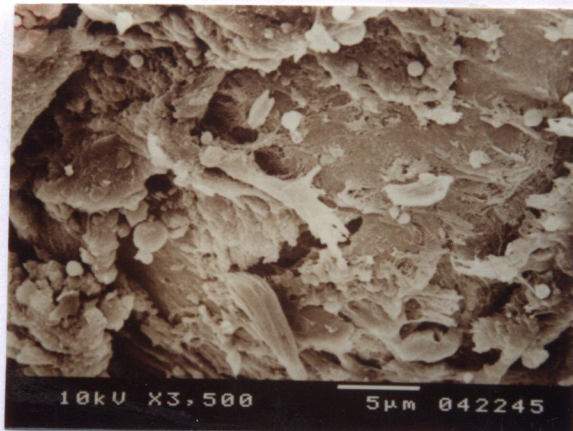
รูปที่ 44 แสดงลักษณะของผิวไข่นุกที่ปลูกถ่ายด้วยชิ้นแม้นเทิดรูปร่างสามเหลี่ยมด้านเท่า รูป A แสดงลักษณะผิวไข่นุก ซึ่งมีการสะสมแคลเซียมคาร์บอนे�ตแบบแคลไซด์ อายุ 10 เดือน รูป B แสดงลักษณะการสะสมผลึกแคลเซียมคาร์บอนे�ตแบบ Araigoïnict อายุ 12 เดือน

รูปที่ 45 แสดงลักษณะของผิวถุงไข่นุกและผิวไข่นุกที่ปลูกถ่ายด้วยชิ้นแม้นเทิดรูปร่างวงกลม รูป A ลักษณะของผิวถุงไข่นุก อายุ 6 เดือน ซึ่งพบว่าบริเวณเนื้อยื่นของถุงไข่นุกจะมีแคลเซียมคาร์บอนे�ตสะสมอยู่ รูป B แสดงลักษณะผิวไข่นุก ซึ่งมีการสะสมของผลึกแคลเซียมคาร์บอนे�ตแบบแคลไซด์ อายุ 8 เดือน

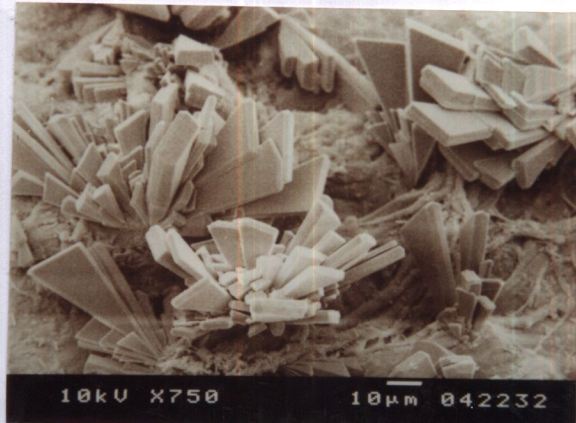
รูปที่ 46 แสดงลักษณะของผิวไข่นุกที่ปลูกถ่ายด้วยชิ้นแม้นเทิดรูปร่างวงกลม รูป A แสดงลักษณะของผิวไข่นุก ซึ่งมีการสะสมแคลเซียมคาร์บอนे�ตแบบแคลไซด์ อายุ 10 เดือน รูป B แสดงลักษณะการสะสมผลึกแคลเซียมคาร์บอนे�ตแบบ Araigoïnict อายุ 12 เดือน

รูปที่ 47 แสดงลักษณะของผิวถุงไข่นูกและผิวไข่นูกที่ปลูกถ่ายด้วยชิ้นแม่นเทิลรปร่างสีเหลืองจตุรัส รูป A ลักษณะผิวถุงไข่นูกอายุ 6 เดือน รูป B ลักษณะผิวไข่นูกอายุ 8 เดือน

รูปที่ 48 แสดงลักษณะของผิวไข่นูกที่ปลูกถ่ายด้วยชิ้นแม่นเทิลรปร่างสีเหลืองจตุรัส รูป A ลักษณะของผิวไข่นูก อายุ 10 เดือน รูป B ลักษณะของผิวไข่นูก อายุ 12 เดือน



A

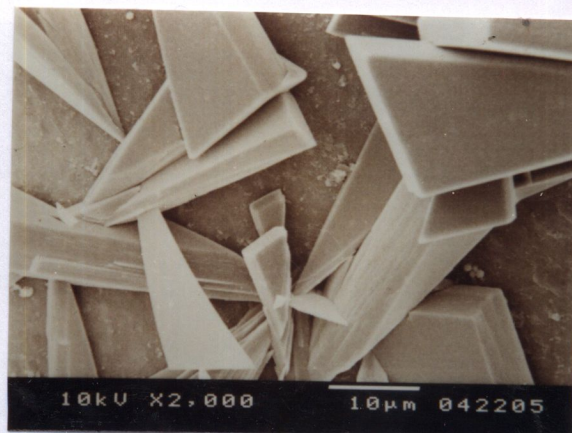


B

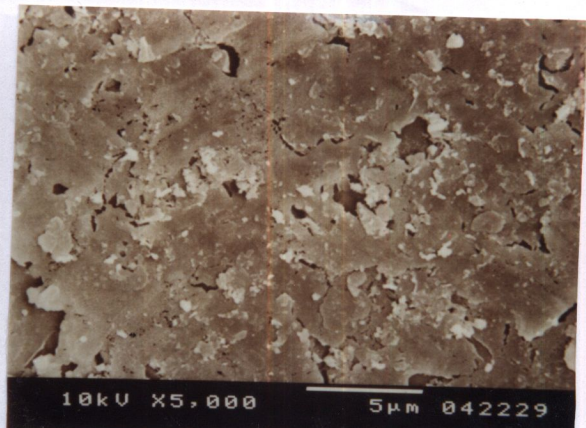
รูปที่ 37 แสดงลักษณะของผิวถุงไข่นมกและผิวไข่นมกในหอยนมก *H. (H.) bialatus* เมื่อปักกลถ่ายด้วยชิ้นแมนเกิลรูปร่างสามเหลี่ยมด้านเท่า

A = 6 เดือน

B = 8 เดือน



A

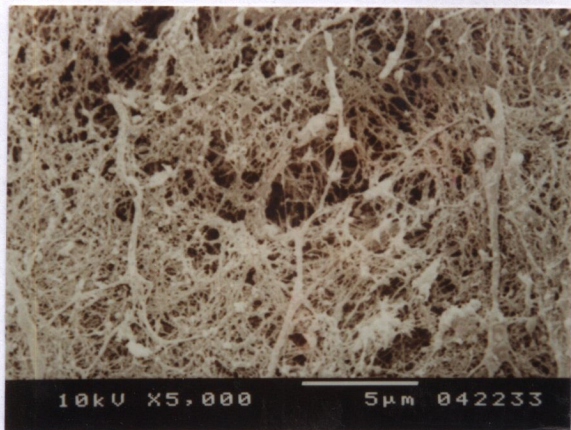


B

รูปที่ 38 แสดงลักษณะของผิวไข่นมกในหอยนมก *H. (H.) bialatus* เมื่อปักกลถ่ายด้วยชิ้นแมนเกิลรูปร่างสามเหลี่ยมด้านเท่า

A = 10 เดือน

B = 12 เดือน



A

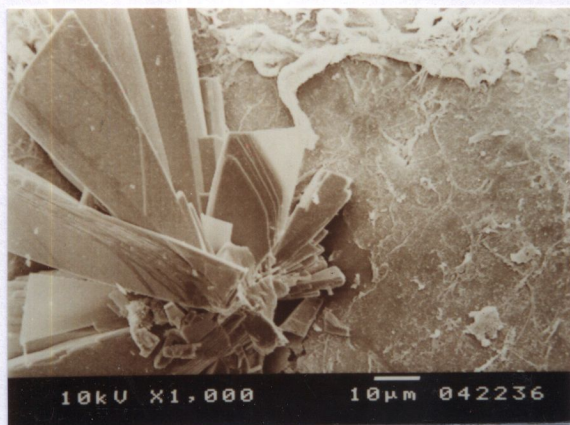


B

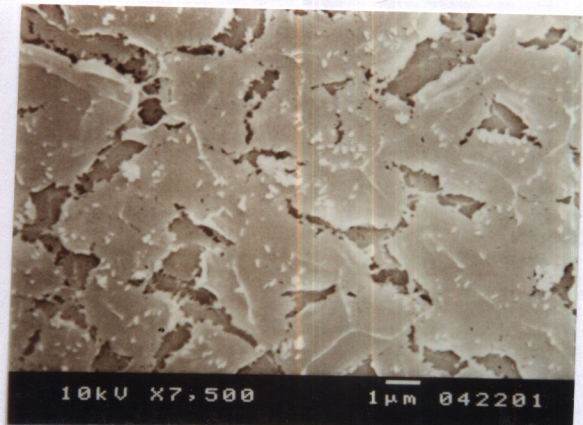
รูปที่ 39 แสดงลักษณะของผิวถุงไข่นุกและผิวไข่นุกในหอยนุก *H.(H.) bialatus* เมื่อปลูกถ่ายด้วยชิ้นแมนเทลรูปร่างสามวงกลม

A = 6 เดือน

B = 8 เดือน



A



B

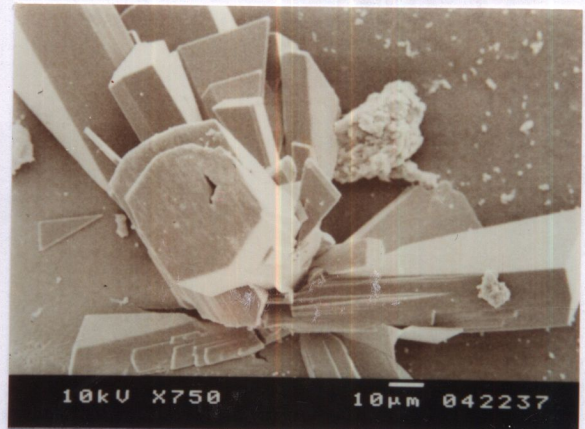
รูปที่ 40 แสดงลักษณะของผิวไข่นุกในหอยนุก *H.(H.) bialatus* เมื่อปลูกถ่ายด้วยชิ้นแมนเทลรูปร่างสามวงกลม

A = 10 เดือน

B = 12 เดือน



A

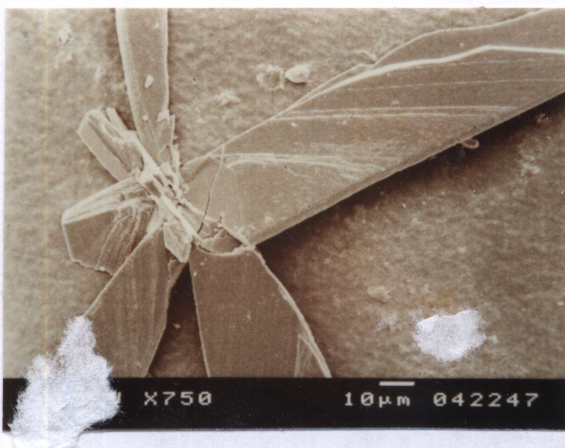


B

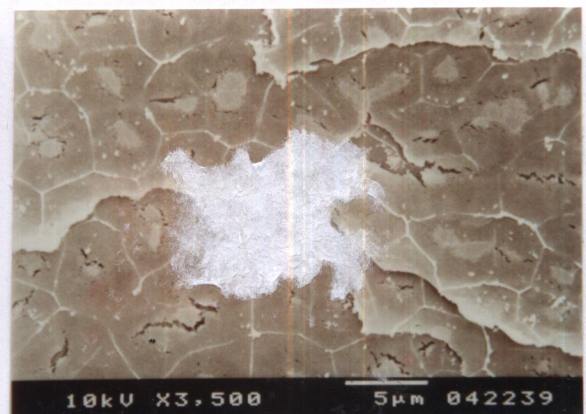
รูปที่ 41 แสดงลักษณะของผิวถุงไข่นกและผิวไข่นกในหอยนก *H.(H.) bialatus* เมื่อปูกถ่ายด้วยชิ้นแม่นเทิลรอยปร่างสีเหลี่ยมจตุรัส

A = 6 เดือน

B = 8 เดือน



A



B

รูปที่ 42 แสดงลักษณะของผิวไข่นกในหอยนก *H.(H.) bialatus* เมื่อปูกถ่ายด้วยชิ้นแม่นเทิลรอยปร่างสีเหลี่ยมจตุรัส

A = 10 เดือน

B = 12 เดือน



A

B

รูปที่ 43 แสดงลักษณะของผิวถุงไข่นูกและผิวไข่นูกในหอยนูก *P.vondembuschianus ellipticus* เมื่อปลูกถ่ายด้วยชิ้นแม่นเทิร์พร่างสามเหลี่ยมค้านเท่า

A = 6 เดือน

B = 8 เดือน



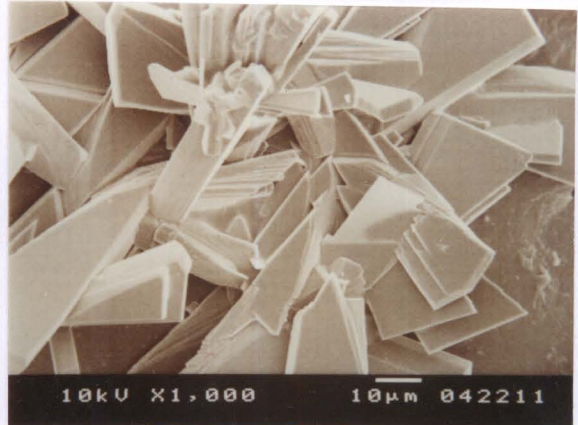
A

B

รูปที่ 44 แสดงลักษณะของผิวไข่นูกในหอยนูก *P.vondembuschianus ellipticus* เมื่อปลูกถ่ายด้วยชิ้นแม่นเทิร์พร่างสามเหลี่ยมค้านเท่า

A = 10 เดือน

B = 12 เดือน



A

B

รูปที่ 45 แสดงลักษณะของผิวถุงไข่นกและผิวไข่นกในหอยนก *P.vondembuschianus ellipticus* เมื่อปลูกถ่ายด้วยชิ้นแม่นเทลูรูปร่างวงกลม

A = 6 เดือน

B = 8 เดือน



A

B

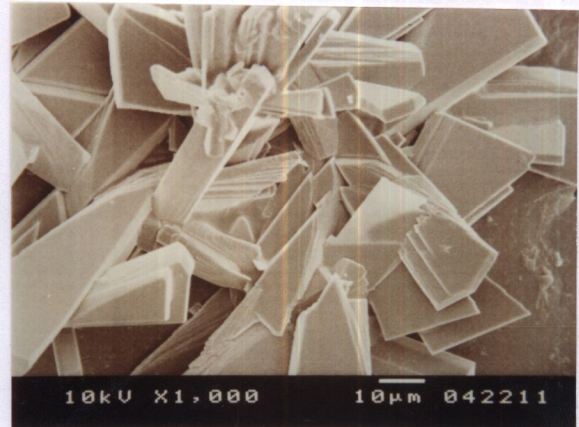
รูปที่ 46 แสดงลักษณะของผิวไข่นกในหอยนก *P.vondembuschianus ellipticus* เมื่อปลูกถ่ายด้วยชิ้นแม่นเทลูรูปร่างวงกลม

A = 10 เดือน

B = 12 เดือน



A



B

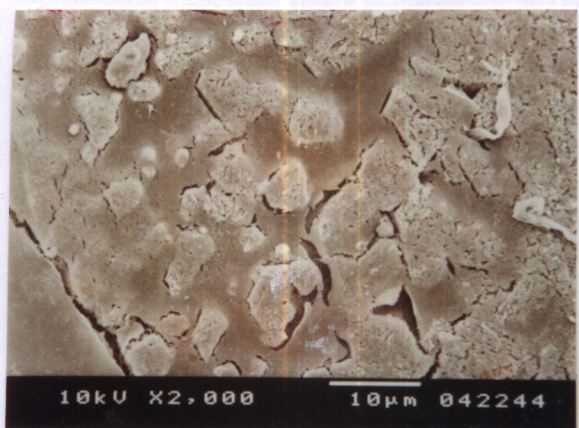
รูปที่ 45 แสดงลักษณะของผิวถุงไข่นุกและผิวไข่นุกในหอยนุก *P.vondembuschianus ellipticus* เมื่อปลูกถ่ายด้วยชิ้นแม่นเทิลรูปร่างวงกลม

A = 6 เดือน

B = 8 เดือน



A



B

รูปที่ 46 แสดงลักษณะของผิวไข่นุกในหอยนุก *P.vondembuschianus ellipticus* เมื่อปลูกถ่ายด้วยชิ้นแม่นเทิลรูปร่างวงกลม

A = 10 เดือน

B = 12 เดือน



A



B

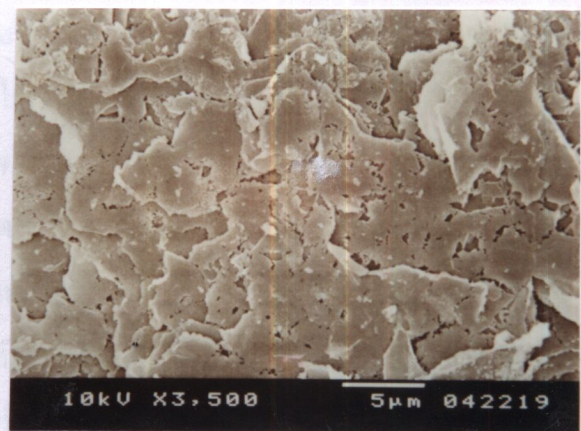
รูปที่ 47 แสดงลักษณะของผิวนุ่งไข่นุกและผิวไข่นุกในหอยนุก *P.vondembuschianus ellipticus* เมื่อปลูกถ่ายด้วยชิ้นแม่นเทิลรูปร่างสีเหลืองจตุรัส

A = 6 เดือน

B = 8 เดือน



A



B

รูปที่ 48 แสดงลักษณะของผิวนุ่งไข่นุกในหอยนุก *P.vondembuschianus ellipticus* เมื่อปลูกถ่ายด้วยชิ้นแม่นเทิลรูปร่างสีเหลืองจตุรัส

A = 10 เดือน

B = 12 เดือน

บทที่ 5

อภิปรายผลการทดลอง

จากผลการศึกษาการสร้างไข่มุกของหอยมุกน้ำจืด *Hyriopsis (Hyriopsis) bialatus* และ *Pseudodon vondembuschianus ellipticus* เมื่อปลูกถ่ายด้วยชิ้นแม่นเทล รูปร่างและขนาดต่าง ๆ พบร่วงหลังจากที่ทำการปลูกถ่ายชิ้นเนื้อเยื่อแม่นเทลเข้าไป 15 วัน จะเกิดเป็นถุงไข่มุกขึ้นมา แสดงว่าในกระบวนการสร้างถุงไข่มุกเสร็จสมบูรณ์ จะใช้เวลาอยู่กว่า 15 วัน และพบว่าเปอร์เซนต์การเกิดถุงไข่มุกของหอยมุก *H.(H.) bialatus* ที่ปลูกถ่ายด้วยชิ้นแม่นเทลรูปร่างวงกลมขนาด C4 จะมีเปอร์เซนต์การเกิดถุงไข่มุกมากสุด (81%) และที่ปลูกถ่ายด้วยชิ้นแม่นเทลรูปร่างสามเหลี่ยมด้านเท่าขนาด T1 และรูปร่างวงกลมขนาด C2 จะมีเปอร์เซนต์การเกิดถุงไข่มุกต่ำสุด (71%) สำหรับหอยมุก *P. vondembuschianus ellipticus* มีเปอร์เซนต์การเกิดถุงไข่มุกสูงสุด (86%) จากการปลูกถ่ายด้วยชิ้นแม่นเทลรูปร่างวงกลมขนาด C4 และรูปร่างสี่เหลี่ยมจตุรัส ขนาด S4 ส่วนที่ปลูกถ่ายด้วยชิ้นแม่นเทลรูปร่างสามเหลี่ยมด้านเท่าขนาด T1 มีเปอร์เซนต์การเกิดถุงไข่มุกต่ำสุด (74%)

เปอร์เซนต์การเกิดถุงไข่มุกเมื่อใช้ชิ้นแม่นเทลรูปร่างและขนาดต่าง ๆ กัน จะมีความแตกต่างกัน โดยในแต่ละรูปร่างเมื่อใช้ชิ้นแม่นเทลที่มีขนาดใหญ่ขึ้นจะทำให้เปอร์เซนต์การเกิดถุงไข่มุกสูงขึ้น แต่จะมีผลต่อเปอร์เซนต์การตายโดยเมื่อใช้ชิ้นแม่นเทลที่มีขนาดใหญ่ขึ้น จะทำให้เปอร์เซนต์การตายสูงขึ้น เนื่องจากการใช้ชิ้นแม่นเทลขนาดใหญ่ในบางครั้งของขั้นตอนการปลูกถ่ายอาจจะไปคัดเนื้อเยื่อแม่นเทลของหอยที่เป็นโขสทับบริเวณที่ปลูกถ่ายเกิดแพลงที่ใหญ่หรือฉีกขาดหรืออว่าวชิ้นแม่นเทลที่มีขนาดใหญ่มาก ๆ อาจจะไม่สามารถเจริญได้ดีในบริเวณหรือที่จำกัดในแม่นเทลของโขสที่จึงส่งผลให้เกิดการตายของเนื้อเยื่อแม่นเทลและการตายของหอยที่เป็นโขสที่ใหญ่ในที่สุด จากการศึกษาครั้งนี้ยังไม่พบตัวเลขจำกัดของขนาดของชิ้นแม่นเทลที่ปลูกถ่ายที่เหมาะสมซึ่งเรื่องนี้จะได้ทำการวิจัยในโอกาสต่อไป และเมื่อเปรียบเทียบเปอร์เซนต์การเกิดถุงไข่มุกในหอยมุกทั้งสองชนิด จะพบว่าในหอยมุก *P. vondembuschianus ellipticus* จะมีเปอร์เซนต์การเกิดถุงไข่มุกสูงกว่าหอยมุก *H. bialatus* ประมาณ 10% ซึ่งแสดงว่าหอยมุก *P. vondembuschianus ellipticus* สามารถสร้างถุงไข่มุกได้ดีกว่าหอยมุก *H. bialatus* ในการทดลองครั้งนี้

เห็นต์การเกิดถุงไบ์มุกสูงกว่าในหอยมุก *H. bialatus* ซึ่งสาเหตุอาจมาจากลักษณะของเนื้อเยื่อแม่นเทิลของหอยตัวรับ โดยพบว่าในหอยมุก *P. vondembuschianus ellipticus* จะมีเนื้อเยื่อแม่นเทิลที่มีความเหนียว ทำให้ง่ายต่อการปูกถ่ายซึ่งเนื้อเยื่อแม่นเทิลจึงทำให้เกิดบาดแผลเพียงเล็กน้อยหลังจากปูกถ่าย

ปัจจัยสำคัญที่มีผลต่อการเกิดถุงไบ์มุกได้แก่ขนาดของชิ้นแม่นเทิลที่ทำการปูกถ่าย ขนาดหรืออายุของหอยที่นำมาปูกถ่ายซึ่งแม่นเทิลรวมทั้งความสะอาดความรวดเร็วในขั้นตอนการปูกถ่ายและความสมบูรณ์ของเนื้อเยื่อชิ้นแม่นเทิลที่ปูกถ่ายก็มีผลต่อการเกิดถุงไบ์มุก

ขนาดของชิ้นแม่นเทิลที่ใช้ในการปูกถ่าย ถ้าใช้ชิ้นแม่นเทิลที่มีขนาดใหญ่จะมีผลต่อการเกิดถุงไบ์มุกโดยทำให้เปอร์เซนต์การเกิดถุงไบ์มุกสูงขึ้น เนื่องจากชิ้นแม่นเทิลที่มีขนาดใหญ่จะสามารถสร้างถุงไบ์มุกและมีการสะสมสารมุกได้เร็วกว่าชิ้นแม่นเทิลที่มีขนาดเล็กรวมทั้งชิ้นแม่นเทิลที่มีขนาดใหญ่ที่ใช้ในการปูกถ่ายจากการทดลองครั้งนี้มีความง่ายต่อการปูกถ่าย และหลังจากการปูกถ่ายแล้วเนื้อเยื่อที่ปูกถ่ายจะไม่ถูกขับออกมากหรือยากต่อการถูกขับออกมา ในทางตรงกันข้ามถ้าขนาดชิ้นแม่นเทิลที่ปูกถ่ายมีขนาดเล็กจะทำให้การปูกถ่ายยากขึ้น และหลังจากการปูกถ่ายแล้วเนื้อเยื่ออาจถูกขับออกมากพร้อมกับของเหลวในชิ้นแม่นเทิลจึงทำให้เปอร์เซนต์การเกิดถุงไบ์มุกลดลง ซึ่งสอดคล้องกับการศึกษาของ Machii ในปี ก.ศ. 1958

ขนาดหรืออายุของหอยที่นำมาปูกถ่ายเนื้อเยื่อต้องมีความเหมาะสมซึ่งสามารถดูได้จากความขาวของเปลือกหอยหรือลักษณะของเปลือกโดยเปลือกชั้นนาเคลียสต้องมีลักษณะมันเงาวัว นอกจากนี้ เนื้อเยื่อแม่นเทิลของหอยตัวรับจะต้องมีความหนาและเหนียว พอที่จะใช้ในการปูกถ่ายเนื้อเยื่อ ซึ่งสอดคล้องกับการศึกษาของ Sin ในปี ก.ศ. 1993

ความสะอาด ความรวดเร็วในขั้นตอนการปูกถ่ายเนื้อเยื่อและความสมบูรณ์ของเนื้อเยื่อแม่นเทิลที่ปูกถ่ายเป็นปัจจัยสำคัญที่จะมีผลทำให้เปอร์เซนต์การเกิดถุงไบ์มุกมีเปอร์เซนต์สูงขึ้น พบว่าถ้ามีการติดเชื้อระหว่างปูกถ่ายเนื้อเยื่อจะมีผลทำให้ไม่เกิดการสร้างถุงไบ์มุกจากชิ้นแม่นเทิลที่ปูกถ่าย ซึ่งสอดคล้องกับการศึกษาของ Ojima และ

Watanabe ในปี ก.ศ. 1953 และการใช้ความรู้สึกเร็วในขั้นตอนการปลูกถ่ายเนื้อเยื่อจะทำให้กล้ามเนื้อยืดฝ่าหอย (adductor muscle) ไม่ล้าแตะนิเกิลขาดเนื่องจากการเปิดฝ่าหอยไว้นานจะทำให้กล้ามเนื้อยืดฝ่าหอยล้าและนิเกิลขาด ซึ่งจะมีผลทำให้หอยตายหลังจากปลูกถ่ายเนื้อเยื่อ เนื้อเยื่อแม่นเทลที่สมบูรณ์ที่ปลูกถ่ายเข้าไปจะทำให้การสร้างสารมุกเกิดปวดเรื้อรังและถุงไข่มุกจะไม่ผิดปกติ

ขนาดของถุงไข่มุกและน้ำหนักของไข่มุก

ขนาดของถุงไข่มุกและน้ำหนักของไข่มุกในหอยมุก *H. (H.) bivalvatus* และ *P. vondembuschianus ellipticus* ที่ปลูกถ่ายด้วยชิ้นแม่นเทลรูปร่างและขนาดต่าง ๆ กันพบว่าขนาดของถุงไข่มุกและน้ำหนักของไข่มุกที่ได้จะมีความแตกต่างกัน ขนาดของถุงไข่มุกและน้ำหนักของไข่มุกจะมีขนาดใหญ่ขึ้นและมีน้ำหนักมากขึ้นตามระยะเวลาที่เพิ่มขึ้น โดยในหอยมุกทั้งสองชนิดที่ปลูกถ่ายด้วยชิ้นแม่นเทลรูปร่างสามเหลี่ยมด้านเท่า พบว่าเมื่อใช้ชิ้นแม่นเทลที่มีขนาดใหญ่ขึ้น ขนาดของถุงไข่มุกที่ได้จะใหญ่ขึ้นและน้ำหนักของไข่มุกจะมากขึ้น โดยขนาดของถุงไข่มุกและน้ำหนักของไข่มุกที่ปลูกถ่ายด้วยชิ้นแม่นเทล T4 จะมีขนาดใหญ่ที่สุดและมีน้ำหนักมากที่สุด และที่ปลูกถ่ายด้วยชิ้นแม่นเทล T1 จะมีขนาดของถุงไข่มุกเล็กสุดและน้ำหนักน้อยสุด

ปลูกถ่ายด้วยชิ้นแม่นเทลรูปร่างวงกลมขนาดต่าง ๆ พบว่าขนาดของถุงไข่มุกและน้ำหนักของไข่มุกที่ปลูกถ่ายด้วยชิ้นแม่นเทล C4 จะมีขนาดใหญ่สุดและน้ำหนักมากสุด และที่ปลูกถ่ายด้วยชิ้นแม่นเทล C1 จะมีขนาดของถุงไข่มุกเล็กสุดและน้ำหนักของไข่มุกที่ได้จะน้อยสุด ส่วนการปลูกถ่ายด้วยชิ้นแม่นเทลรูปร่างสี่เหลี่ยมจตุรัสขนาดต่าง ๆ พบว่าขนาดของถุงไข่มุกและน้ำหนักของไข่มุกที่ปลูกถ่ายด้วยชิ้นแม่นเทล S4 จะมีขนาดของถุงไข่มุกใหญ่สุด และมีน้ำหนักของไข่มุกมากสุดและที่ปลูกถ่ายด้วยชิ้นแม่นเทล S1 จะมีขนาดของถุงไข่มุกเล็กสุดและน้ำหนักของไข่มุกน้อยสุด

เมื่อเปรียบเทียบขนาดของถุงไข่มุกและน้ำหนักของไข่มุกจากการปลูกถ่ายด้วยชิ้นแม่นเทล ซึ่งมีขนาดและรูปร่างต่าง ๆ กันในหอยมุกทั้งสองชนิด พบว่าขนาดของถุงไข่มุกและน้ำหนักของไข่มุกที่ปลูกถ่ายด้วยชิ้นแม่นเทล S4 จะมีขนาดของถุงไข่มุกใหญ่สุดและมีน้ำหนักของไข่มุกมากสุด และที่ปลูกถ่ายด้วยชิ้นแม่นเทล T1 และ C1 จะมีขนาดของถุงไข่มุกเล็กสุดและมีน้ำหนักของไข่มุกน้อยสุด เนื่องจากการปลูกถ่ายด้วยชิ้น

แม่นเทิลช์มีขนาดใหญ่จะมีการสร้างถุงไข่มุกและการสะสมแคลเซียมคาร์บอนेटจะมีการจับตัวเป็นผลึกได้รวดเร็วกว่าการปูกถ่ายด้วยชิ้นแม่นเทิลขนาดเล็กจึงทำให้ได้ถุงไข่มุกที่มีขนาดใหญ่และไข่มุกที่ได้มีน้ำหนักมาก ซึ่งสอดคล้องกับการศึกษาของ Machii ในปี ก.ศ. 1958 ซึ่งพบว่าถ้าใส่นิวเคลียสที่มีขนาดใหญ่จะทำให้ได้ถุงไข่มุกที่มีขนาดใหญ่กว่าใส่นิวเคลียสขนาดเล็กเมื่อชิ้นแม่นเทิลที่ปูกถ่ายมีขนาดเท่ากันและถ้านิวเคลียสขนาดเท่ากันการปูกถ่ายด้วยชิ้นแม่นเทิลขนาดใหญ่จะได้ถุงไข่มุกที่ใหญ่กว่าปูกถ่ายด้วยชิ้นแม่นเทิลขนาดเล็ก

การสะสมสารมุก

การสะสมสารมุกในหอยมุกทั้งสองชนิดจากการปูกถ่ายด้วยชิ้นแม่นเทิลรูปร่างและขนาดต่าง ๆ กัน พบว่าจะมีการสะสมแคลเซียมคาร์บอนेटเพิ่มขึ้นเรื่อย ๆ ตามระยะเวลาที่เพิ่มขึ้นหลังจากที่ทำการปูกถ่าย โดยสังเกตได้จากเมื่อย้อมด้วยสี Alizarin Red S ซึ่งในช่วงแรกการติดสีแดงของ Alizarin Red S จะน้อย เนื่องจากในช่วงแรก การสะสมแคลเซียมจะค่อนข้างน้อย เนื่องจากส่วนใหญ่จะเป็นโปรตีนพอก conchiolin

ลักษณะของไข่มุก

ลักษณะของไข่มุกเมื่อถ่ายด้วยกล้องสเตอริโอ พบว่ารูปร่างที่ต่าง ๆ กันของชิ้นแม่นเทิลที่ปูกถ่ายนั้นอาจจะมีผลต่อรูปร่างของไข่มุกที่ได้เนื่องจากรูปร่างของไข่มุกที่ได้มีความหลากหลายมากและขนาดของไข่มุกที่ได้จากหอยทั้งสองชนิดเมื่อเปรียบเทียบกับ *Chamberlainia hainesiana* พบว่าไข่มุกที่ได้จะมีขนาดที่เล็กกว่าเนื่องจากหอยทั้งสองชนิดมีขนาดที่เล็กกว่าจึงทำให้มีการสะสมแคลเซียมคาร์บอนेटที่มากกว่าส่งผลให้ไข่มุกที่ได้มีขนาดเล็กเมื่อเปรียบเทียบกับอายุของไข่มุกที่เท่ากัน

ลักษณะของผิวถุงไข่มุกและผิวไข่มุกเมื่อถ่ายด้วยกล้องจุลทรรศน์อิเลคทรอนแบบส่อง粒ภาพว่าลักษณะผิวถุงไข่มุกในหอยมุกทั้งสองชนิดมีความแตกต่างกันโดยในหอย *P. vondembuschianus ellipticus* จะมีลักษณะของผลึกที่เกาะบริเวณผิวถุงไข่มุกเป็นเม็ดกลม ๆ จำนวนมากติดอยู่อย่างชัดเจนส่วนใน *H. (H.) bialatus* จะมีลักษณะของผิวถุงไข่มุกเป็นร่องแท้และการสะสมของแคลเซียมคาร์บอนे�ตของไข่มุกจะเริ่มสะสมผลึกแบบแคลเซียมคาร์บอนे�ตที่ต่ำกว่าหอย *P. vondembuschianus ellipticus* ซึ่งมีลักษณะเป็นแท่งแบบหลา

เหลี่ยมในหอยมุกทั้งสองชนิด จะมีความแตกต่างกัน โดยในหอยมุก *P. vondembuschianus ellipticus* จะมีเท่งผลึกที่ใหญ่กว่าในหอยมุก *H. (H.) bialatus* โดยผิวของไข่มุก ในระยะนี้ซึ่งมีอายุประมาณ 6-10 เดือน จะด้านไม่มีความมันแวงวัว หรือมีความมันแวงวัวเพียงเล็กน้อยเท่านั้น หลังจากนั้นจะมีการสะสมผลึกแคลเซียม ครั้นบันเดนแบบ Araigo ในตัวซึ่งมีลักษณะแบบเป็นแผ่นบาง ๆ หลายเหลี่ยม ผิวของไข่มุกในระยะนี้จะมีความมันวัว ซึ่งจะเริ่มพับผลึกแบบ Araigo ในตัว ในหอยมุกทั้งสองชนิดนี้ เมื่ออายุของไข่มุกประมาณ 12 เดือน โดยผลึกแบบ Araigo ในตัวจะสะสมทับผลึกแคลเซียมอีกทีหนึ่ง

สีของไข่มุก

สีของไข่มุกจะมีความแตกต่างกันในหอยทั้งสองชนิด โดยในหอยมุก *H. (H.) bialatus* ไข่มุกที่ได้จะมีสีขาวนวลหรือสีเทา มันวัว ส่วนในหอยมุก *P. vondembuschianus ellipticus* ไข่มุกที่ได้จะมีสีขาวแวงวัวและสีขาวอมชมพู ซึ่งสีของไข่มุกที่ได้จะเป็นไปตามสีของชั้นนาเคลียสของหอยชนิดนี้ ๆ

อุณหภูมิของน้ำ

อุณหภูมิของน้ำมีผลต่อการสะสมสารไข่มุกและคุณภาพของไข่มุก Aoki ในปี ค.ศ. 1956 ศึกษาผลของอุณหภูมิต่อการสร้างถุงไข่มุก พบร่วมกันแบบเก็บจะเจริญล้อมรอบนิวเคลียสอย่างสมบูรณ์ในเวลา 15-19 วัน ที่อุณหภูมิ 22°C แต่ที่อุณหภูมิ 20°C ต้องใช้ระยะเวลา 25-30 วัน จึงจะสร้างถุงไข่มุกเสร็จสมบูรณ์ นอกจากนั้น Du และคณะ ในปี ค.ศ. 1991 พบร่วมกันที่อุณหภูมิค่า (16°C) หอยมุก *Cristaria plicata* จะใช้เวลาถึง 30 วัน ในการสร้างถุงไข่มุกและใช้เวลา 6 เดือนในการสร้างสารมุกออกมานาในการศึกษารั้งนี้ พบร่วมกันที่อุณหภูมิของน้ำในคลองลำตะคง บริเวณสถานที่เลี้ยงหอย จะมีอุณหภูมิของน้ำอยู่ในช่วงประมาณ $21-28^{\circ}\text{C}$ จึงคาดว่าจะมีผลต่อการสะสมสารไข่มุกดังจะเห็นได้จากขนาดของถุงไข่มุก และน้ำหนักของไข่มุกจะมีช่วงที่ขนาดของถุงไข่มุกและน้ำหนักของไข่มุกเพิ่มขึ้นอย่างรวดเร็วและมีบางช่วงที่ขนาดของถุงไข่มุกและน้ำหนักของไข่มุกมีการเพิ่มขึ้นเพียงเล็กน้อย หรือค่อนข้างคงที่ เนื่องจากในช่วงที่อุณหภูมิของน้ำประมาณ $24-28^{\circ}\text{C}$ หอยจะมีการเจริญเติบโตคืมีการสะสมของสารไข่มุกได้อย่างรวดเร็วและในช่วงอุณหภูมิของน้ำประมาณ $20-23^{\circ}\text{C}$ หอยจะมีการเจริญ

เดบโตและสะสมสาร ไบมุกอย่างช้า ๆ ซึ่งสอดคล้องกับการศึกษาของ Machii และ Nakahara ในปี ก.ศ. 1957 Ota ในปี ก.ศ. 1958 และ Wada ในปี ก.ศ. 1972

การศึกษารังนี้พบว่า ในช่วงระยะเวลาหนึ่งปี หอยมุกทั้งสองชนิดสามารถให้ผลผลิตได้ และไบมุกที่ได้มีความสวยงาม มีความมันแวงวาว สามารถนำผลผลิตที่ได้ไปใช้เป็นส่วนประกอบ หรือประดับล้อมรอบไบมุกที่มีขนาดเม็ดใหญ่เป็นเรือนมุกได้ และถือเป็นครั้งแรกที่มีการนำหอยมุก *H. (H.) bialatus* และ *P. vondembuschianus ellipticus* มาเลี้ยงเพื่อผลิตไบมุกและสามารถให้ผลผลิตได้ ซึ่งหากมีการพัฒนาเทคนิคและทดลองเปลี่ยนวิธีจากเดิม คือไม่ใส่นิวเคลียส (non-nucleated method) มาเป็นวิธีการใส่นิวเคลียส (nucleated method) อาจทำให้ผลผลิตไบมุกที่ได้มีคุณภาพดีขึ้น เป็นไปตามความต้องการของตลาดก็จะทำให้ธุรกิจการเลี้ยงไบมุกน้ำจืดสามารถทำรายได้และเป็นอาชีพอิกอาชีพหนึ่งต่อไป

บทที่ 6

สรุปผลการทดลองและข้อเสนอแนะ

จากผลการทดลองขนาดและรูปร่างของชิ้นแม่นเทลที่ปลูกถ่ายต่อการเกิดไข่むกในหอยมุกน้ำจืด *Hyriopsis (Hyriopsis) bialatus* และ *Pseudodon vondembuschianus ellipticus* สามารถสรุปผลการทดลองได้ดังนี้

1. กระบวนการสร้างถุงไข่むกของหอยมุกน้ำจืดทั้งสองชนิดจะถูกสร้างเสร็จสมบูรณ์ใช้เวลาอยกว่า 15 วัน

2. เปอร์เซนต์การเกิดถุงไข่むกของหอยมุก *H. (H.) bialatus* สูงสุดเกิดจากการปลูกถ่ายด้วยชิ้นแม่นเทล C4 (81%) และต่ำสุดเกิดจากการปลูกถ่ายด้วยชิ้นแม่นเทล T1 และ C2 (71%)

3. เปอร์เซนต์การเกิดถุงไข่muกของหอยมุก *P. vondembuschianus ellipticus* สูงสุดเกิดจากการปลูกถ่ายชิ้นแม่นเทล C4 และ S4 (86%) ต่ำสุดเกิดจากการปลูกถ่ายด้วยชิ้นแม่นเทล T1 (74%)

4. เปอร์เซนต์การเกิดถุงไข่muกในหอยมุกทั้งสองชนิดขึ้นอยู่กับขนาดของชิ้นแม่นเทล เมื่อใช้ชิ้นแม่นเทลขนาดใหญ่ขึ้นจะทำให้เปอร์เซนต์การเกิดถุงไข่muกสูงขึ้นแต่มีผลต่อเปอร์เซนต์การตายโดยทำให้เปอร์เซนต์การตายสูงขึ้นเช่นกัน

5. ขนาดของถุงไข่muกจะมีขนาดใหญ่ขึ้นและน้ำหนักของไข่muกจะมากขึ้นตามระยะเวลาที่เพิ่มขึ้น โดยขนาดของถุงไข่muกและน้ำหนักของไข่muกจะขึ้นอยู่กับขนาดของชิ้นแม่นเทลที่ปลูกถ่าย

6. รูปร่างที่แตกต่างกันของชิ้นแม่นเทลที่ปลูกถ่ายอาจมีผลต่อรูปร่างของไข่muกที่ได้ เนื่องจากไข่muกที่ได้มีความหลากหลายมาก

7. ลักษณะของถุงไข่muกเมื่อย้อมด้วยสี Haematoxylin-Eosin จะเห็นเป็นเนื้ือเยื่อชั้นเดียวติดสีน้ำเงินเข้ม เมื่อคุณดูด้วยกล้องจุลทรรศน์กำลังขยายสูงขึ้นจะเห็นเซลล์มีนิวเคลียสติดสีน้ำเงิน ใช้โทพลาซึมติดสีแดง บางเซลล์มี vacuole ติดสีน้ำเงินเข้ม

8. ลักษณะผิวถุงไข่มุกในหอยมุกทั้งสองชนิดมีความแตกต่างกันโดยในหอย

P. vondembuschianus ellipticus จะมีลักษณะของผลึกที่เกาะบริเวณผิวถุงไข่มุกเป็นเม็ดกลม ๆ จำนวนมากติดอยู่อย่างชัดเจนส่วนใน *H. (H.) bialatus* จะมีลักษณะผิวถุงไข่มุกเป็นร่องแท้

9. ลักษณะของผิวไข่มุกในหอยมุกทั้งสองชนิดเมื่อส่องดูด้วยกล้องจุลทรรศน์อิเลคตรอนแบบส่อง粒粒 พบว่าลักษณะผลึกจะแตกต่างกัน โดยในช่วง 6-10 เดือน จะมีการเรียงตัวของผลึกแคลเซียมคาร์บอนेटแบบแคลไซด์ ซึ่งลักษณะผลึกจะเป็นแท่งแบบหลาเหลือ โดยในหอยมุก *P. vondembuschianus ellipticus* จะมีแท่งผลึกที่ใหญ่กว่า ในหอยมุก *H. (H.) bialatus* ต่อมามีอายุไข่มุกประมาณ 12 เดือน จะพบผลึกแคลเซียมคาร์บอนेटแบบกราโนไลต์ ซึ่งจะสะสมทับผลึกแคลไซด์อีกทีหนึ่ง

10. สีของไข่มุกในหอยมุกทั้งสองชนิดจะแตกต่างกัน โดยไข่มุกที่ได้จะมีสีตามชั้นนาเคลียสของเปลือกหอยชนิดนั้น ๆ

11. ผลผลิตไข่มุกที่ได้ซึ่งมีอายุประมาณหนึ่งปีสามารถนำไปใช้เป็นส่วนประกอบหรือประดับล้อมไข่มุกที่มีขนาดเม็ดใหญ่เป็นเรือนมุกได้

12. จากผลการวิจัยความมีการศึกษาเพิ่มเติมเพื่อเป็นการพัฒนาเทคนิคในการเลี้ยงไข่มุกน้ำจืดของหอยมุกทั้งสองชนิด โดยเปลี่ยนวิธีการทดลองจากเดิมคือ ไม่ใส่นิวเคลียส (non-nucleated method) มาเป็นวิธีการใส่นิวเคลียส (nucleated method) ซึ่งอาจทำให้ผลผลิตไข่มุกที่ได้มีคุณภาพดีขึ้น

รายการอ้างอิง

ภาษาไทย

ประสุข โภมวิทิตกุล.2538. การสร้างไข่มุกแบบใส่นิวเคลียสและไม่ใส่นิวเคลียสด้วยวิธีปลูกต่ายแมลงที่อยู่ในหอยมุกน้ำจืด *Hyriopsis (Limnoscapha) myersiana* และ *Chamberlainia hainesiana*. วิทยานิพนธ์วิทยาศาสตร์มหาบัณฑิต. ภาควิชาชีววิทยา. บัณฑิตวิทยาลัยจุฬาลงกรณ์มหาวิทยาลัย.

ศูนย์สถิติการพานิชย์.2539. สินค้านำเข้าสำคัญของไทย. สถิติการค้าระหว่างประเทศไทย หน้า 77.

สมศักดิ์ ปัญหา.2534. หอยมุกน้ำจืดและไข่มุกน้ำจืด. เอกสารเผยแพร่งานวิจัยทั่วไปของงานวิจัย หอยมุกน้ำจืด ภาควิชาชีววิทยา . คณะวิทยาศาสตร์ จุฬาลงกรณ์มหาวิทยาลัย.16 หน้า.

สมศักดิ์ ปัญหา และคณะ.2536. การสร้างถุงไข่มุกในหอยมุกน้ำจืด Chamberlainia hainesiana. การประชุมวิชาการวิทยาศาสตร์และเทคโนโลยีแห่งประเทศไทย ครั้งที่ 19 ณ โรงแรมคุตตานี เจ.บี.หาดใหญ่ สงขลา. : 476-477.

ภาษาอังกฤษ

Aoki,S.1956.Formation of the pearl-sac in the pearl oyster (*Pinctada martensii*) ,with reference to the autumn and early winter culture. Bull.Natl.Pearl Res.lab.1: 41-46.

Aoki,S.1959.Some experiments on the nuclear insertion in the pearl-culture of the pearl oyster *Pinctada martensii* III. Formation of the pearl sac and the pearl when the pieces form three different parts of the mantle were inserted. Bull.Natl.Pearl Res.lab. 5: 503-515.

_____.1961.Some experimented on the nuclear insertion in the pearl-culture of the pearl oyster *Pinctada martensii* V. Pearl sac formation in the material with a space between the inserted nucleus and adjacent tissue.Bull.Natl.Pearl Res.lab. 6: 647-656.

Bevelander,G. and Nakahara,H.1966.Correlation of lysosomal activity and ingestion by mantle epithelium. Biological Bullatin. 131 :1561-1596.

Branddt , R.A.M. 1974. The non marine aquatic mollusca of Thailand Arch. Moll. Frankfurt. pp. 262-301

Coimbra,A.M., Ferreira,K.G.,Fernander, P. and Ferreira,H.G.1993.Calcium exchangs in *Anodonta cygnea* : Barriers and driving gradients. J.comp.physiol.B. Biochem.Syst.Environ.Physiol. 163(3) : 196-203.

Du, X.,He, H., and Wu, X. 1991. Studies on the development of the pearl oyster *Cristaria plicata* Lech (Lamellibranchia). ACTA Hydrobiol. Sin. Shuisheng Shengwu Xuebao 15 (3): 227-233

Gervis,M.H.,and Sims,N.A.1992.The biology and culture of pearl oysters (Bivalvia : Pteriidie) ICLARM Stud.Rev.48 pp.

Hatano,H.,Matsui,Y.,Swada,Y.Tanaka,S.,and Uchida,Y.1955. Report of the Nippon Institute Scientific Research on pearl.Kyoto :Science Faculty, Kyoto University.

Kawakami,I.K.1952. Studies on pearl sac formation,I.On the regeneration and transplantation of the mantle piece in the pearl oyster (Ser.E.) Mem. Fac. Sci.kyusku Univ.1 (2) :83-90.

——— .1953. Studies on pearl sac formation,II. The effect of water temperature and freshness of trasplantation pearl sac formation.Annotationes. Zoological.Japabebsus Tokyo. 26(4) : 217-223.

——— .1954. Studies on pearl sac formation, III .Pearl-sac formation in freshwater mussels. Annotationes .Zoological.Japabebsus.Tokyo. 27 (4) : 215-219.

——— .1954. Studies on pearl sac formation, IV.Pearl and pearl-sac formation with cold-shocked mantle tissue in *Pinctada martensii*. Bull.Natl.Pearl Res.Lab. 3 : 228-234.

Li,Z.,Liao,B.,and Xu,X.1988. On marine biology of the south china sea. Hong Kong:Marine Biology of the South China Sea.

Machii,A.1958. Studies. On the histology of the pearl-sac ,VI The effect of the size of the mantle piece and the nuclear size on the rate of pearl-sac formation. Bull.Natl.Pearl Res.Lab. 4 : 283-286.

- Machii, A. 1959. Studies on the histology of the pearl-sac, V. Results of transplantation of the pearl-sac. Bull.Natl.Pearl Res.Lab. 5 : 411-417.
- _____. 1962. Studies on the histology of pearl-sac VIII. On the formation of epithelium derived from the inner epithelium of the mantle piece. Bull.Natl.Pearl Res.Lab. 8 : 884-890.
- _____. 1968. Histological Studies on the pearl-sac formation. Bull.Natl.Pearl Res.Lab. 13 : 1489-1539.
- _____. 1974. Organ culture of mantle tissue of the pearl oyster *Pinctada fucata* (Gould) Bull.Natl.Pearl Res.Lab. 18 : 2111-2117.
- Machii,A.and Nakahara,H.1957.Studies on the histology of the pearl-sac,II.On the speed of the pearl-sac formation different by season. Bull.Natl.Pearl Res.Lab. 2 : 107-112.
- McLean,N.1980.Phagocytosis by epidermal cells of the mantle in *Mytilus edulis* (Mollusca : Bivalvia). Comp.Biochem.Physiol.(A). 66 : 367-369.
- Nakahara,H.1961. Studies on the histology of pearl-sac VII.Behavior of the metachromatic substance. Bull.Natl.Pearl Res.Lab. 6 : 541-545.
- Neff,J.M.1972.Ultrastructure of the outer epithelium of the mantle in relation to clam *Mercenaria mercenaria* in relation to calcification of the shell. Tissue and cell 4 : 519-600.

Ojima,Y., and Watanabe,T.1953. Studies on the pearl-sac in the molluscs.
Nat.Sci.Ser. 1 : 57-63.

Ota,S.1958. Studies on feeding habitats of *Pintada martensi* (Dunker). I Seasonal variation of the length of crystalline style. Bull.Natl.Pearl-sac.Lab. 4 : 315-317.

Panha,S.and Phansuwan,P.1996. The influence of mantle and neurosecretory cells on pearl formation in a freshwater pearl mussel *Chamberlainia hainesiana* (Lea,1856) induce by nucleated technique. Malacological Review. 29:113-129

Panha,S. and Kosavittkul,P.1997.Mantle transplantation in freshwater pearl mussels in Thailand. Aquaculture International 5 : 267-276.

Petit,H.,Davis,W.L.,and Jones,R.G.1978.Morphological studies on the mantle of fresh water mussel *Amblema*(Unionidae) : Scanning electron microscopy. Tissue and cell. 10(4) : 619-627.

.1979.Morphological studies on the periostracum of the fresh water mussel *Amblema*(Unionidae) : Light microscopy,Transmission electron microscopy , and Scanning electron microscopy. Tissue and cell. 11(4) : 633-642.

Shi,A.T.,Zhang,M.Wu,Z.W.,and Peng,X.F.1985. On the formation of pearl sac in fresh water mussel. J.Fish.China Shuichan Xuebao. 9(3) : 247-253.

- Si,A.,Frong,J.,and Zeng,J.1990. Scanning electron microscopic observation of exocuticle cells of mantle of Shell for cultivation pearl.Sichuan Dexue Xuebao (Ziran Kexueban), 27 (3) : 348-353.
- Sin,C.1993. China's pearl industry : Progress and Problems. Jewelsiam. 4(2) : 72-76.
- Tsuji,T.1968. Studies on the mechanism of shell and pearl formation,X.The submicroscopic structure of the epithelial cells on the mantle of pearl oyster, *Pteria (Pinctada) martensi*. Rep.Fac.Fish.Pre.Univ.Mie. 6(2) : 41-66.
- Uemoto,H.1968. Relationship between oxygen consumption by the pearl oyster and its environmental temperature.Bull.Natl.Pearl Res.Lab. 13 : 1517-1623.
- Uyeno,F.and Inonye,H.1961.Relationship between basic production of foods and oceanographical condition of sea waters in pearl farms , with special reference to relationship between over crowding culture and food chain around pearl oyster. Bull.Natl.Pearl Res.Lab. 7 : 829-864.
- Wada,K.1958a. microscopic observation of cultured pearl at their early formation II
Bull.Natl. Pearl Res.Lab. 4 : 251-260.
-
- _____.1958b. Studies on the component of various cultured pearls by means of X-ray diffraction and differential thermal analysis. Bull.Natl.Pearl Res.Lab. 4 : 275-282.

- Wada,K. 1959a. Microscopic observation of cultured pearls of their early formation.III. Bull.Natl.Pearl Res.Lab. 5 : 357-372.
- _____. 1959b. Microscopic observation of cultured pearls of their early formation.IV. Bull.Natl.Pearl Res.Lab. 5 : 373-380.
- _____. 1966. Studies on the mineralization of the calcified tissue in molluscs.XIII. Histological studies of mucous cells on the inner and shell surface of mantle of some bivalve and gastropod molluscs. Bull.Natl.Pearl Res.Lab. 11 : 1283-1297.
- _____. 1968a.Electron microscopic observations of the formation of the periostracum of *Pinctada fucata*.Bull.Natl.Pearl Res.Lab. 13 : 1540-1560.
- _____. 1968b.Mechanism of growth of nacre in bivalves. Bull.Natl.Pearl Res.Lab. 13 : 1561-1596.
- _____. 1972.Relation between calcium metabolism of pearl sac and pearl quality. Bull.Natl.Pearl Res.Lab. 16 : 1949-2027.
- _____. 1976.Amino acid composition of organic matrices in various pearls cultured by *Pinctada fucata* Bull.Natl.Pearl Res.Lab. 20 : 2209-2213.
- Wada,K. and Shintani,H.1995. The behaviour of Oyster Mantle Epithelial Cells Implanted into the Mantle Connective Tissue of the Fresh water Mussel, *Hyriopsis schlegeli* an on Early Stage of Pearl sac Formation. Venus 54(2) : 133-142.

Wilbur,K.M. ,and Saleuddin,A.S.M.1983. Shell formation.The mollusca vol.4 physiology part 1. Academic (press) Inc.225-287.

Yano,I.1974.Amino acid composition of the body fluids in *Pinctada fucata* and *Crassostea gigas*. Bull.Natl.Pearl Res.Lab.22 : 2327-2332.

Yano,I.,and Machii,A.1975. Amino acid composition of dark brown secretion formed in organ culture of mantle tissue of the pearl oyster.Bull.Jap.Sac.Sei.Fish. 41(10) : 1083.

Zehab,R.J.,et al. 1992. Mantle histology, histochemistry and ultrastrcture of the pearl oyster, *Pinctada margaritifera*(L.). Aquat.Liv.Resour. 5(4) : 287-298.

ภาคผนวก

ภาคผนวก

ตารางที่ 1-ก แสดงขนาดเฉลี่ย ($\bar{X} \pm SD$) ของถุงไข่เม่น (*H.(H.) bialatus*) ในหอยเม่น เมื่อปลูกถ่ายด้วยชิ้นแม่นเทิร์ปั่งสามเหลี่ยมด้านเท่า

เดือนที่	รูปร่างและ ขนาด	$\bar{X} \pm SD$ (ตารางมิลลิเมตร)			
		T1	T2	T3	T4
1	2.14±1.38	2.96±1.96	2.84±1.51	5.02±2.53	
2	3.28±1.77	4.18±1.95	4.51±2.15	3.32±1.60	
3	5.13±2.13	6.31±2.51	7.65±6.09	8.28±2.85	
4	4.86±2.65	4.97±2.44	6.89±2.62	7.59±2.80	
5	4.97±2.37	6.19±1.91	5.86±2.24	7.62±1.54	
6	5.89±2.04	9.23±3.56	9.42±2.76	8.68±2.15	
7	6.76±2.45	7.76±2.46	8.44±2.37	9.12±3.62	
8	5.60±2.37	5.89±2.04	7.61±3.00	9.71±1.94	
9	6.36±1.97	6.67±1.95	10.14±2.90	10.01±3.57	
10	7.23±2.36	7.52±2.63	9.03±3.58	11.41±4.44	
11	6.18±2.59	7.28±2.77	9.68±4.12	11.71±2.91	
12	6.35±2.15	8.05±2.51	12.12±3.04	10.71±3.99	

ตารางที่ 2-ก แสดงขนาดเฉลี่ย ($\bar{X} \pm SD$) ของถุงไข่มุก (ตารางมิลลิเมตร) ในหอยมุก *H.(H.) bialatus* เมื่อปลูกถ่ายด้วยชิ้นแม่นเทิร์พร่างวงกลมขนาดต่าง ๆ

เดือนที่	รูปร่างและขนาด	$\bar{X} \pm SD$ (ตารางมิลลิเมตร)			
		C1	C2	C3	C4
1	2.73 ± 1.47	2.63 ± 1.62	3.86 ± 1.67	4.29 ± 1.70	
2	3.32 ± 1.60	4.30 ± 1.50	5.28 ± 2.97	6.37 ± 2.81	
3	4.94 ± 2.65	5.97 ± 2.06	7.32 ± 3.53	8.88 ± 4.46	
4	5.45 ± 2.26	6.54 ± 2.41	7.43 ± 3.06	8.09 ± 3.21	
5	5.32 ± 2.22	6.58 ± 1.63	8.54 ± 3.06	9.38 ± 3.55	
6	5.59 ± 2.21	5.80 ± 2.21	9.03 ± 1.90	10.07 ± 2.87	
7	7.17 ± 1.79	5.58 ± 2.42	8.07 ± 4.21	10.44 ± 3.49	
8	6.19 ± 1.91	7.48 ± 1.98	8.75 ± 3.63	10.74 ± 3.48	
9	6.76 ± 2.45	8.08 ± 2.24	9.03 ± 3.58	10.50 ± 3.78	
10	7.63 ± 1.23	8.86 ± 2.30	11.17 ± 4.61	10.55 ± 3.31	
11	7.32 ± 2.03	8.33 ± 2.37	11.81 ± 3.90	11.61 ± 4.41	
12	7.81 ± 2.09	9.92 ± 3.76	12.18 ± 4.99	12.65 ± 4.47	

ตารางที่ 3-ก แสดงขนาดเฉลี่ย ($\bar{X} \pm SD$) ของถุงไข่มุก (ตารางมิลลิเมตร) ในหอยมุก *H.(H.) bialatus* เมื่อปอกถ่ายด้วยชิ้นแม่นเทิลรูปปร่างสีเหลืองจตุรัสขนาดต่าง ๆ

เดือนที่	รูปปร่างและขนาด	$\bar{X} \pm SD$ (ตารางมิลลิเมตร)			
		S1	S2	S3	S4
1		2.76 ± 1.45	3.16 ± 1.44	4.20 ± 1.95	5.15 ± 2.19
2		3.90 ± 1.89	4.91 ± 2.14	5.59 ± 1.74	7.37 ± 3.15
3		4.86 ± 2.86	5.50 ± 2.98	6.18 ± 2.67	9.82 ± 2.85
4		6.27 ± 2.56	7.42 ± 2.52	8.53 ± 2.45	9.50 ± 2.84
5		5.92 ± 2.35	7.72 ± 1.99	9.91 ± 3.61	8.28 ± 3.20
6		5.53 ± 2.24	7.80 ± 2.11	6.90 ± 3.04	8.83 ± 3.34
7		7.48 ± 1.98	7.35 ± 4.16	7.73 ± 2.57	10.31 ± 4.54
8		7.28 ± 2.51	9.08 ± 2.24	9.03 ± 3.58	11.91 ± 3.56
9		8.76 ± 2.33	9.86 ± 3.30	10.21 ± 3.71	14.13 ± 2.95
10		9.86 ± 3.30	8.79 ± 3.79	11.52 ± 4.15	14.17 ± 4.29
11		10.33 ± 4.37	8.75 ± 3.63	11.23 ± 4.37	14.96 ± 3.84
12		9.55 ± 3.45	10.12 ± 2.92	12.72 ± 5.62	13.84 ± 4.28

ตารางที่ 4-ก แสดงขนาดเฉลี่ย ($\bar{X} \pm SD$) ของถุงไข่บุก (ตารางมิลลิเมตร) ในหอยบุก *P.vondembuschianus ellipticus* เมื่อปลูกถ่ายด้วยชิ้นแม่นเทลูปว่าง สามเหลี่ยมด้านเท่าขนาดต่าง ๆ

เดือนที่	รูปว่างและขนาด	$\bar{X} \pm SD$ (ตารางมิลลิเมตร)			
		T1	T2	T3	T4
1	2.35 ± 1.32	2.67 ± 1.34	4.14 ± 2.03	4.88 ± 2.25	
2	3.98 ± 1.83	4.39 ± 2.06	5.051 ± 2.83	6.87 ± 2.48	
3	5.17 ± 2.60	6.88 ± 2.84	6.57 ± 2.03	9.72 ± 4.25	
4	5.88 ± 2.47	7.18 ± 2.73	6.07 ± 2.56	9.83 ± 2.21	
5	5.61 ± 2.69	5.80 ± 2.65	7.85 ± 2.83	9.88 ± 3.38	
6	6.89 ± 1.96	5.53 ± 2.24	8.05 ± 2.51	8.24 ± 2.65	
7	5.81 ± 2.00	6.57 ± 2.46	7.81 ± 2.90	8.87 ± 3.68	
8	5.84 ± 2.63	7.61 ± 2.99	9.42 ± 2.13	10.53 ± 3.69	
9	6.19 ± 1.91	7.81 ± 2.71	9.18 ± 2.52	11.47 ± 3.69	
10	6.11 ± 2.04	9.18 ± 2.52	10.12 ± 2.92	12.41 ± 3.18	
11	6.57 ± 2.39	9.18 ± 2.52	10.82 ± 3.48	13.05 ± 5.54	
12	6.57 ± 2.39	9.40 ± 3.92	10.49 ± 3.30	11.89 ± 4.39	

ตารางที่ 5-ก แสดงขนาดเฉลี่ย ($\bar{X} \pm SD$) ของถุงไข่มุก (ตารางมิลลิเมตร) ในหอยมุก *P.vondembuschianus ellipticus* เมื่อปลูกถ่ายด้วยชิ้นแม่นเทิร์พร่าง วงกลมขนาดต่าง ๆ

ตัวอย่างที่	รูปร่างและขนาด	$\bar{X} \pm SD$ (ตารางมิลลิเมตร)			
		C1	C2	C3	C4
1	2.75 ± 1.82	3.46 ± 1.84	3.70 ± 2.03	5.57 ± 2.40	
2	3.63 ± 1.80	4.16 ± 1.86	5.68 ± 3.10	7.12 ± 2.37	
3	4.90 ± 2.52	5.84 ± 2.71	6.83 ± 2.93	9.11 ± 2.93	
4	5.45 ± 2.21	7.34 ± 3.04	7.27 ± 1.03	8.50 ± 2.58	
5	5.60 ± 2.37	6.63 ± 1.54	8.03 ± 1.90	10.01 ± 4.14	
6	7.17 ± 1.79	6.06 ± 1.85	8.14 ± 2.90	9.38 ± 3.55	
7	5.53 ± 2.24	7.77 ± 2.46	8.45 ± 2.65	9.72 ± 5.09	
8	6.76 ± 1.71	7.09 ± 2.84	10.40 ± 1.98	10.93 ± 4.57	
9	7.08 ± 2.24	9.03 ± 3.58	11.04 ± 3.05	11.99 ± 4.25	
10	8.23 ± 2.43	9.27 ± 3.33	10.40 ± 2.83	13.74 ± 5.49	
11	8.50 ± 2.01	11.39 ± 4.41	10.86 ± 3.73	14.88 ± 4.94	
12	8.85 ± 2.89	10.16 ± 3.22	11.76 ± 3.27	14.72 ± 4.15	

ตารางที่ 6-ก แสดงขนาดเฉลี่ย ($\bar{X} \pm SD$) ของถุงไข่มุก (ตารางมิลลิเมตร) ในหอยมุก *P.vondembuschianus ellipticus* เมื่อปักกั้งถ่ายคัวขึ้นแม่นเทลูป์ร่าง สีเหลืองจตุรัสขนาดต่าง ๆ

เดือนที่	รูป่างและขนาด	$\bar{X} \pm SD$ (ตารางมิลลิเมตร)			
		S1	S2	S3	S4
1	2.64±1.83	3.12±1.93	4.07±2.32	5.38±2.32	
2	4.08±1.82	4.93±2.25	5.24±1.53	6.85±2.91	
3	5.31±2.43	6.15±2.99	8.29±3.70	10.38±4.20	
4	6.35±1.87	7.39±3.06	7.17±2.55	11.4±3.89	
5	6.89±1.96	7.57±2.63	9.51±3.04	8.87±3.59	
6	5.53±2.24	6.91±3.04	9.07±3.43	9.68±3.88	
7	6.14±2.34	7.77±2.91	8.24±2.65	10.52±4.30	
8	7.81±2.71	8.96±3.82	10.95±4.28	11.96±4.15	
9	8.76±2.33	10.80±3.07	11.47±3.69	16.12±3.96	
10	8.46±3.21	12.69±5.67	14.38±3.49	15.70±7.16	
11	7.78±3.80	9.51±3.04	12.86±4.12	16.84±5.97	
12	8.59±4.06	10.86±3.73	14.45±5.42	16.31±7.18	

ประวัติผู้เขียน

นายเพ็มศักดิ์ ยิมิน เกิดเมื่อวันที่ 29 พฤศจิกายน 2513 ที่จังหวัดกรุงเทพมหานคร สำเร็จการศึกษาระดับปริญญาตรี วิทยาศาสตรบัณฑิต (เคมีศาสตร์) สาขาวิชาสัตวบาล คณะเคมี จากมหาวิทยาลัยเกษตรศาสตร์ ในปีการศึกษา 2536 และเข้าศึกษาต่อระดับปริญญาโท วิทยาศาสตร์ สาขาสัตววิทยา จุฬาลงกรณ์มหาวิทยาลัย ในปีการศึกษา 2537